

Vorträge

über

**Statik der Baukonstruktionen,**

gehalten an der k. Bauakademie in Berlin  
von

**Dr. Emil Winkler**  
Professor

Für die Hörer des Verfassers als Manuskript gedruckt.

Berlin, 1878

*In den von Winkler publizierten als Manuskript gedruckten Vorlesungsumdrucken, teilweise auch in Büchern, wird auf die Angabe eines Inhaltsverzeichnisses verzichtet. Dieses erschwert es außerordentlich, sich einen Überblick darüber zu verschaffen, was in den jeweiligen Texten enthalten. Aus diesem Grund wird nachfolgend das Inhaltsverzeichnis zu den Vorlesungsumdrucken von 1878 angegeben, wobei allerdings darauf verzichtet wurde, die Paragraphenüberschriften auch noch mit auf zu nehmen. Eingefügt wurden außerdem Hinweise von Winkler, wo man einzelne Kapitel, die im Manuskript nicht ausgeführt sind, finden kann.*

Berlin, April 2001

Klaus Knothe

**Inhaltsverzeichnis**

Einleitung	1
§1 - §4	
Hauptsätze der grafischen Statik	7
§5 - §13	

<b>I Theil</b>	<b>Festigkeitslehre</b>	<b>16</b>
I. Kapitel	Allgemeines §14 - §19	16
II. Kapitel	Einfache Festigkeit §20 - §26	23
III. Kapitel	Biegungsfestigkeit gerader Stäbe im Allgemeinen §27 - §42	34
IV. Kapitel	Aeussere Kräfte statisch bestimmter Fälle	64
V. Kapitel	Behandlung der Querschnitte	64
	A. Bestimmung der Querschnittsgrössen im Allgemeinen §1 - §6	65
	B. Der rechteckige Querschnitt §7 - §11	76
	C. Der kreisförmige Querschnitt §12 - §14	85
	D. Zusammengesetzte Querschnitte §15 - §16	88
	E. Symmetrischer I-förmiger Querschnitt §17 - §20	95
	F. Unsymmetrischer I-förmiger Querschnitt §21 - §23	106
<b>II Theil</b>	<b>Statisch bestimmte Stabsysteme</b>	<b>1</b>
I. Kapitel	Allgemeine Behandlung statisch bestimmter Stabsysteme	1
II. Kapitel	Parallelträger mit eintheiligem Gitterwerk	1

III. Kapitel	Parallelträger mit mehrteiligem Gitterwerk	1
IV. Kapitel	Gitterträger mit polygonalen Gurten im Allgemeinen	1
V. Kapitel	Spezielle Anwendungen auf einzelne Formen einfacher Träger	1
VI. Kapitel	Kontinuierliche Gelenkträger mit polygonalen Gurten	1

Hinsichtlich dieser sechs Kapitel verweisen wir auf „Winkler's Vorträge über Brückenbau II Heft. Innere Kräfte der geraden Träger (Balkenträger) Seite 1 bis 53, Seite 79 bis 210.

VII. Kapitel	Gitterpfeiler	1
	A. Aeussere Kräfte	1
	§1 - §5	
	B. Ebene Gitterpfeiler	16
	§6 - §15	
VIII. Kapitel	Hänge- und Sprengwerke	38
	§16 - §20	
IX. Kapitel	Dächer	51
	A. Äussere Kräfte	51
	§21 - §24	
	B. Spannungen	55
	§25 - §31	
X. Kapitel	Formveränderung statisch bestimmter Träger	74
	§1 - §7	
XI. Kapitel	Theorie der statisch unbestimmten Stabsysteme	93
	8 - §9	

<b>III Theil</b>	<b>Gekrümmte Stäbe</b>	<b>1</b>
I. Kapitel	Normalfestigkeit einfach gekrümmter Stäbe §1 - §10	1
II. Kapitel	Kantungstheorie der Gewölbe §11 - §12	19
	A. Symmetrische Anordnung §13 - §15	23
	B. Unsymmetrische Anordnung §16 - §18	27
	C. Allgemein §19 - §23	33
III. Kapitel	Gleitungstheorie der Gewölbe §24 - §25	39
IV. Kapitel	Druck auf das Lehrgerüst	43
Wir verweisen in dieser Beziehung auf das als Manuskript gedruckte Heft: Lehrgerüste steinerner Brücken, 2. Auflage.		
V. Kapitel	Biegungsfestigkeit und einfach gekrümmter Stäbe im Allgemeinen §26 - §35	43

*Die nachfolgende Kapitelbezeichnung steht so bei Winkler im fortlaufenden Text. Es handelt sich offensichtlich um einen Irrtum. Vermutlich war vorgesehen, das Ganze unter eine gemeinsame Überschrift Anwendung auf Bogenträger zu stellen.*

II. cap.	Belastung durch eine Einzellast	61
III. cap.	Totale Belastung	61
IV. cap.	Partielle Belastung	61
V. cap.	Einfluß der Wärme	61
VI. cap.	Anwendung auf einzelne Querschnittsformen	61

Hinsichtlich des II. bis VI. Kapitels verweisen wir auf die Publication „Ueber Theorie der Bogenträger, nach Vorlesungen von Dr. E. Winkler von F. Steiner“

in Försters Allgemeiner Bauzeitung, Jahrg. 1874. Auch als Separatabdruck erschienen.

VII. cap. Der Bogen-Gelenkträger §1 – §5	61
VIII. Kapitel Gitterträger mit zwei Gelenken §6 - §10	73
IX. Kapitel Gitterbogenträger ohne Gelenk §11 - §16	80

# Statisch bestimmte Stabsysteme.

- I. Kap. Allgemeine Darstellung statisch bestimmter Stabsysteme.  
 II. Kap. Geradlinige Systeme mit ungleichem Stabverlauf.  
 III. Kap. Geradlinige Systeme mit maßstäblichem Stabverlauf.  
 IV. Kap. Gitterwerke mit gleichverlaufenden Stäben im Allgemeinen.  
 V. Kap. Spezielle Auswertungen auf einzelne Systeme einfacher Art.  
 VI. Kap. Kontinuierliche Gelenkwerke mit gleichverlaufenden Stäben.  
 Grundsätzlich sind es 6 Kapitel anzurechnen wie auf „Winkler's Vorlesungen über Brückenbau II. Aufl. Fünfte Kräfte der geraden Träger (Zellenwerke) Seite 1 bis 53, Seite 79 bis 210.

## VIII Kapitel.

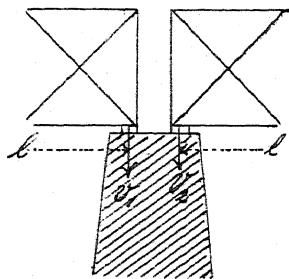
### Gitterträger.

#### A. Außere Kräfte.

§1. Vertikaldruck auf die Krone. Nach dem bekannten Grundsatz sind die zufälligen Lasten der Brücke auf den Vertikaldruck leicht zu bestimmen. Derselbe ist sowohl bei einseitiger Belastung, als bei einseitiger Lastsetzung, unproblematisch, weil bei letzterer der Horizontalschub größer wird, zu vermeiden. Dagegen sind für einseitige Kräfte die Bemessungen mit  $h$ , dem Stababstand, auf beiden Seiten mit  $P_1$ ,  $P_2$ , der Lastsetzung ungleich der Lastverteilung. Die Lösungsmethode mit  $g$ , die zufälligen Lasten

Längswand mit  $p$ ,  $p$  ist bei beidenseitiger Belastung

Steg 1.



$$1. V_1 = V_2 = \frac{1}{2}(g+p)l$$

bei einseitiger Belastung

$$2. V_1 = \frac{1}{2}(g+p)l, \quad V_2 = \frac{1}{2}gl$$

Bei kontinuierlichen Trägern kann die Lastverteilung hinsichtlich der Krümmung nachfolgend sein. Je nach Regel wird man sich in der Mitte des Pfeils ablesen,

gemäß Lage vorfinden sein. Dies ist der Punkt, welcher sich auf der Flanke der kontinuierlichen Träger zu bestimmen. Ein Träger mit 2 Ecken wird bei beidenseitiger Belastung

$$3. V = 1,25(g+p)l$$

bei einseitiger Belastung

$$4. V = (1,25g + 0,63p)l$$

Ein mehr als zwei Ecken wird annähernd bei beidenseitiger Belastung

$$5. V = (1,12g + 1,21p)l$$

und bei einseitiger Belastung

$$6. V = (1,12g + 0,61p)l$$

Bei Anwendung kontinuierlicher Träger kann sich der Punkt, auf dem Pfeil ablesbar, oder vorfinden, ja nach dem Pfeil, die Lastverteilung nachfolgend oder vorfinden, der Pfeil der Pfeil ablesbar, oder vorfinden. Bei mehreren Pfeilen ist die Lastverteilung größer, als bei mehreren, indem man sich die Last der Flanke der kontinuierlichen Träger leicht aus der halben Krümmung, der Lastverteilung, oder bei mehreren Pfeilen, oder vorfinden kann.

Für diese Formeln sind die folgenden Beziehungen nachfolgend für die Lastverteilung:

Py. mm. noista	g	jo	Lämpöjä kuitaan	
			gl	pl
20	1,4	6,2	28	124
40	2,0	5,4	80	216
60	2,6	4,9	156	294
80	3,5	4,5	280	360
100	4,3	4,2	430	420
Määrä	Lommu g ro Määrä		Lommu	

§ 2. Eigengewicht der Pfeiler. Will man das Eigengewicht der Pfeiler von vornherein möglichst genau einschätzen, so konstant man die Pfeiler selbst möglichst von oben herab, man konstant nach Aufstellung der Säulen = und Einrichtungsarbeiten möglichst die Krone der Pfeiler nach Messungen der in der Krone wirkenden Kräfte, nach Bestimmung der Form der Krone können die oben angegebenen Pfeiler, nach Bestimmung der Form der Krone die nötigen Kräfte u. s. w. Also geben nicht nur vollständigen Bestimmung im folgenden eine Zusammenstellung der Form der Pfeiler und gegebenenfalls der Pfeiler.

N <sup>ro</sup>	Bestimmung.	Mittelwert der Kräfte.	Länge.	Mittlere Spannung.		
1.	Prüfung der spez. Gewicht. bei Weizkow . . . . .	Ref. 4,5	6,5	0,26	0,040	
2.	Tabgl. bei Kloten . . . . .	" 6,4	11,3	0,52	0,076	

No	Lagerführung.	Material für Verfahren	Lohn	Mittlere Preise l		
3	Salp. bei Neudorf . . . . .	Rhm	5,4	14,5	0,58	0,040
4	Rainbrücke bei Hellingen . . . . .	"	32,7	55,0	2,14	0,039
5	Hauswassertuch bei Ossingen . . . . .	"	24,6	72,0	2,26	0,032
6	Wiedertuch bei Passiau d. Rhur, Orlovsk. (*	"	20,3	50,0	2,43	0,049
	Salp. (* . . . . .	"	33,9	50,0	2,29	0,046
7	Rheinbrücke bei Stein . . . . .	"	15,2	70,0	2,61	0,038
8	Wiedertuch von Palagionello . . . . .	"	27,5	—	2,74	—
9	Wiedertuch von San Stefano . . . . .	"	18,0	—	2,82	—
10	Wanneng. Wiedertuch in Amerika . . . . .	"	44,2	38,1	2,96	0,078
	Salp. . . . .	"	54,3	38,1	2,80	0,073
	Salp. . . . .	"	76,8	38,1	2,92	0,077
11	Wiedertuch von Newviel, Orlovsk. b.	"	37,5	49,1	3,17	0,065
12	Wiedertuch von Double, Orlovsk. b.	"	42,5	50,0	3,57	0,071
	Salp. . . . .	"	57,5	50,0	3,33	0,066
13	Kentuckij. River, Wiedertuch . . . . .	"	52,9	114,3	3,43	0,030
14	Wiedertuch, Wiedertuch in Appennin . . . . .	"	18,7	46,9	3,75	0,080
	Salp. . . . .	"	27,5	46,9	3,57	0,076
15	Wanneng. Wiedertuch bei Freiburg (*	"	43,3	43,8	3,75	0,076
16	Wanneng. Wiedertuch bei Bibershausen	"	21,4	62,7	3,90	0,062
	Salp. . . . .	"	26,4	62,7	3,78	0,060
17	Wiedertuch von Cere, Orlovsk. b.	"	20,2	50,0	3,98	0,080
	Salp. . . . .	"	33,9	50,0	3,20	0,074

Nur die 3 ersten Länken sind Praxidambriken, alle übrigen sind Kupferlänken, nur die mit (bezeichneten Länken sind zinnhaltig. Zinnwert mind. 1000 Mark. Zinngehalt 10 bis 15% ist für die Länke einzuhalten, auch wenn sie zinnfrei sind.

- { Zinnhaltige Länke  $G = 0,065$  Ltk
- { Zinnfreie Länke "  $G = 0,050$  Ltk

Bei zinnhaltigen Kupferlänken wird man, wie es sich bei 35% Zinn herauskommt. Hierbei ist der Zinngehalt der Länke einzuhalten, auch wenn sie zinnfrei sind, bis 2,2 Ltk Zinn enthalten.

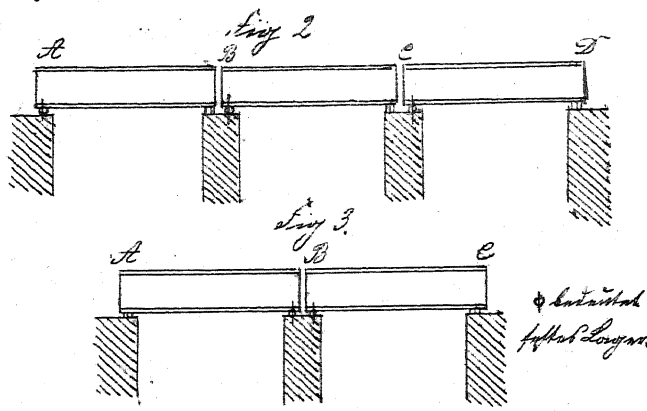
§ 3. Längsschub in der Krone bei horizontaler Bahn.

Wir folgen, wie wir schon früher bei den Längsschub Längen festgelegt haben, so wird bei Krone der Längsschub  $H$  auf dem Mittelstücken entstehen, welches bei festgelegtem Längsschub  $H$  eine Änderung bis zur Krone erfolgt, dann aber konstant bleibt. Die Längsschub auf beiden Seiten des Mittelstückes ist gleich, so werden auf einem Mittelstück von beiden Seiten Krone entstehen, die sich gegenseitig oder gar nicht ausbilden.

Wir untersuchen die folgenden Spezialfälle:

1. Einseitige Krone mit glatter Kronefläche. Wenn jetzt Krone einseitig und ein Längsschub  $H$  (Sty 2 und 3), so entstehen bei einem einseitigen Längsschub eine Änderung auf dem Mittelstück  $G$  und eine Krone, welche die Kronefläche bildet, die sich

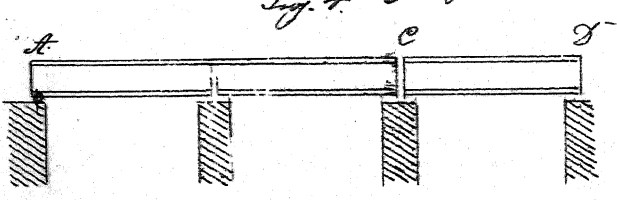
gegenständig aufbauen, so wird  $g$  abgesetzt, dass die Kräfte der beiden Lagen  
gleich groß ist. Ist in der Lage  $BC$  die  
Eingeknickung von dem beiden  
Lagen  $AB$  und  $CD$  zu verhalten  
wie  $f$  zu  $f_1$ , so ist die durch eine Tempera-  
turänderung verursachte Horizontalschiebung  $H = \frac{1}{2} f g l = \frac{1}{2} f_1 g l$ . Ist  
nicht vielmehr gegeben, wenn man  $f - f_1 = \frac{1}{2} f$  annimmt, so ist  $f$   
die normale Kräfteverteilung. Alltun würde  $H = \frac{1}{4} f g l$ , die  
zufällige Lasten für die nicht in Betracht kommen, da, wenn die  
gleichmäßig ist, die die Temperaturverteilung verhältnissmäßig ist, während die  
Laste durch einen Zug belastet ist. Hoff, aber nicht, im Horizont.  
Schiebung nach dem Pfeil in Folge der Verschiebung bei, einseitig  
genau Belastung, so fällt  $H = \frac{1}{2} f g l$ , wenn man die Horizontalschiebung  
8.  $H = \pm \frac{1}{4} f (g + 2p) l$



bei B und der Kräfteverteilung  $BC$  bei  $C = f$  und  $f_1$ , so ist die durch eine Tempera-  
turänderung verursachte Horizontalschiebung  $H = \frac{1}{2} f g l = \frac{1}{2} f_1 g l$ . Ist  
nicht vielmehr gegeben, wenn man  $f - f_1 = \frac{1}{2} f$  annimmt, so ist  $f$   
die normale Kräfteverteilung. Alltun würde  $H = \frac{1}{4} f g l$ , die  
zufällige Lasten für die nicht in Betracht kommen, da, wenn die  
gleichmäßig ist, die die Temperaturverteilung verhältnissmäßig ist, während die  
Laste durch einen Zug belastet ist. Hoff, aber nicht, im Horizont.  
Schiebung nach dem Pfeil in Folge der Verschiebung bei, einseitig  
genau Belastung, so fällt  $H = \frac{1}{2} f g l$ , wenn man die Horizontalschiebung

8.  $H = \pm \frac{1}{4} f (g + 2p) l$   
zu setzen sein. Die Temperaturverteilung (Kontinuelle Kräfteverteilung) würde die  
Gleichheit  $g$  zu erhalten haben.

Wenn man eine einseitige Last  $p$  im linken Lager auflegt, so dass  
Fig. 4.  $g$  die Kräfteverteilung der Kräfteverteilung  
alle Kräfte gegenständig sind, sind  
Punkte festhalten, (wie oben erwähnt,  
wobei, nicht bei horizontaler Last vorzuziehen sind), so kann  
die Horizontalschiebung an einem Mittelpfeile abgelesen

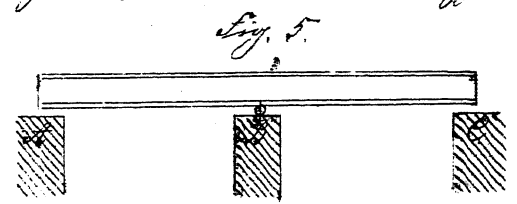


$$9. H = \pm \frac{1}{2} f (2g + p) l$$

manntan.

2. Kontinuierliche Kräfte mit 2 Stützen. Gena ist, wenn ein Körpergewicht

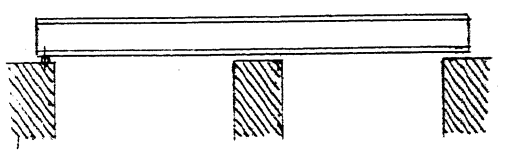
in einer Geraden liegen, in Folge der Eigenschwerkraft des Körpers auf zwei Stützen



zerfallen  $\frac{3}{8} gl$ , auf dem Mittelstapfen  $\frac{5}{4} gl$ , in Folge der zufälligen Luft der äußeren Stützen auf ein Gewicht von  $\frac{7}{16} pl$  und  $\frac{1}{16} pl$ , auf dem Mittelstapfen  $\frac{5}{8} pl$ . Wenn, wie es bei festsitzenden Luft und Luft ist, der feste Lager auf dem Mittelstapfen liegt (Fig 5), so wird der Horizontalschub auf dem Mittelstapfen, wenn der Reibungscoefficient an den Endstapfen  $f$  und  $f_1$  ist  $= \frac{3}{8} (f - f_1) gl$ .

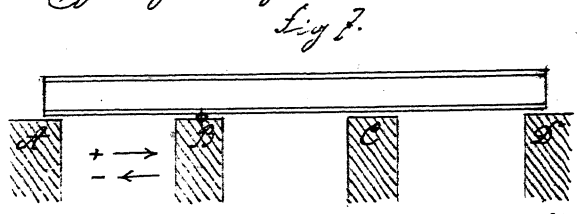
Setzen wir wieder  $f_1 = \frac{1}{2} f$ , so wird der Schub  $= \frac{3}{16} gl$ . Bei einer fiktiven Belastung auf der linken Endstütze von  $\frac{7}{16} f pl$  und  $\frac{1}{16} f pl$ , d. h. für  $f_1 = \frac{1}{2} f$   $= \frac{13}{32} pl$ . Danach wird zu folgen  
 10.  $H = \frac{1}{32} f (6g + 13p) l$ .

Liegt der feste Lager oben an einem Ende (Fig 6), so wird der Horizontalschub  $\frac{5}{4} f gl + \frac{5}{8} f pl$  oder  
 11.  $H = \frac{1}{8} f (10g + 5p) l$ .



3. Kontinuierliche Kräfte mit 3 Stützen.

Das Gewicht auf drei Stützen sei, in Folge der Eigenschwerkraft  $D_0, D_1, D_2, D_3$ , in Folge der zufälligen Luft  $D_0', D_1', D_2', D_3'$ .



Die Luft Lager liegen zufällig auf dem Stützen B (Fig 7). Bei einer fiktiven großen Lagerveränderung wirken in A, C, D die Kräfte  $\pm f D_0, \pm f D_2, \pm f D_3$ , also in dem Schub  $\pm f (D_2 + D_3 - D_0)$ . Da  $D_3, D_0$  ist,  $\pm f D_2 = \pm f D_1$ . Ganz zu Recht, weil in Folge der zufälligen  $+ f D_0' + f D_2' - f D_3'$ , wenn die äußeren Stützen belastet, anzunehmen sind,

oder  $-fD_0 - fD_2' + fD_3'$ , wenn das Mittelteil belastet ist, ferner kommen  
 da  $D_3 = D_0$  ist, so wird

$$12 \left\{ \begin{aligned} H &= +fD_1 + fD_2' && \text{(I, III belastet)} \\ H &= -fD_1 - fD_2' && \text{(II belastet)} \end{aligned} \right.$$

Für das Hauptkriterium 1:1:1 ist 1:1,3:1 das Mittelteil wird

$$H = +f(1,15g + 0,54p)l$$

$$H = -f(1,15g + 0,61p)l$$

wofür man

$$13. H = \pm f(1,15g + 0,58p)l$$

setzen kann. Hauptvergrößerung ergibt sich auf das Pfeil, auf dem Pfeiler C.

Ist das feste Lager in H, unverändert, so wird das Pfeil vergrößert.

4. Kontinuierliche Träger mit 4 Stützen. Bei parabolischen Lasten  
 wird man das feste Lager nur kappen, auf dem Mittelspannen man  
 setzen (Stig. 8). Ist  $D_1, D_2$  das Pfeil in Folge der ferner vergrößert  
 und durch ferner Luft im Pfeiler  
 B, so wirkt ferner in Folge der Träger  
 und vergrößert das Pfeil  $fD_3$  in  
 Folge der Vergrößerung des Pfeil  $fD_3'$  auf, wobei das I, und III oder  
 II und IV stark belastet vergrößert man ist. Es ist, also

$$14. H = f(D_1 + D_2')$$

Für die Hauptkriterium 1:1:1 ist 1:1,3:1,3:1 wird durch ferner

$$15 \left\{ \begin{aligned} H &= +f(1,12g + 0,51p)l && \text{I und III stark belastet} \\ H &= -f(1,12g + 0,60p)l && \text{II und IV stark belastet} \end{aligned} \right.$$

Das Pfeil auf dem Mittelspannen ist in Folge der Trägervergrößerung

$= f_0 D_0 + f_1 D_1 - f_3 D_3 - f_4 D_4$ , wenn  $D_0 = D_1, D_3 = D_4$ , die Platzantriebe in  
 A, B, C, bedürfen, da  $D_3 = D_1$  und  $D_4 = D_0$  ist, so wird dieses Pfeil durch

wenn die Reibungskoeffizienten gleich sind. Dingt man wie oben  
 $f_0 = f_1 = f$ ,  $f_2 = f_3 = \frac{1}{2}f$ , so wird der Reib =  $\frac{1}{2}f(D_0 + D_1)$ . In Folge der  
 Einwirkung wird die Belastung der II. und III. Lötart der Reib =  $-f_0 D_0$   
 $+ f_1 D_1 + f_2 D_2 - f_3 D_3 = f(-D_0 + D_1 + \frac{1}{2}D_2 - \frac{1}{2}D_3)$ . Bei Belastung der I. und  
 III. Lötart, wird der Reib, ebenfalls, aber unabhängig, also ist zu  
 folgern:

16.  $H = \pm f(D_0 + D_1) \pm f(-D_0 + D_1 + \frac{1}{2}D_2 - \frac{1}{2}D_3)$

Einflussmäßig wird  $D_0 + D_1 = 1,409l$ ,  $D_0 = -0,075 pl$ ,  $D_1 = 0,603 pl$ ,  
 $D_2 = 0,513 pl$ ,  $D_3 = 0,418 pl$ , Faktor

17.  $H = \pm f(0,709 + 0,73 p)l$

Ist der furchenartige furchigförmig, so wird der Reib in B =  $f(D_1 + D_1')$ ,  
 in C =  $f(D_2 + D_2')$ , wobei der I. und III. oder II. und IV. Lötart belastet an.  
 zu bemerken ist; Einflussmäßig wird der Reib in B:

18.  $H = +f(1,12g + 0,51p)l$   
 $= -f(1,12g + 0,60p)l$

Reib in C:

19.  $H = \pm f(1,08g + 0,54p)l$

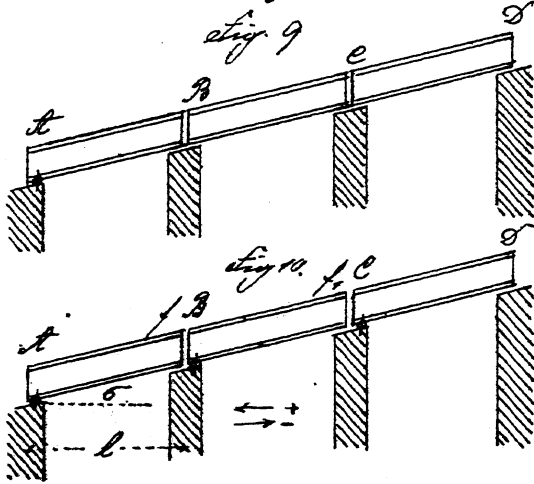
Ein l ist das Mittel aus der Pyramiden zu nehmen.

Der Reibungskoeffizient ist für flüchtigen zu setzen 0,2, für  
 Rollwagen etwa zu  $\frac{1}{5}$  anzunehmen, wenn die Einwirkung  
 der Rollen in Millimeter besteht. Ein Rollwagen wird durch  
 bei  $f = 0,01$ . Ein einseitig gerichtete Beispielweise für einfache Kräfte

	$l = 20$	$40$	$60$	$80$	$100$ Meter	
St. 2. $H =$	0,7	1,3	1,8	2,5	3,2	} Tonnen
St. 4. $H =$	0,9	1,8	3,0	4,6	6,4	

### § 4. Längsschub in der Krone bei geneigter Bahn. Dann

ein verfahrbares Lager so angeordnet sind, daß eine Kraftwirkung nur in horizontalen Sinn erfolgen kann so ist die Größe des Horizontalschlubsatzung noch dem vorigen Satz bestimmen. Hauptkritik beim Änderung in der Bestimmung des Horizontalschlubsatzung, wenn man ein unteres Ende A ein festes Lager angeordnet ist. (Satz 9)



für einen unteren Enden, ein festes Lager  
Horizontalschlubsatzung

ist jedoch nur in dem Lager von unten  
Lager Ende fast horizontal (Satz 10) so  
kommt zu dem in vorigen Satz mit  
mittleren Horizontalschlubsatzung  $\pm \frac{1}{4} f (g+ep) l$   
noch  $+(g+p) l \text{ lang } \delta$  hinzu. Von dem ab.  
müßte Primärkanten Komposition

$(g+p) l \text{ lang } \delta$  geht zu dem die Richtung am oberen Lager ab, tiefen  
kommt aber einfache Richtung am unteren Lager ist horizontal  
Kraftlang hinzu. Danach müßte:

$$20. H = +(g+p) l \text{ lang } \delta \pm \frac{1}{4} f (g+ep) l$$

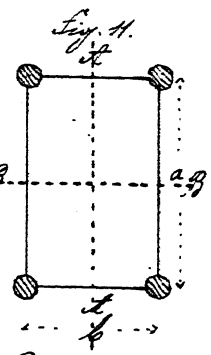
zu folgen. Bei kontinuierlichen Trägern müßte  $(g+p) l \text{ lang } \delta$  hinzu.  
kommen, wenn L die ganze Länge L des Trägers bedeutet.

### § 5 Winddruck. Die Richtung des Winddruckes ist in alle

seiner univokal und abwärts, nach der Richtung der Windgeschwindigkeit  
angewandt. Die Form in dieser Beziehung ist ein Kreis und ist  
möglich zu untersuchen.

a. Kreis. Hände der Pfeile frei, d. h. ohne an nicht, nur

Träger belastet, so würde das Wind in Richtung der kleinen Aya von  
 gelöst sein. Die Hauptwirkung aber ist die Allgemeinwirkung der auf  
 den Träger wirkende Winddruck, dieser aber würde bei  
 dieser Richtung Null. Es ist ein allseitiges einseitiges der  
 Drahten,  $a$  und  $b$  ist,  $\gamma$  ist der Druck, der in diesem Punkte  $B$ .  
 Die Wirkung der in der Richtung der kleinen Aya  $BB$  von der  
 der Wind ist gleichförmig. Die in der Richtung der Drahten  
 und der in der Richtung, der das Wind in der Richtung von  $BB$  macht, nicht  
 in der Richtung der Punkte, welche kommen, wie in der Richtung von  $BB$  (ma-  
 gen der Richtung der die Halme sind und Pfeiler) ist für die Punkte, in  
 Allgemein der Windrichtung fast gleich der Drahten (in der Richtung  
 von  $BB$  angenommen).



6. Jitharmanak. Ein der Jitharmanak in der Drahten, welche  
 der Wind in Richtung der Drahten gar nicht berührt, sondern gilt  
 der Draht. Dagegen ist für die Jitharmanak in der Drahten, und die Draht  
 der in Richtung der Drahten, welche der Wind der gleichförmig. Dieser  
 auf den Pfeiler wirkende Winddruck erzeugt aber eine Reaktion  
 in der Draht. Es sei der Winddruck der gleichförmig  $w$  die Reaktion  
 in der Draht  $H$ , die Pfeilerhöhe  $h$ . Im Abstand  $x$  von der Draht ist der  
 Moment  $M_0 = Hx - \frac{1}{2} wx^2$ . Ist  $F$  der Trägheitsmoment Fig 12

der Pfeiler,  $E$  der Elastizitätskoeffizient, so ist die  
 Differentialgleichung der elastischen Linie

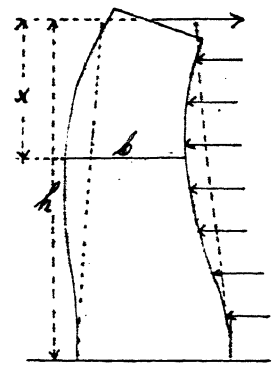
$$\frac{d^2 y}{dx^2} = \frac{M_0}{EI} = \frac{Hx - \frac{1}{2} wx^2}{EI}$$

Die Lösung der Draht ist

$$\eta \cdot \int_0^h \frac{d^2 y}{dx^2} x \cdot dx = \frac{1}{EI} \int_0^h \frac{Hx^2 - \frac{1}{2} wx^3}{F} dx$$

oder

$$\eta = \frac{H}{EI} \int_0^h \frac{x^2 dx}{F} - \frac{w}{2EI} \int_0^h \frac{x^3 dx}{F}$$



Die in gleichem Maße, wie man, so man

$$22. \quad H = \frac{1}{2} \omega \frac{\int x^3 dx}{\int x^2 dx}$$

Ist die Querschnittsfläche aller Wirbel, die in variablen Abständen, so kann man  $F = 2 \frac{1}{2} \left(\frac{b}{2}\right)^2 = \frac{1}{4} b^2$  setzen. Bei konstantem  $F$  wird

$$23. \quad H = \frac{3}{8} \omega l.$$

H kann in der Regel nicht größer werden, als die Reibung und zwar, wenn die Platten in horizontaler Lage liegen, als die Reibung in vertikaler Lage, wenn die Platten in vertikaler Lage liegen, als die Reibung an den Enden der Platten, wenn sie gefaltet sind, sonst das Gewicht auf alle Platten gleich stark wirkt und alle Platten gleich voll sind.

Bei unregelmäßigen Trägern ist es nicht möglich, sie auf die Träger mit einem Abstand zu stellen. Bei kontinuierlichen Trägern ist die Druckverteilung manninges einfach zu berechnen. Zugreifen wir eine von den Abständen  $z$  der Träger mit  $\omega$  (Abstand zum nächsten  $\omega/2$ ) auf den Platten mit  $\omega_1$ , die horizontale Kräfte an den Enden der Platten mit  $H_1, H_2, \dots$ , die vertikale Druckkraft an den Enden mit  $C_1, C_2, \dots$  die Platten manne an den Platten mit  $M_1, M_2, \dots$ , die mittlere Trägertrommel der Träger für eine vertikale Bewegung mit  $F$ , die mittlere Bewegung manne mit  $l$ , die unregelmäßigen mit  $l_1 = (1+n)l$ , so wird nach der Theorie der kontinuierlichen Träger

$$24. \quad \begin{cases} 2(1+n)M_1 + M_2 = \frac{1}{4}(1+n^3)\omega l^2 - 6CF\left(-\frac{n+1}{n}C_1 + C_2\right), \\ M_1 + 4M_2 + M_3 = \frac{1}{2}\omega l^2 - 6\frac{CF}{l^2}(C_1 - 2C_2 + C_3), \\ M_2 + 4M_3 + M_4 = \frac{1}{2}\omega l^2 - 6\frac{CF}{l^2}(C_2 - 2C_3 + C_4), \\ \dots \end{cases}$$

Entwickelt man das Formel 24 können wir setzen:

25.  $G_1 = A_1 H_1 + B_1 \omega_1, \quad G_2 = A_2 H_2 + B_2 \omega_2 \dots$

wo bei die Glieder  $A_1, A_2, \dots, B_1, B_2, \dots$  durch die Dimensionen der Pfeiler bestimmt sind. Außerdem sind noch

26.  $H_1 = \frac{n+1}{2} \omega h + \frac{d_1 - d_2}{L}, \quad H_2 = \frac{p \cdot l}{L} - \frac{d_1 - 2d_2 + d_3}{L} \dots$

Setzt man diese Kollisionsformeln für  $H_1, H_2, \dots$  in die Kollisionsformeln für  $G_1, G_2$  und diese wiederum in die Gleichungen 24, so erhält man die Gleichungen zur Bestimmung von  $d_1, d_2, \dots$ ; durch die Gleichungen stellt man  $H_1, H_2, \dots$  bestimmt.

Nimmt man die Überwindung der Pfeiler zu Null, so erhält man den Druck auf die Pfeiler abnehmend zu groß (bis zu 8%). Nimmt man die Länge der Pfeiler sehr unzulässig zu groß, so erhält man den Druck abnehmend zu klein (bis zu 18%), so sind diese mangelhaften Pfeiler, welche innen kragt und sich durch das Wachsen der Pfeiler nicht, ja sogar die Pfeiler sind.

Empfehlung des Prof. Dr. Windstreckel vom 18. März 1871 auf die „Abwägung über Längenkraft, Querkraftverhältnisse, Seite 239.“ Ziemlich kann man den Winddruck bei und abnehmend belasteten Pfeiler zu 0,15, bei mittelbelasteten Pfeiler zu 0,25 Ton. pro Q. Meter annehmen. Die unterstehenden sind noch:

1. Druck auf die Länge. Empfehlung des Prof. Dr. Windstreckel vom 18. März 1871 auf die „Abwägung über Längenkraft, Querkraftverhältnisse, Seite 240.“ Ziemlich empfiehlt sich für den Druck  $\omega$  pro Längeneinheit und  $W$  für eine ganze Öffnung in der Pfeiler, man folgt:

	$L =$	20	40	60	80	100	Meter
Druck auf die Länge	unbelastet $\omega =$	0,39	0,68	0,98	1,27	1,58	Tonnen pro Meter
	belastet $\omega =$	0,23	0,41	0,59	0,77	0,95	
Druck auf den Querschnitt	$\omega =$	0,47	0,43	0,42	0,42	0,42	

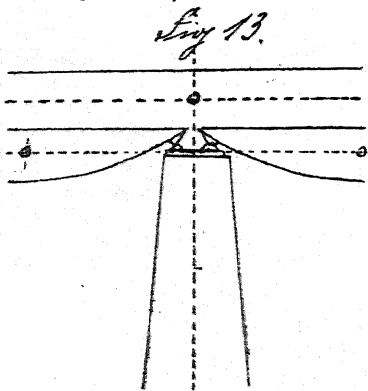
l = 20 40 60 80 100 Meter

Dauk auf der Längsachse	{	unbelastet W =	7,8	27,2	58,8	101,6	158,0	Länge von Mutter.
		belastet W =	4,6	16,4	35,4	61,6	95,0	
Dauk auf der Quers. . . . .		W =	9,4	17,2	25,2	33,6	42,0	

Ob das Belastungsdauk bei Belastung der Längsachse oder bei unbelasteter Längsachse die günstigste Wirkung hat, ist besonders zu untersuchen, im letzteren Falle ist das Dauk zur Steigerung der Größe, oder die Größe kleiner, im ersten Falle ist das Dauk zur Steigerung der Länge, oder die Länge größer. Die Belastung der Längsachse sind beide Stellen neben dem günstigsten Stellen ab Belastung anzunehmen.

Die Anwendung kontinuierlicher Kräfte möglich das von der Länge auf die Pfeilweite in der Länge der Dauk nach der Größe der kontinuierlichen Kräfte bestimmt werden. Wenn sich die Pfeilweite nicht ändern, sondern so wie die Länge der Dauk größer sein, als bei unbelasteter Länge (15 bis 25% größer) durch die Länge der Pfeilweite wird das Dauk maßgebend sein, mindert, so dass es nicht zu gering, ist, um 10% größer anzunehmen, als für unbelasteter Länge. Die genaue Bestimmung ist nach der Größe der kontinuierlichen Kräfte immer möglich.

Das Dauk ist immer in der Höhe der Pfeilweite der Länge, die günstigste Wirkung erzielt werden kann anzunehmen. (S. 13)

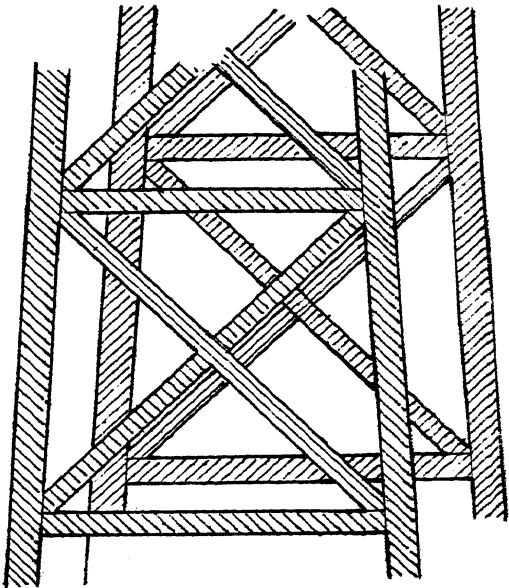


S. 13.

2. Dauk auf der Pfeilweite. Die Größe, welche von der Pfeilweite abhängt, ist die Projektion der Pfeilweite anzunehmen, welche sich ergibt, wenn man sich die Pfeilweite als einen geraden Winkel mit der Längsachse (S. 14). Sind die Dimensionen der Pfeilweite bekannt, so lässt sich die Größe der Pfeilweite leicht bestimmen. Für den

Fig. 14.

läufigen Kurfma fallen wir in Längen.  
 Ein wenig zufließen nach aufwärts  
 Längen zusammen. Es wird bezugsnah  
 Ein Stück flüßig von Meter Höhe, 6 bis  
 mittlere Pfeilerbreite, also  $\frac{F}{b}$  ist  
 hervorgeht das Stück flüßig zu wollen  
 Kupfer flüßig.



Einmal mindere Kurfmittel des  
 Winterstück bei unbelasteter Brücke  $0,25 \cdot 2,82$   
 =  $0,70$ , bei belasteter Brücke  $0,15 \cdot 2,82 = 0,42$  Ton.

Bezeichnung	b Meter	F □ Met.	$\frac{F}{b}$
Beckendamm. in Pfalzmark	4,2	2,07	0,50
Brück. von Bellon, Orléanshafen	3,4	2,57	0,74
Brück. von Roule, Belg.	3,9	2,65	0,68
Weissenbach. Brück., Ostpreußen	3,6	2,65	0,74
Crumlin. Brück., England	6,8	2,70	0,40.
Eglava. Brück., Ostpreußen	4,2	2,85	0,68
Guggenlochbrücke, Pfalzmark	2,8	3,00	1,07
Rheinbrücke bei Stein, Pfalzmark	3,0	3,00	1,00
Reuebrücke bei Mellingen, Pfalzmark	3,6	3,16	0,88
Brück. über die Gravine Italien	4,6	3,21	0,70
Thurviadukt bei Assingen, Pfalzmark	3,3	3,25	0,98
Mittel.	3,9	2,82	0,76

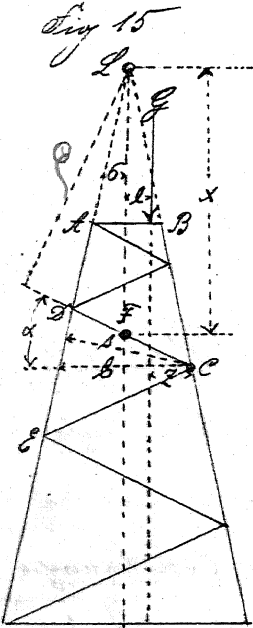
von Meter Höhe sein.  
 Die Stück flüßig  $\frac{F}{b}$  für  
 das in der Richtung  
 der Längsachse. man  
 findet im Mittel von 1 Met  
 Höhe mind. um 0,6 bis  
 1,3, im Mittel um 0,9 □ Met.  
 größten, so tief für  
 der Winterstück bei  
 gleichem Gefälle.  
 hat bezüglich strom  
 0,93 und 0,56 Tonnen  
 von 1 Meter weiten.  
 bei geringster Brück.

geschwindigkeit nimmt ab, wenn man  $\frac{1}{3}$  zu setzen, also 0,62  
 und 0,37 Tonnen von 1 Met. weiten.

B. Ebene Gitterpfeiler.

56. Vertikaldruck in der Krone. Ein fest in geradlinig nach unten, durch die ganze Pfeilerkonstruktion in einer Vertikalachse liegend, in mal.

fest auf die äußere Kräfte wirken. Geradlinig, wirkt in der Krone ein Vertikaldruck  $G$  im Abstand  $e$  von der Pfeilerachse



Ist die Spannung im ersten Pfeilstück  $DE = P$ , das Normalspannung fallend von unten nach oben. An Knotenpunkt C, b die horizontale Last in C, z der Abstand des Vertikaldruckes  $G$  von C und  $\phi$  der Krümmungswinkel des Pfeilstückes gegen die Vertikale, so ist  $P + Gz = 0$ , also

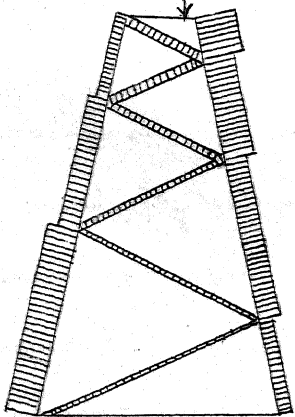
$$27. P = -\frac{Gz}{\phi} = -\frac{Gz}{\phi} \sec \phi = -\frac{1}{2} G (1 - 2 \frac{z}{\phi}) \sec \phi.$$

Die Spannung der äußeren Pfeile, welche aus der Krümmungswinkel der Last am Pfeilende resultiert, nimmt nach unten ab, die Spannung der inneren Pfeile nimmt nach unten zu. (Fig. 15a). Für  $\phi = 0$  wird einfach

$$28. P = -\frac{1}{2} G \sec \phi.$$

Ist die Spannung im letzten Pfeilstück  $CD = P$ , das Abstand fallend von Punkt A, in welchem die Drehungswinkel der äußeren Pfeilstücke, bestimmt, welche von einem durch CD gelegten Pfeil getroffen werden, =  $\xi$ , sowie der Abstand des Punktes A von der Pfeilmittelpunkts F eines inneren

Fig. 15a.



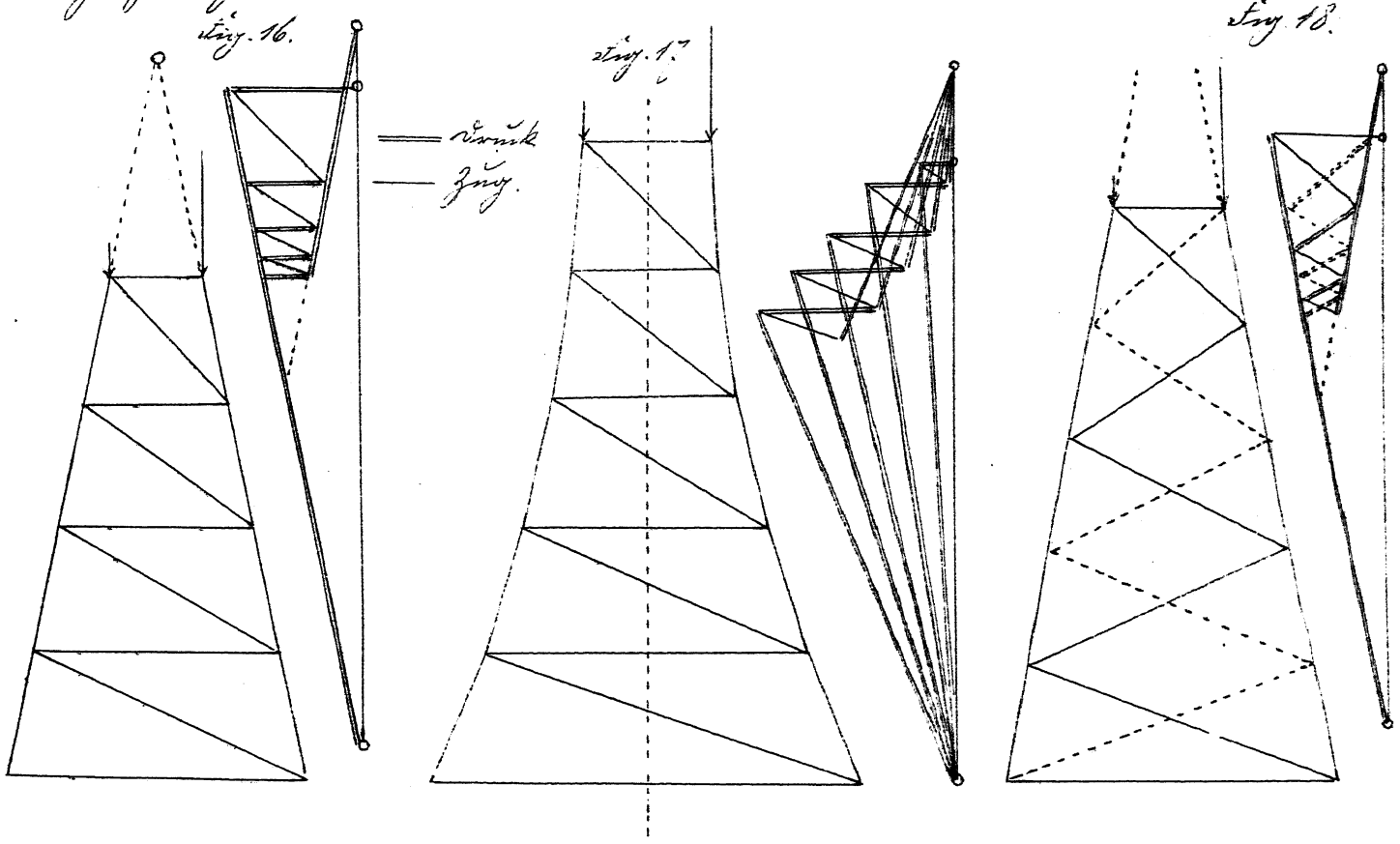
Leget man die Winkel  $\alpha$  mit dem Winkel  $\alpha$ , um den die Kräfte  $P$  und  $Q$  wirken, und  
 die Winkel  $\beta$  mit dem Winkel  $\beta$ , so ist  $P \cos \beta - Q \sin \alpha = 0$ , also

$$29. P = \frac{Q \sin \alpha}{\cos \beta} = \frac{Q \cdot l \cdot \sin \alpha}{x}$$

Die Spannung  $P$  nimmt hinwärt sich gleichmäßig mit der Höhe  $x$  auf  
 und ab. Wäre  $Q$  auf der rechten Seite des Seils, so sind die Winkel  
 fallender Höhe gleich, die Winkel fallender gedrückt. Sind  $\alpha = 0$ , wird  $P = 0$ ,  
 die Spannung  $P$  ist nun gleich, also keine Spannung der Seilhöhe.

Die Annahme der gleichmäßigen Belastung der Seile, und gleich-  
 mäßige Kräfte  $Q$  sind 17. Man wird für die Last  $Q$  in zwei, mit der  
 selben Seite der Seile, mit einem Kräftepaar gegeben.

Die in der gleichmäßigen Last, wird man die Spannung  $P$  annimmt  
 resultiert, indem man die in der gleichmäßigen Last, wird man  
 just die selbe Last mit dem Länge der gleichmäßigen Last, in der Höhe  
 gleich 18.



§ 7. Eigengewicht. Die Spannung nach Kantenpunkten D E ist, die Zugspannung der übrigen S. beibehalten,

Fig. 19.

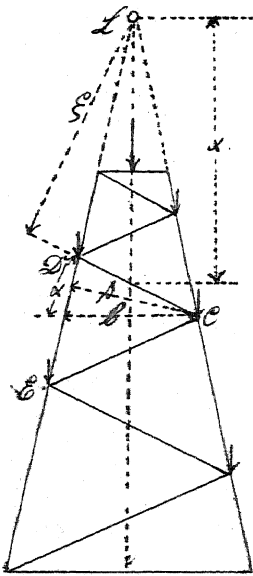
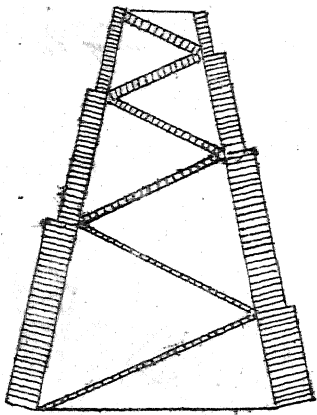


Fig. 19. a.



haben kleine Stücke auf  
 zuzufügen sein.  
 Die großste Lu.  
 nimmt für sich  
 nicht ganz Fig.  
 20 und 21.

$$30. S = - \frac{M_0}{l} = - \frac{M_0}{b} \text{ set } b$$

wenn  $M_0$  das Moment aller über einem Stütz C  
 gelegten Balken wirkenden Kräfte in Zugspannung  
 auf C bezieht. Die Spannung Punkt Stützpunkt CD  
 ist

$$31. P = + \frac{M_1}{x} = \frac{M_1}{x} \text{ set } a.$$

wenn  $M_1$  das Moment aller über einem Stütz CD  
 gelegten Balken wirkenden Kräfte in Zugspannung auf  
 L bezieht. Das Moment der auf die Krone mit  
 kleinen Kräfte ist Null, so daß diese keine Spannung  
 der Stützstäbe erzeugen. Aber, auf die von den  
 übrigen Kräfte erzeugten Spannungen sind nicht  
 sehr klein. Im Endmaß sind die diagonalen  
 Stützstäbe ohne Spannung, wie auch die übrigen.

Fig. 20

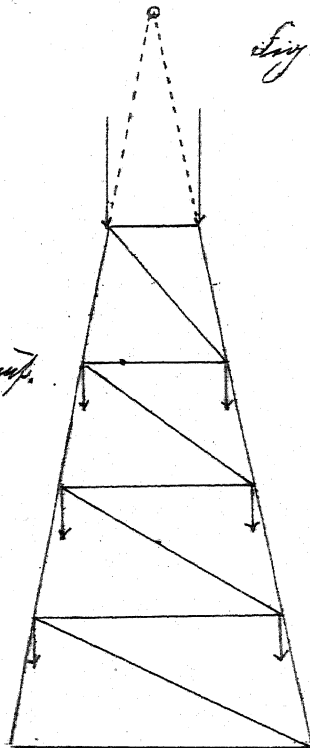
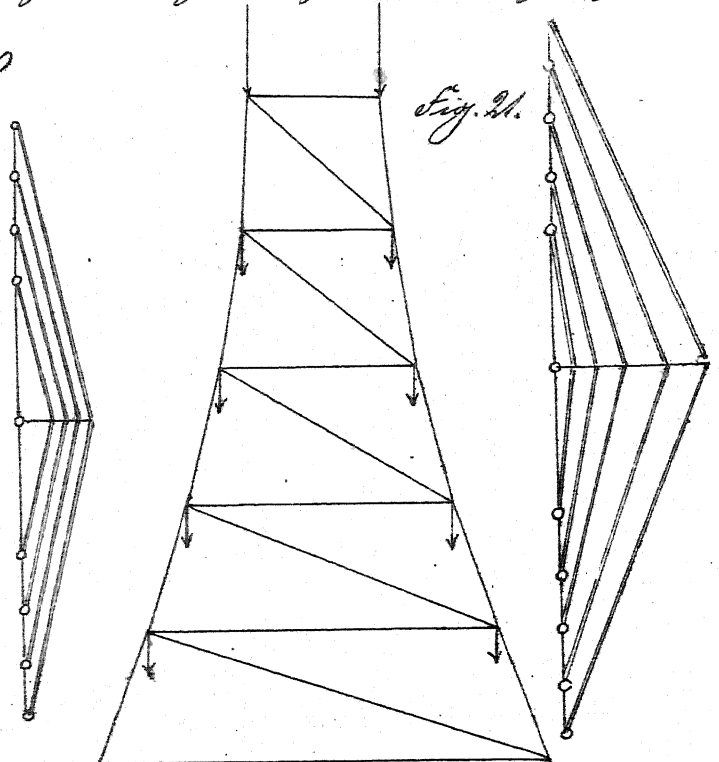


Fig. 21.



§ 8. Horizontalkraft in der Krone. Ein in beliebigen Höhe, mit  
 einer Horizontalkraft bei H. die Spannung nimmt gleichmäßig ab (Fig. 22)

$$32. S = + \frac{H x_1}{l} = + \frac{H x_1}{l} \text{ set } 0,$$

manne x, den Horizontalabstand und seine Punkte DE gegenseitig entgegengesetzt,  
 hangen ab C von H hangen ab. Ein nach rechts wirkender Kraft ist die linke  
 Seite gegeben, die nach rechts gedrückt. In jedem beliebigen Punkte b in der Höhe  
 H + Bx mit einem Länge, so nimmt S von oben nach unten zu (Fig. 22a)  
 und manne H durch den Punkt L gegeben würde, so würde S konstant.  
 Sannst wird die Spannung nicht Null CD

$$33. P = - \frac{H c}{x} = - \frac{H c}{x} \text{ set } a.$$

manne c den Abstand der Horizontalkraft H von L hat ab. Ein  
 nach rechts wirkender Kraft sind die nach links fallenden Platte gegeben,  
 die nach rechts fallenden gedrückt. Die Spannung nimmt von oben nach  
 unten zu ab. (Fig. 22a). Ein ganz ähnliches System wird manne in zwei  
 ähnlichen Systemen gegeben und auf jeder  
 einfallende die Kraft  $\frac{1}{2} H$  wirken lassen.

Fig. 22

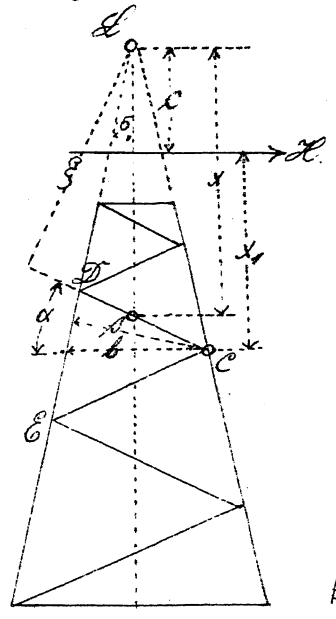


Fig. 22a

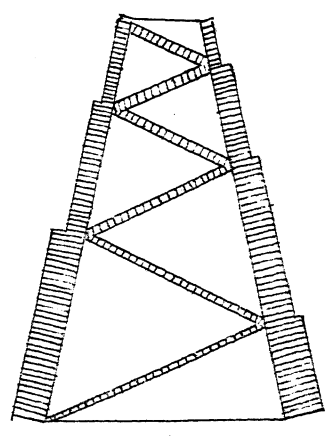
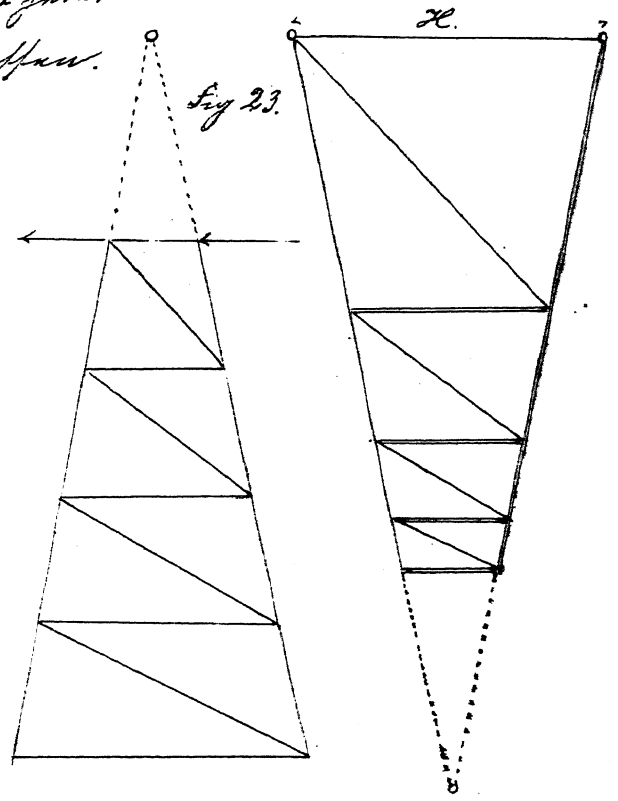
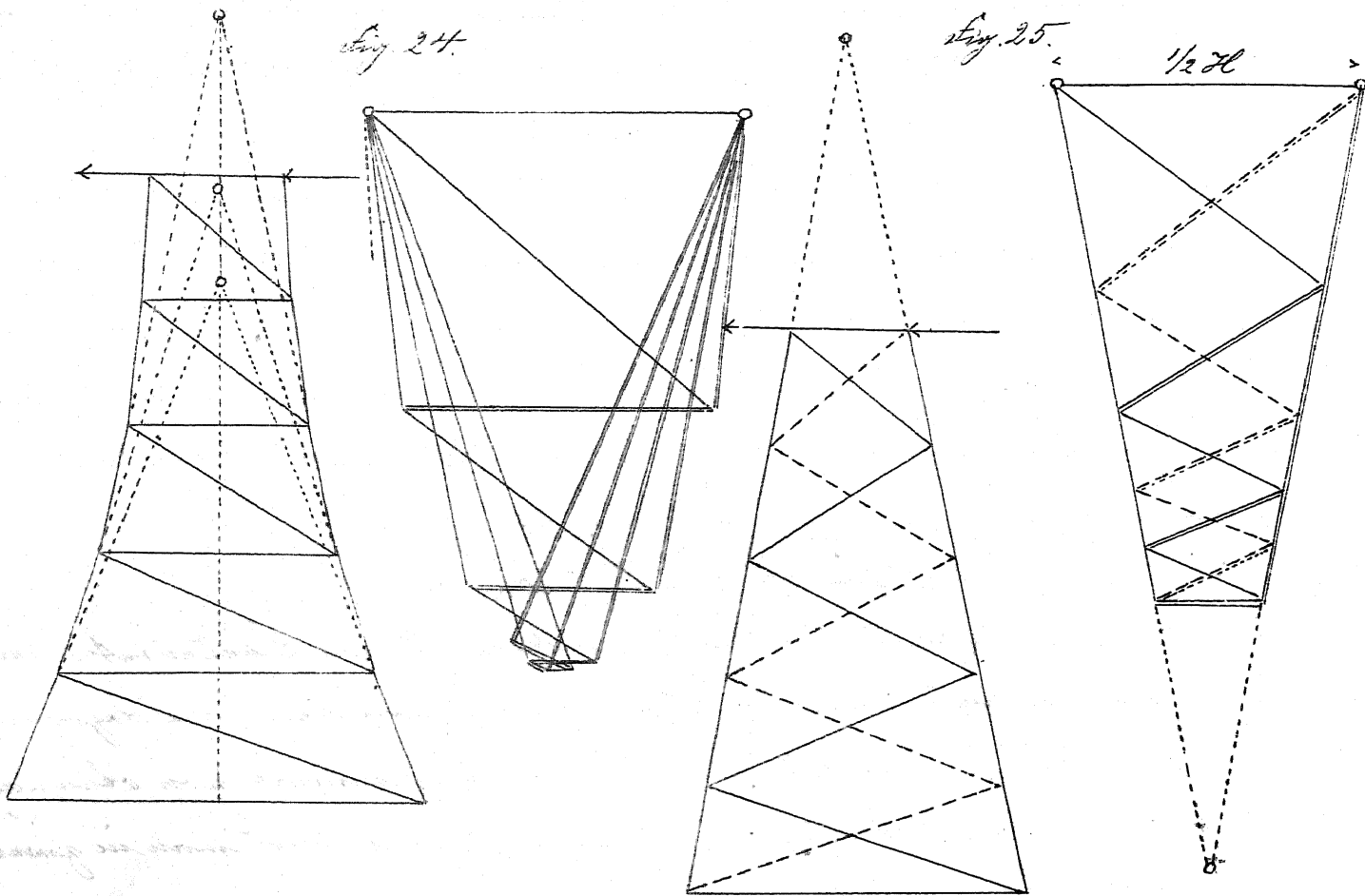


Fig. 23





Die Annahme der gleichförmigen Lastverteilung auf der Höhe und der gleichförmigen Verteilung der Windkräfte zwischen Fig. 23 und 24, auf der Höhe der gleichförmigen Lastverteilung Fig. 25. Wenn die Kraft  $H$  nicht genau in den oberen Knotenpunkten wirkt, so kann man sie, ohne Änderung der Spannungen zu ändern, auf ein derartiges wellenförmiges Profil mit der Kraft vergrößert denken. (Fig. 26.)

§ 9. Horizontalkräfte in den Knotenpunkten. Die Spannung der Seile  $DE$  ist

$$34. S = \frac{M_1}{l} = \frac{M_1 \cdot \sin \alpha}{b}$$

wobei  $M_1$  die Moment der über dem Seil  $DE$  wirkenden Kräfte ist.

Kunden Kräfte in Beziehung auf C bestimmt.

Wenn die Kräftepunkte einem gleichem Vertikalabstand  $a$  haben, und das Winddruck gleichmäßig verteilt angenommen wird, so liegt sich  $M_1$  leicht ermitteln. Drückt man jede Seite zur Höhe  $a$  auf die das Punkt  $\frac{1}{2} \omega$ , so ergibt sich bei Annahme von Stützpunkte (Fig. 27):  $M_1 = \frac{1}{2} \omega x^2$ , wenn  $x$ , den Abstand des Kräftepunktes  $C$  von der Krone bedeutet.

Die Spannung nimmt ferner von oben nach unten zu; sie ist auf der Windseite ein wenig größer als auf der Leeseite ein wenig.

Die Spannung Punkt  $E$  ist  $P = \frac{M_1}{x}$ .

$$35. P = \frac{M_1}{x} = \frac{M_1 \sec \alpha}{x}$$

wenn  $M_1$  das Moment aller über einem Punkt  $E$  gelegten Kräfte im Abstand  $x$  bedeutet. Letzteres ist das Produkt aus Winddruck  $\omega$  und der Fläche der Kräftepunkte  $a$  des Kräftepunktes  $C$  von der Krone aus gemessen, die über dem Punkt  $E$  liegt. Bei gleichmäßig verteiltem Winddruck und gleichem Vertikalabstand  $a$  des Kräftepunktes ergibt sich für das Moment (Fig. 27) für eine Stützweite  $a$

$$36. M_1 = \frac{1}{2} \omega [x^2 + 2cx + a(c+x)]$$

wobei  $x$  den Abstand des oberen Endes der Stützweite von der Krone bedeutet,  $c$  für eine Horizontale, welche von der Krone den Abstand  $a$  hat,

$$37. M_1 = \frac{1}{2} \omega (x^2 + 2cx)$$

für zwei gleichmäßig verteilte Kräftepunkte  $a$  in einem Abstand  $a$  (Fig. 27).

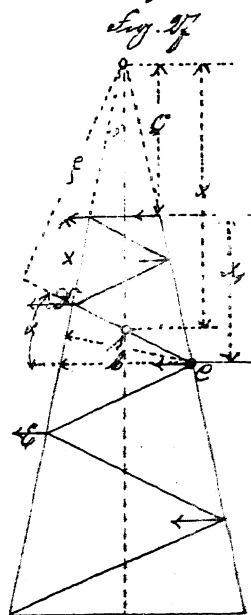


Fig. 27.

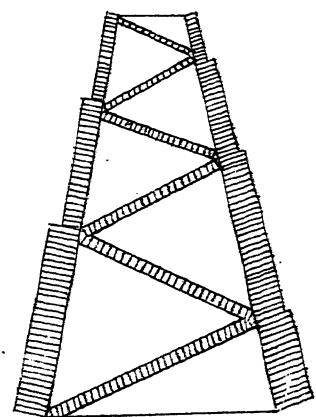
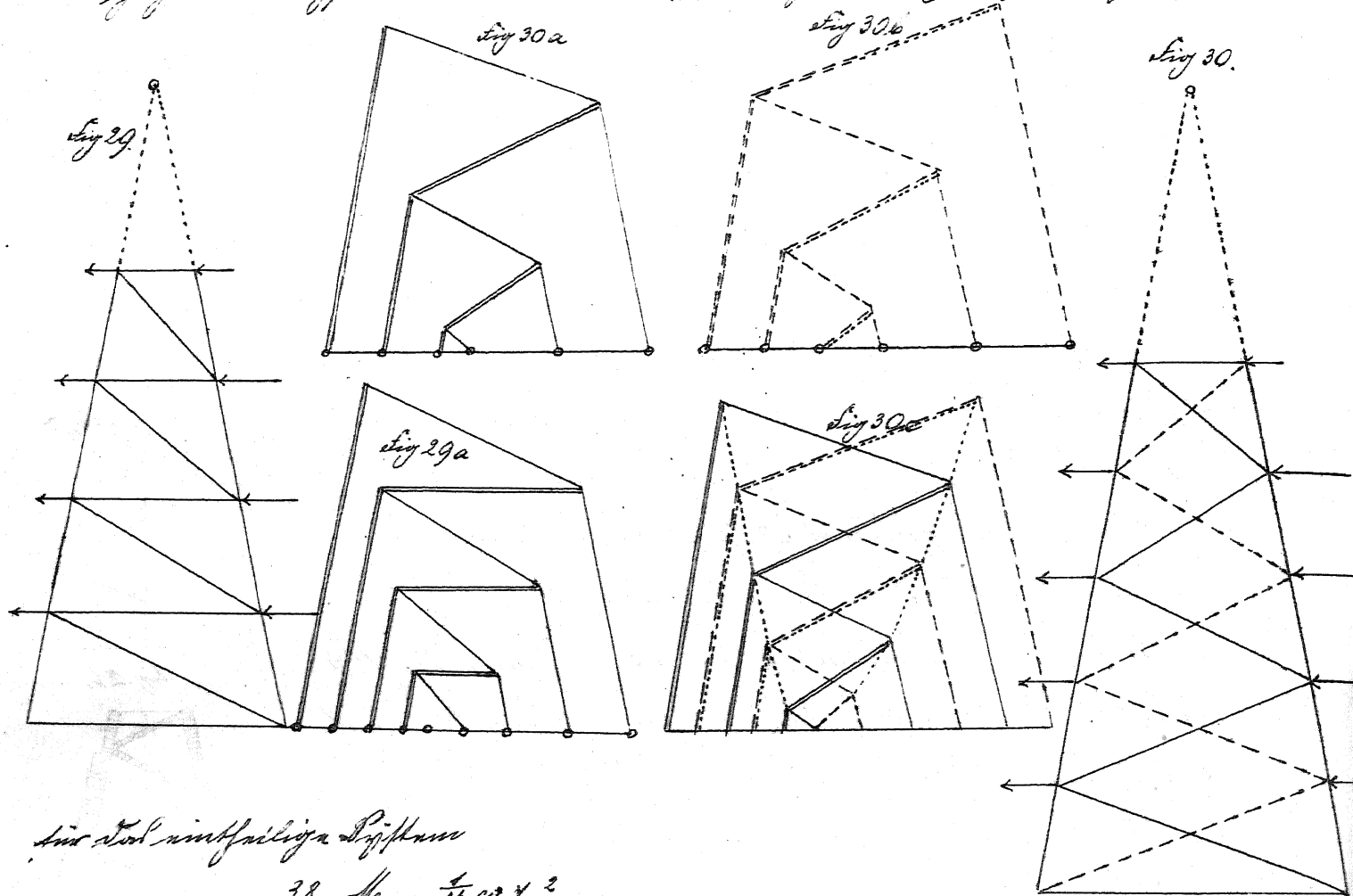


Fig. 28.

gezeigt wird in jedem Knotenpunkte der einseitigen Pyramide die für  
 seine gegenseitigen Pyramide wirkende Kraft anzuzeigen. Es ergibt sich, dass



das ist einseitige Pyramide

$$38. M_1 = \frac{1}{4} \omega x_1^2$$

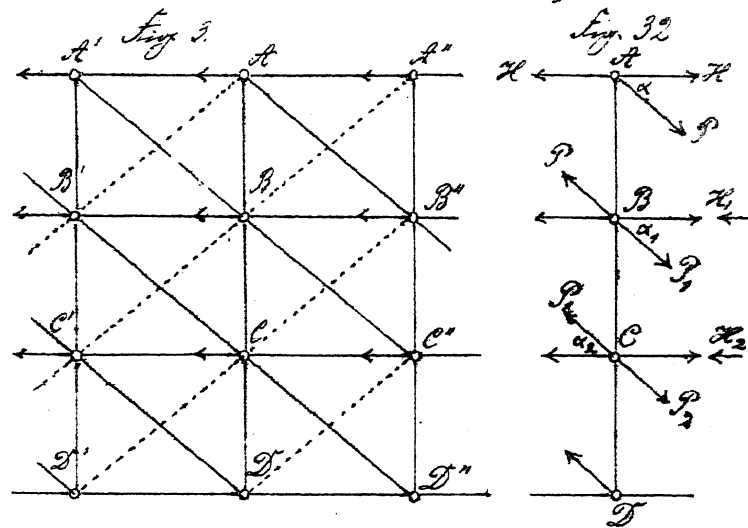
wenn  $x_1$  den Abstand des freigelegten Knotenpunktes von der Krone be-  
 deutet, ist

$$39. M = \frac{1}{4} \omega [x^2 + 2cx + \frac{1}{2} \omega (c+x)]$$

wenn  $x$  den vertikalen Abstand des oberen Endes des freigelegten  
 Theils von  $L$  bedeutet.

Die Konstruktion der gegenseitigen Polyzonalenkräfte für geordnete  
 Pyramiden, sowie für einseitigen Turm und gegenseitigen Halbkreis  
 zeigt Fig 29 und 30.

§ 10. Gerüstbrücken. Die Stützen und Böden, in gleicher Entfernung, aufgestellt und durch Gitterwerke verbunden (Fig. 31). Die nachher zu erwähnende Horizontalkraft, oder Ringel und Zugkräfte, sind von allen Böden, in der Ebene und aus der Kräfteebene eine gleiche Horizontalkraft, so sind die Ringel ohne Spannung, weil sich alle Böden gleich stark ausdehnen, also keine Spannung entsteht der Ringel einwirken kann. Also, es wirkt die eine Ebene von Zugkräften eine Spannung. Die Kräfte von



den Stützen  $A'B''$  und  $A'B'$  haben gleiche Spannung  $P$ , auch haben die Stützen  $B'C''$  und  $B'C'$  gleiche Spannung  $P_1$  u. s. w. Zugkraft, man die wirklichen Kräfte  $H, H_1, H_2, \dots$ , so macht sich für die Stütz  $AB, BC, CD, \dots$  gleiche Kräfte (Fig. 32) ist  $P$ .

Gleichgewicht Bedingung

$$40 \begin{cases} P \cos \alpha = H \\ P_1 \cos \alpha_1 = H + H_1 \\ P_2 \cos \alpha_2 = H + H_1 + H_2 \end{cases}$$

wo  $P, P_1, P_2, \dots$  bestimmt ist.  
 Ein, aus der Hauptausführung heraus mit man die Böden mit gegebenenmaßen verbunden sind (wie bei den verschiedenen Stützen Gerüstbrücken) ist die Aufgabe nicht unbestimmt. Kräfteausführung wird man die Ringel für den Kräfte  $P \cos \alpha, P_1 \cos \alpha_1, \dots, H, H + H_1, \dots$  brauchen können, welches nicht, wenn

mit ein Ringel und eine Singswelle, die man sorgfältig an den Enden  
 anlagern, gespannt sind.

§ 11. Reduktion auf einen ebenen Gitterpfeiler. Wir nehmen  
 zunächst an, daß die äußeren Kräfte in einer Ebene  $A_0 B_0 C_0 D_0$  (Fig. 33.) wirken. Die Spannungen auf der äußeren Seite des  
 Gitterkörpers  $A B C$  und  $A_1 B_1 C_1$ , müssen alle von gleichem, dem  
 man man sich die Ebene  $A A_1 C_1 C$  durch einen ihr parallelen Schnitt  
 abtrennt, so treten die Spannungen der gegenüberliegenden Seite der äußeren  
 Kräfte auf. Diese Kräfte wirken symmetrisch gegen eine Ebene  $A_0 B_0 C_0 D_0$   
 die Ebene  $A A_1 C_1 C$  durch den Punkt  $A_0$  in der Richtung der  
 Ebene  $A_0 B_0 C_0 D_0$  zur Ebene  $A A_1 C_1 C$  hin. Da keine Momente  
 in der Ebene  $A A_1 C_1 C$  durch den Punkt  $A_0$  wirken, so muß die  
 die Kräfte der Ebene  $A A_1 C_1 C$  symmetrisch sein.

Die Spannungen der gegenüberliegenden Seite des äußeren Körpers  
 $A B C$  und  $A_1 B_1 C_1$ , lassen sich zu einer Resultante  $R$  vereinigen, welche  
 in der Projektion der Kräfte durch den Mittelabstand  $A_0 B_0 C_0 D_0$   
 mit der Ebene  $A A_1 C_1 C$ , Singswelle und Ringel mit  $S, P, H$ ,  
 und anderen Spannungen für den Fall, daß der Pfeiler ein  
 Pfeiler, welcher der Projektion der Kräfte durch den Mittelabstand  $A_0 B_0 C_0 D_0$   
 $A_0 B_0 C_0 D_0$  entspricht, mit  $S_0, P_0$  und  $H_0$ , so verhält sich

$$41. S = \frac{1}{2} S_0 \text{ seiß, } P = \frac{1}{2} P_0 \text{ seiß, } H = \frac{1}{2} H_0,$$

man mit  $\angle B O B_1 = 2\beta$ ,  $\angle F O F_1 = 2\beta$ , folgen. Ist der Kräfte-  
 winkel der Ebene in der Projektion auf die Ebene  $A_0 B_0 C_0 D_0$   
 durch den Punkt  $A_0$   $\epsilon$ , so ist:

Fig. 33.

$$72 \begin{cases} \tan \beta = \frac{\tan \epsilon}{\sec \epsilon}, & \sec \beta = \frac{\sqrt{1 + \tan^2 \epsilon + \tan^2 \epsilon}}{\sec \epsilon} \\ \tan \beta_1 = \frac{\tan \epsilon_1}{\sec \alpha}, & \sec \beta_1 = \sin \alpha \cdot \sqrt{1 + \tan^2 \epsilon + \cot^2 \alpha} \\ & = \sqrt{1 + \sin^2 \alpha \cdot \tan^2 \epsilon} \end{cases}$$

Zur dem Aufwärtigen für die  
 Spannung der Seile für ein  
 abwärts stehendes Seil, nämlich  
 der Seile  $\sec \epsilon$ , um die Stelle  
 der Seile  $\sec \alpha$  müßte jetzt nur  
 der Seile

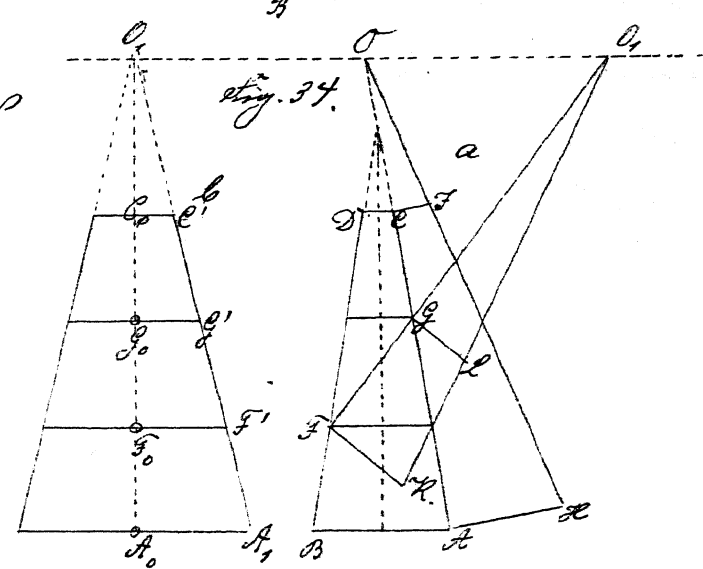
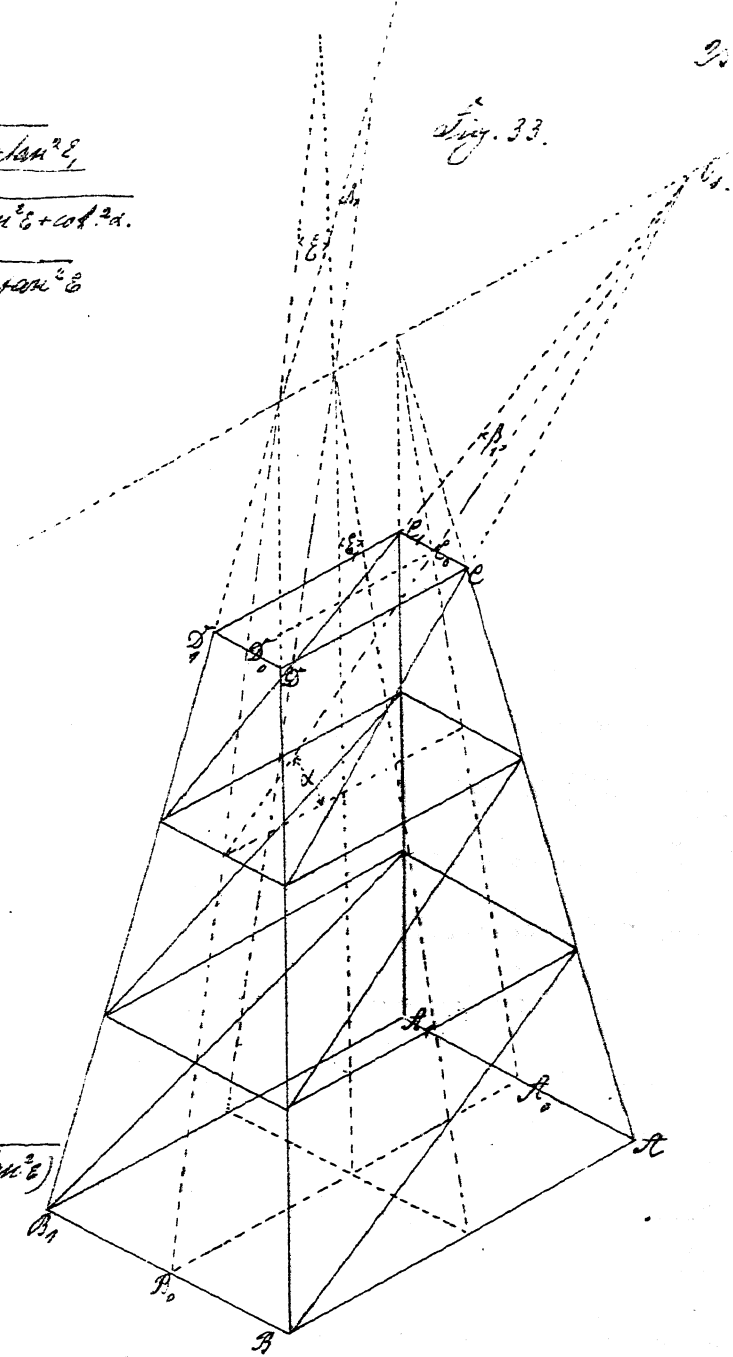
$$\frac{1}{2} \sqrt{1 + \tan^2 \epsilon + \tan^2 \epsilon},$$

gestattet werden, abwärts nämlich  
 in dem Aufwärtigen für  $P$  der  
 Seile  $\sec \alpha$ , um die Stelle  
 der Seile  $\sec \alpha$  müßte der  
 Seile

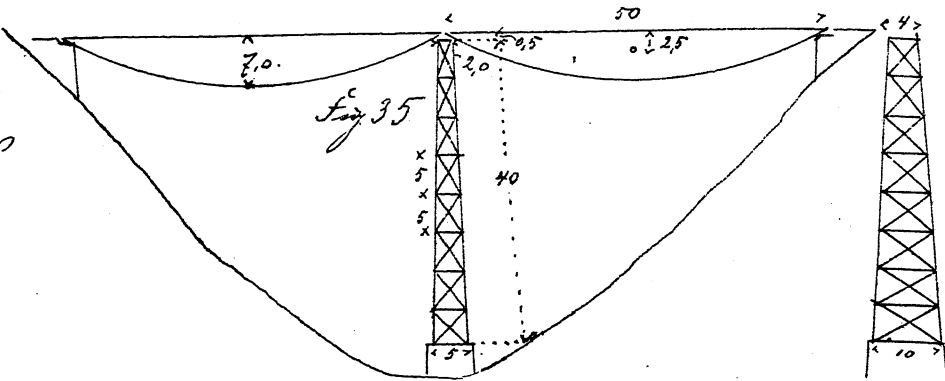
$$\frac{1}{2} \tan \alpha \sqrt{1 + \tan^2 \epsilon + \cot^2 \alpha} = \frac{1}{2} \sqrt{1 + \tan^2 \alpha (1 + \tan^2 \epsilon)}$$

gestattet werden.

Zur dem Projektionspunkt  
 der Konstruktion zu Fig. 34, müßten  $a$   
 und  $b$  die beiden Haupten der Seile  
 sein. Für die Projektion  $a$  geben  
 die Spannungen auf den Seilen  
 der abwärts stehenden Seile  
 hin. Man nehme  $AC$  und  $CF$   
 senkrecht zu  $AC$  und  $AC = A_1 A_0$   
 $CF = C_0 C_1$ , so ist die Spannung in



in der Größe  $AC$  der abstrakten Pfeiler im Querschnitt nach  $AC$  zu  $\frac{1}{2} AC$  zu vergrößern.  
 Hauptmann von  $F$  Kägel, Punkt.  
 nach zu  $F$  und  $FR = FF_0, GL = GG_0$ ,  
 ist die Symmetrie der Pfeilerkappe  
 $FQ$  der abstrakten Pfeiler im Querschnitt  
 nach zu  $FQ$  zu  $\frac{1}{2} AC$  zu  
 vergrößern.



§ 12. Beispiel. Ein Gitterpfeiler für eine ungleiche Spannfabrik mit zwei Langträger über beiden Öffnungen von 50<sup>m</sup> Spannweite. Die in Fig 35 angegebenen Dimensionen. Die Last ist horizontal und alle vier Lager auf dem Mittelpfeiler. Die Halbkreisbogen der Pfeiler sind aus Stahlgusswerk mit starken Horizontalkanten und geflochtenen Stützen. Es sind keine Dimensionen zu entnehmen.

- I. Besondere Kräfte.
1. Der Winddruck in der Höhe der Pfeiler gemittelt der Oberwind wird zu  $V_0 = 2,3 \cdot 50 = 115$  Ton angenommen.
  2. Der Winddruck durch die zu fülligen Luft wird bei totaler Belüftung zu  $V_1 = 5,0 \cdot 50 = 250$  Ton, bei unvollständiger Belüftung zu  $V_1 = \frac{1}{2} \cdot 250 = 125$  Ton, und bei totaler leichter Belüftung (Lauer für Spannumagen) zu  $0,8 \cdot 50 = 40$  Ton angenommen. Der Luftdruck wird im Abstand von 0,4 von der Spitze.
  3. Der Winddruck wird der Pfeiler wird zu  $q = 2,5$  Ton pro 1 Quadratfuß, oder pro 4 Quadratfuß zu  $5 \cdot 2,5 = 12,5$  Ton angenommen.
  4. Der Luftdruck in der Höhe wird bei totaler Belüftung zu  $F = \frac{1}{4} \cdot 0,015 (2,3 + 2,50) 50 = 2,3$  Ton, bei unvollständiger Belüftung zu  $F' = \frac{1}{4} \cdot 0,015 \cdot 2,3 = 0,4$  Ton angenommen.
  5. Der Winddruck auf die Längs der Pfeiler bei belüfteter Pfeiler wird zu

$H_0 = 0,5 \cdot 50 = 25 \text{ Ton.}$ , bei unbelasteter Brücke zu  $\frac{2}{3} \cdot 25 = 16,7 \text{ Ton.}$  angenommen, daselbe, nicht  $2,5^m$  unter dem Hauptträger des Trügers, oder  $2,0^m$  unter dem Pfeilerknoten. 6. Das Winddruck auf den Güter mit der üblichen Belastung zu  $H_1 = 0,42 \cdot 50 = 21 \text{ Ton.}$  angenommen, bei unbelasteter Belastung zu  $11,5 \text{ Ton.}$  für beide Brückenarme, derjenige zu  $H_2 = 11,5 \cdot \frac{10+0,4}{2} = 7,35$  auf der Pfeilerseite derjenigen Brückenarme. Daselbe, nicht  $1,9^m$  über dem Lufte, oder  $2,4^m$  über dem Knoten. 7. Das Winddruck auf die Pfeiler in Richtung des Lufte bei unbelasteter Brücke mit  $w = 0,58 \text{ Ton.}$  für 1 Meter Höhe, bei belasteter Brücke zu  $0,35$ , also bezuglich zu  $5 \cdot 0,58 = 2,9$  und  $5 \cdot 0,35 = 1,75 \text{ Ton.}$  pro 4 Rüstungsmetern angenommen. 8. Quärlast mit der Winddruck auf dem Pfeiler funktioniert zu dem Lufte bei belasteter Brücke zu  $w = 0,4 \text{ Ton.}$  pro 1 Meter Höhe, oder zu  $5 \cdot 0,40 = 2,0 \text{ Ton.}$  pro 4 Metern Länge der Pfeiler.

II. Querschnittsberechnung. Der volle Querschnitt  $f$  der gedruckten

Häute soll nach dem Formel

$$f = \frac{P_{max}}{0,72} - \frac{P_{min}}{1,8}$$

bestimmt werden. Der nutzbare Querschnitt  $f'$ , der gezogenen Häute soll  $\frac{2}{3}$  so groß, also nach dem Regel

$$f' = \frac{P_{max}}{0,77} - \frac{P_{min}}{1,7}$$

bestimmt werden. Für die ist der Zusammenhang der Querschnitt und Pfeiler, wie es nicht klar ist, anzunehmen. Die gefüllten Lufte ist der Höhe folgend mit  $1,3$  zu multiplizieren. Das Winddruck in der Höhe soll, wie für manigfaltigen Kuppelbau zu berücksichtigen nur mit  $\frac{3}{4}$  seiner oben angenommenen Größe anzunehmen werden.

III. Säulen. Zugpunkt  $M$  der Moment der äußeren Kräfte

in Zugführung auf dem, in einem Punkte der zu beaufschlagten Pfortenstütze, bei der fängertalen Seite der Pfeilnach von Kräftepunkte, in der Kraftebene, ist die Beanspruchung  $S$  einer Pfortenstütze

Stig 36.

$$S = \frac{1}{2} \frac{M_0}{l_0} \sqrt{1 + \tan^2 \epsilon + \tan^2 \epsilon_1}$$

Wann aber ist  $\tan \epsilon = \frac{1,5}{40} = 0,0375$ ,  $\tan \epsilon_1 = \frac{3}{40} = 0,075$ ,

also  $\sqrt{1 + \tan^2 \epsilon + \tan^2 \epsilon_1} = \sqrt{1 + 0,0375^2 + 0,075^2} = 1,004$ ,

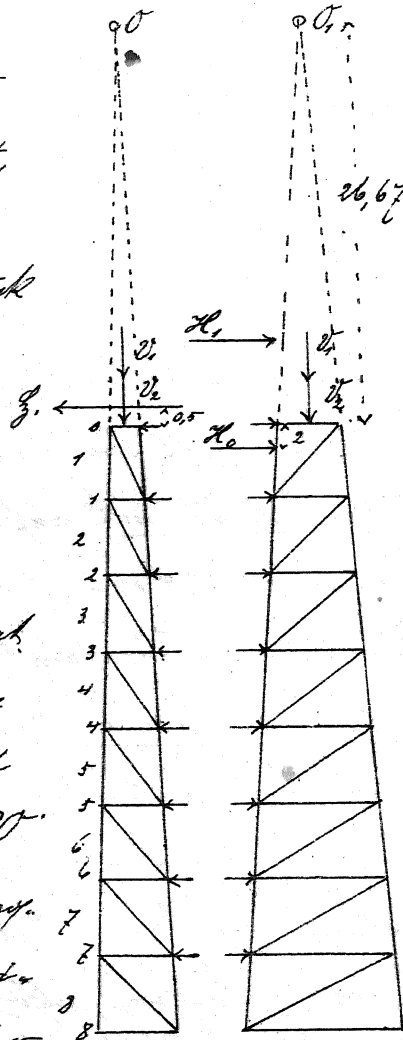
also  $S = 0,502 \frac{M_0}{l_0}$ .

Ein wenig, in der Höhe nichtkürzender Querschnittsdruck

$\sigma$  mind  $\frac{M_0}{l_0} = \frac{\sigma \cdot b}{l_0} = \frac{1}{2} \sigma$ , also

$$S = 0,251 \sigma$$

Zusammenfassung der folgenden Kapellkate:  
(Tabelle Seite 29.)



II. Gitterwerk der Störflächen. Zugigkeit.

Als der Moment der einflussenden Kräfte für den fängertalen Pfeil in Zugführung auf dem Punkte  $O_1$ ,  $x$  und  $x_1$ , der Querschnittsdruck des Punktes  $O$  von dem in der Höhe liegenden Punkte der fängertalen Diagonale sind von der fängertalen Zugszugkate, so ist die Beanspruchung  $P_1$  und  $P_2$  der Diagonalen und der Zugszugkaten

Diagonale:  $P_1 = + \frac{1}{2} \frac{M_0}{x} \sqrt{1 + \tan^2 \alpha (1 + \tan^2 \epsilon)}$

Zugszugkate:  $P_2 = - \frac{1}{2} \frac{M_0}{x_1}$

Zusatz mind  $\frac{1}{2} \sqrt{1 + \tan^2 \alpha (1 + \tan^2 \epsilon)} = \frac{1}{2} \sqrt{1 + 1,0056 \tan^2 \alpha}$ . Für die Diagonale in der  $H = \frac{5}{6}$  Höhe mind  $z \cdot \tan \alpha = \frac{5}{1,5625 + 1,75} = 1,510$ , mithin  $\frac{1}{2} \sqrt{1 + \tan^2 \alpha (1 + \tan^2 \epsilon)}$

$= 0,908$ . Bei der Beanspruchung der Querschnitt ist für  $P_{min} = 0$  zuzusetzen, mithin ist für die Diagonale  $f = \frac{P_{max}}{0,77}$ , für die Zugszugkate  $f_1 = \frac{P_{max}}{0,72}$ . Zusammenfassung

	Nimmo sar dagan	Pannung nitar fii. fii. fii. man							Pannung sar Pannung		Pann. fii. fii. fii. f.
		%	P. n. P. 1'	g	g	H <sub>0</sub>	H <sub>1</sub> m. t. 1'	w.	Mia.	Mia.	
Wahk lin. balafak	4.	-38,87	0	-12,55	± 1,15	± 40,35	0	± 7,22	-100,14	+ 2,70	-
Kukul hainh balafak	4	-38,87	-11,45	-12,55	± 2,02	± 40,35	± 25,87	± 4,33	-135,44	+ 21,25	-
Kukul fijman balafak	4.	-38,87	-7,58	-12,55	± 1,15	± 24,21	± 25,87	± 4,33	-178,56	+ 4,14	259,8
fii. fii. fii. fijman balafak	4.	-38,87	-50,11	-12,55	± 6,60	± 24,21	± 18,10	± 4,33	-157,77	+ 1,82	-
Toman									Toman		□ Cat.

II

Balab.	Nimmo sar dagan	Siagonulan					Gorizontalan					Pann. fii. fii. fii. f.
		Pannung nitar fii. fii. fii. man			Nimmo	Pann. fii. fii. fii. f.	Pannung nitar fii. fii. fii. man			Toman	Pann. fii. fii. fii. f.	
hainh manja	Gorizon. balan	%	P. n. P. 1'	no.			g	P. n. P. 1'	g			no.
Wahk balafak	3	+	+	+	+	0,12	0	0,13	2,68	2,93	-	
	4.	0	0,21	6,64	6,85	6,2	0,12	0	0,12	3,42	3,66	5,1.
Kukul balafak	3	.	.	.	.	0,12	0	0,13	1,61	1,86	-	
	4.	0	0,21	3,98	4,19	-	0,12	0	0,12	2,05	2,29	-
Kupung balafak	3	.	.	.	.	0,12	0,60	0,73	1,61	3,06	4,3	
	4.	1,04	1,27	3,98	6,29	-	0,12	0,53	0,66	2,05	3,36	-
Toman					□ Cat.	Toman					□ Cat.	

V. Gitterwerk der Seitenflächen. Die obere Begrenzung bei befallener, ist frei

Diagonale:  $P_1 = +\frac{1}{2} \frac{M_0}{x} \sqrt{1+\tan^2 \alpha (1+\tan^2 \epsilon)}$

Zwischenlinie:  $P_2 = -\frac{1}{2} \frac{M_0}{x}$

Zunächst wird  $\frac{1}{2} \sqrt{1+\tan^2 \alpha (1+\tan^2 \epsilon)} = \frac{1}{2} \sqrt{1+1,0014 \tan^2 \alpha}$ . Für die Diagonale in den 4<sup>ten</sup> Stagen wird  $g$  &  $\tan \alpha = \frac{5}{3,125+3,5} = 0,755$ ,

$\frac{1}{2} \sqrt{1+\tan^2 \alpha (1+\tan^2 \epsilon)} = 0,627$ , die Berechnung der Querschnittswerte erfolgt wie unter IV. Zunächst ergeben sich die folgenden Kapillaren:

Lagerung	Kammern	Diagonalen					Zwischenlinien					Querschnittsfläche
		Einläufe von			Kammern	Querschnittsfläche	Einläufe von			Kammern		
minip. Zwischl.		H <sub>1</sub>	H <sub>2</sub> & H <sub>1'</sub>	w				H <sub>1</sub>	H <sub>2</sub> & H <sub>1'</sub>		w	g
Hauptkapillaren	3	.	.	.	.	.	6,45	.	4,38	0,47	11,30	—
	4	7,67	0	5,23	12,90	—	5,76	0	3,93	0,47	10,16	—
Zentralkapillaren	3	.	.	.	.	.	6,45	4,49	2,63	0,47	14,04	19,5
	4	7,67	5,34	3,14	16,15	26,0	5,76	4,01	2,36	0,47	12,60	17,5
Hinterwandkapillaren	3	.	.	.	.	.	6,45	3,14	2,63	0,47	12,69	—
	4	7,67	3,74	3,14	14,55	—	5,76	2,81	2,36	0,47	11,40	—
		Zusammen				□ Cent.	Zusammen				□ Cent.	

VI Spannung der Ankerbolzen. Die Maximalspannung in einem Ankerbolzen wird bei totaler Luftdruckbelastung:

$$S = \frac{25 \cdot 38 + 21 \cdot 42,4 + 0,35 \cdot 40 \cdot 20}{10} - (115 + 40 + 2,5 \cdot 40)5 = 84,5 \text{ Tonne.}$$

und bei unbelasteter Brücke

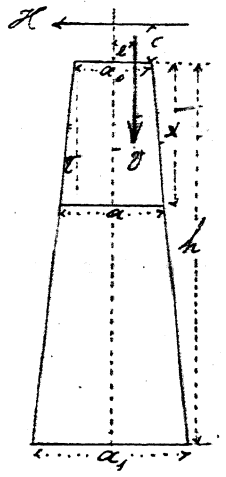
$$S = \frac{41,7 \cdot 38 + 0,58 \cdot 40 \cdot 20}{10} - (115 + 2,5 \cdot 40)5 = 97,4 \text{ Tonne.}$$

## 2) Volumen und Gewicht.

§ 13. Säulen ebener Gitterpfeiler. Ein Pfeiler habe die Höhe  $h$ , oben und unten die Breite  $a_0, a_1$ , an einer beliebigen Stelle im Abstand  $x$  von der Krone die Breite  $a$ , ab. kann ist

$$a = a_0 + \frac{a_1 - a_0}{h} x.$$

Die zylindrische Querschnittsfläche (gemittelt nach der gemittelten Nutfläche) sei  $K$ , die Flächenträgheitsmomente  $W$ .



1. Vertikalkraft in der Krone. Eine im Abstand  $\pm l$

von der Krone messbare Vertikalkraft erzeugt die Spannung

$$S = \frac{P(a \pm l)}{a} \sec \epsilon = \frac{1}{2} P \left(1 \pm \frac{2l}{a}\right) \sec \epsilon, \text{ also ist das Moment } M' \text{ einer$$

Stelle pro Längeneinheit

$$M' = \frac{P}{K} \left(1 \pm \frac{2l}{a}\right) \sec^2 \epsilon = \frac{P \sec^2 \epsilon}{K} \left[1 + \frac{2l}{a_0 + a_1 - a_0 x}\right]$$

Die Integration geht mit Rücksicht auf die Integrationskonstante

$$\int \frac{dx}{a+bx} = \frac{1}{b} \log nat(a+bx) + \text{const. als Integral Moment } M'$$

$$43. W' = \frac{Ph \sec^2 \epsilon}{K} \left[1 + \frac{2l}{a_1 - a_0} \log nat \frac{a_1}{a_0}\right]$$

Die der gemittelte Fläch in der Formel ist gemittelt mit Klein  $W$ , je geringere eine Krümmung. Annimmt wird immerhalb das für eine

konstanten Formgen  $\frac{a_0}{a_1 - a_0} \log nat \frac{a_1}{a_0} = 0,403 + 0,597 \frac{a_0}{a_1}$ . So z. B. mit für  $\frac{a_1}{a_0} = 1,4 \quad 1,8 \quad 2,0$  die gemittelten Werte  $1 \quad 0,844 \quad 0,735 \quad 0,693$ .

Der Krümmungsmass = 1 0,830 0,735 0,701. Berücksichtigt man mit  
folgende

$$44. \mathcal{D}' = \frac{Th \operatorname{sec}^2 \epsilon}{R} \left[ 1 + 0,806 \frac{c}{a_0} + 1,194 \frac{c}{a_1} \right]$$

2. Eigengewicht. Folgt man mit der Eigengewicht zur Höhenwirkung gleich  
 $g$ , so wird  $I = \frac{1}{2} g x \operatorname{sec} \epsilon$ , also das Volumen pro Längeneinheit =  $\frac{g x \operatorname{sec}^2 \epsilon}{R}$ .  
Die Integrations geht, als Stammfunktions

$$45. \mathcal{D}'' = \frac{g h^2 \operatorname{sec}^2 \epsilon}{2 R}$$

3. Horizontalkraft in der Krone. In im Abstand  $c$  von der Krone  
wirkende Horizontalkraft  $H$  erzeugt die Spannung  $\pm \frac{H(c+x)}{a} \operatorname{sec} \epsilon$ .

Also wird das Volumen pro Längeneinheit

$$\mathcal{D}''' = \frac{2H(c+x) \operatorname{sec}^2 \epsilon}{R a} = \frac{2H \operatorname{sec}^2 \epsilon}{R} \frac{c+x}{a_0 + \frac{a_1 - a_0}{h} x}$$

Die Integrations geht, als Stammfunktions, für  $\int \frac{dx}{a+bx} =$

$$\frac{1}{b} \operatorname{lognat}(a+bx) + \text{const.} - \int \frac{x \cdot dx}{a+bx} = \frac{x}{b} - \frac{a}{b^2} \operatorname{lognat}(a+bx) + \text{const.}$$

$$\mathcal{D}'''' = \frac{2H \operatorname{sec}^2 \epsilon}{R} \left[ \frac{ch \operatorname{lognat} \frac{a_1}{a_0}}{a_1 - a_0} + \frac{h^2}{a_1 - a_0} - \frac{a_0 h^2}{(a_1 - a_0)^2} \operatorname{lognat} \frac{a_1}{a_0} \right] \text{ oder}$$

$$46. \mathcal{D}'''' = \frac{2H h^2 \operatorname{sec}^2 \epsilon}{R(a_1 - a_0)} \left[ 1 + \left( \frac{c}{h} - \frac{a_0}{a_1 - a_0} \right) \operatorname{lognat} \frac{a_1}{a_0} \right]$$

Konstante liefert folgendes:

$$\frac{a_0}{a_1 - a_0} \left( 1 - \frac{a_0}{a_1 - a_0} \operatorname{lognat} \frac{a_1}{a_0} \right) = 0,121 + 0,379 \frac{a_0}{a_1}$$

für  $\frac{a_2}{a_0} = 1$  1,4 1,8 2 wird der Spannungsdurchfall = 1 0,841 0,735

0,693, der Krümmungsmass = 1 0,830 0,735 0,701. Berücksichtigt  
geht

$$47. \mathcal{D}'''' = \frac{H h^2 \operatorname{sec}^2 \epsilon}{R} \left[ \frac{0,242}{a_0} + \frac{0,758}{a_1} + \left( \frac{0,806}{a_0} + \frac{1,194}{a_1} \right) \frac{c}{h} \right]$$

4. Gleichmäßig verteilte Horizontalkraft. In der Krone wirkt  $w$  pro Längeneinheit  
auswärts erzeugt die Spannung  $\pm \frac{w x^2}{2a} \operatorname{sec} \epsilon$ , also wird das Volumen pro

Lösungsweg

$$D''' = \frac{\omega x^2 \text{er}^2 \epsilon}{R a} = \frac{\omega \text{er}^2 \epsilon}{R} \frac{x^2}{a_0 + \frac{a_1 - a_0}{h} x}$$

Es ist  $\int \frac{x^2 dx}{a + bx} = \frac{x^2}{2b} - \frac{ax}{b^2} + \frac{a^2}{b^3} \log nat. (a + bx) + \text{const.}$  Stefan wird das Gesamtergebnis:

$$D''' = \frac{\omega \text{er}^2 \epsilon}{R} \left[ \frac{h^3}{2(a_1 - a_0)} - \frac{a_0 h^3}{(a_1 - a_0)^2} + \frac{a_0^2 h^3}{(a_1 - a_0)^3} \log nat. \frac{a_1}{a_0} \right] \text{ oder}$$

$$48. D''' = \frac{\omega h^3 \text{er}^2 \epsilon}{2R(a_1 - a_0)} \left[ 1 - \frac{2a_0}{a_1 - a_0} + \frac{2a_0^2}{(a_1 - a_0)^2} \log nat. \frac{a_1}{a_0} \right]$$

Annahme wird  $\frac{a_0}{a_1 - a_0} \left[ 1 - \frac{2a_0}{a_1 - a_0} + \frac{2a_0^2}{(a_1 - a_0)^2} \log nat. \frac{a_1}{a_0} \right] = 0,120 + 0,547 \frac{a_0}{a_1}$ .

Für  $\frac{a_1}{a_0} = 1,4, 1,8, 2,0$  ist der symmetrische Wert  $= 0,667, 0,573, 0,429, 0,386,$

der Konformitätsmaß  $= 0,667, 0,511, 0,424, 0,393.$  Erweitert wird

$$49. D''' = \frac{\omega h^3 \text{er}^2 \epsilon}{R} \left( \frac{0,060}{a_0} + \frac{0,274}{a_1} \right)$$

Das gesammelte Ergebnis liefert sich so wie folgt:

$$50. D = \frac{h \text{er}^2 \epsilon}{R} \left[ V \left( 1 + 0,806 \frac{h}{a_0} + 1,194 \frac{h}{a_1} \right) + g \frac{h}{2} + H \left( 0,242 \frac{h}{a_0} + 0,758 \frac{h}{a_1} + 0,806 \frac{h}{a_0} + 1,194 \frac{h}{a_1} \right) + \omega h \left( 0,060 \frac{h}{a_0} + 0,274 \frac{h}{a_1} \right) \right]$$

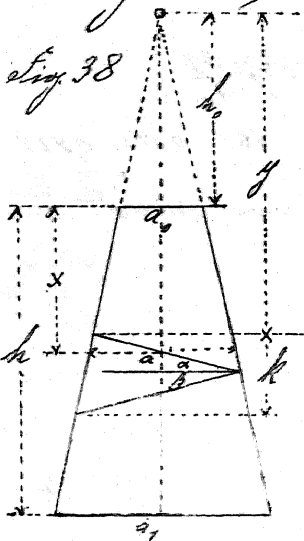
Dann man zur Bestimmung des Hauptwertes die Regel  $f = \frac{P_0}{R_0} + \frac{P_1}{R_1} + \frac{P_2}{R_2}$  anwendet, so ist die ganze Formel zusammengefasst und das zufällig an Luft freigebliebenen Teile  $V_0$  und  $V_1$  zu zerlegen. Als konstante Luft, wie auch davon  $V_0$  und  $g$ , als variable Luft  $V_1$   $H$  und  $\omega$ . Berücksichtigt man, noch, dass  $e$   $H$  so gegeben sind, ergibt sich für können, so erfüllt man

$$51. \rho = h \cdot \text{sec}^2 \epsilon \left[ \frac{1}{R_0} \left( v + \frac{1}{2} g h \right) + \frac{v_1^2}{R_1} + \left( \frac{1}{R_1} + \frac{1}{R_2} \right) \left[ \frac{1}{2} v_1^2 \left( 0,806 \frac{e}{a_0} + 1,194 \frac{e}{a_1} \right) + \right. \right. \\ \left. \left. + \mathcal{H} \left( 0,242 \frac{h}{a_0} + 0,758 \frac{h}{a_1} + 0,806 \frac{e}{a_0} + 1,194 \frac{e}{a_1} \right) + v h \left( 0,860 \frac{h}{a_0} + 0,277 \frac{h}{a_1} \right) \right] \right]$$

Es ist zu bemerken, dass man sich für die Berechnung der Spannung der Seile in einem beliebigen Punkte der Länge nach nicht auf die Spannung der Seile an den Enden verlassen kann, sondern die Spannung in jedem Punkte berechnen muss.

§ 14. Gitterwerk ebener Gitterseile. Die untere Seile sind

für Holzwerk und Stahlgitterwerk. Die Höhe der Seile ist  $h_0$ , die Seilspannung der Seile ist  $T$ , die Seilspannung der Seile ist  $T$ , die Seilspannung der Seile ist  $T$ .



a. Holzwerk. Die Seile sind in der Länge  $L$ ,  $\alpha$  und  $\beta$  die Neigungswinkel der Seile gegen die Horizontale,  $\epsilon$  der Winkel der Seile von  $L$ , so ist die Spannung der Seile  $T = \frac{M \cdot \text{sec}^2 \alpha + M \cdot \text{sec}^2 \beta}{R_4}$  und die Spannung der Seile  $T = \frac{M}{R_4} (\text{sec}^2 \alpha + \text{sec}^2 \beta)$  wenn die Seile gleichmäßig gespannt sind.

Seilspannung

$$T = \frac{M}{R_4} \frac{\text{sec}^2 \alpha + \text{sec}^2 \beta}{\tan \alpha + \tan \beta}$$

oder für  $\beta = \alpha$

$$52. T = \frac{2 M \text{ sec}^2 \alpha}{R_4 \sin 2\alpha} = \frac{M}{R_4} (\tan \alpha + \cot \alpha)$$

Da  $\tan \alpha = \frac{h}{a}$ ,  $\cot \alpha = \frac{a}{h}$  ist, so wird  $T = \frac{M}{R_4} \left( \frac{h}{a} + \frac{a}{h} \right)$

$$52 a. T = \frac{M}{R_4} \left( \frac{h}{a} + \frac{a}{h} \right)$$

Da  $a = 24 \text{ km}$  ist, so wird  $T = \frac{M}{R_4} \left( \frac{h}{24} + \frac{24}{h} \right)$

$$52 b. T = \frac{M}{R_4} \left( \frac{2 h \text{ km}}{24} + \frac{24}{h} \right)$$

Man muss in der ersten Formel die Seilspannung  $T$  einsetzen, dass  $T$  konstant ist.

1. Perikaldkruste in der Krone. Kruste nur ungleichmäßig verteilte Dichte, Kruste nicht notwendig eine Spannung. Für ist  $M_0 = \pm T_0 l$ , daher

$$w_0' = \frac{T_0 l}{R} \left( \frac{2k \tan \epsilon}{k} + \frac{k \cot \epsilon}{2y^2} \right)$$

Kruste aber ist  $\int \frac{dy}{y^2} = -\frac{1}{y} + \text{const.}$   $\int_{h_0}^{h_0+h} \frac{dy}{y^2} = \frac{h}{h_0(h+h_0)}$ , mithin

$$D_0' = \frac{T_0 l}{R} \left[ \frac{2k \tan \epsilon}{k} + \frac{k \cot \epsilon}{2h_0(h+h_0)} \right]$$

oder, weil  $\tan \epsilon = \frac{a_1 - a_0}{2h}$ ,  $h+h_0 = \frac{1}{2} a_1$ ,  $\cot \epsilon = \frac{2h}{a_1 - a_0}$  ist

$$53. D_0' = \frac{T_0 l (a_1 - a_0)}{R} \left( \frac{1}{k} + \frac{k}{a_0 a_1} \right)$$

2. Das Eigengewicht notwendig nur sehr kleine Spannungen für ein unauflösbaren Krone.

3. Horizontalkraft in der Krone. Für ist  $M_0 = \pm H(h_0 - c)$ . Ob die resultierende Kraft nachfolgende Polänum,  $D_0'''$ , wenn man in der vorigen Formel  $H(h_0 - c)$  für  $T_0 l$  setzt. Also ist

$$54. D_0''' = \frac{H(h_0 - c)(a_1 - a_0)}{R} \left( \frac{1}{k} + \frac{k}{a_0 a_1} \right) = \frac{H[a_0 h - c(a_1 - a_0)]}{R} \left( \frac{1}{k} + \frac{k}{a_0 a_1} \right)$$

4. Gleichmäßig verteilte Horizontalkraft. Für ist  $M_0 = \pm w x (h_0 + \frac{1}{2} x)$   
 $= \pm w (y - h_0) \left( \frac{y}{2} - \frac{h_0}{2} \right) = \pm \frac{1}{2} w (y^2 - h_0^2)$  also

$$w_0''' = \frac{w (y^2 - h_0^2)}{R} \left( \frac{2k \tan \epsilon}{k} + \frac{k \cot \epsilon}{2y^2} \right)$$

Die Integration ergibt

$$D_0''' = \frac{w}{R} \left[ \frac{(a_1^3 - a_0^3) h^2}{3k(a_1 - a_0)^2} - \frac{h^2}{a_1 - a_0} \left( \frac{a_0^2}{k} - k \right) - \frac{k a_0 h^2}{a_1(a_1 - a_0)} \right]$$

oder nachfolgenden Produkten:

$$55. D_0''' = \frac{w h^2}{R} \left( \frac{2a_0 + a_1}{3k} + \frac{k}{a_1} \right)$$

36.

$Q'$  und  $Q''$  wird zum Minimum für  $k =$   $Q'''$  wird zum  
 Minimum für  $k = \sqrt{\frac{1}{3}(2a_0 + a_1)} a_1$ . Für  $\frac{a_1}{a_0} = 1$  1,4 1,8 2 wird  
 sowohl  $Q'$  und  $Q''$  zum Minimum für  $k = 1$  1,183 1,342 1,414  $a_0$ .  
 $Q'''$  zum Minimum für  $k = 1$  1,063 1,127 1,153  $a_0$ .  
 Das Gesamtergebnis wird nun

$$56. Q = \frac{1}{R} \left[ \left[ \frac{1}{2} (a_1 - a_0) + H(a_0 h - ca_1 - ca_0) \right] \left( \frac{1}{k} + \frac{k}{a_0 a_1} \right) + a_1 k^2 \left( \frac{2a_0 + a_1}{3k} + \frac{k}{a_1} \right) \right]$$

Bei Bestimmung des Formel  $f = \frac{P_0}{R_0} + \frac{P_1}{R_1} + \frac{P_2}{R_2}$  ist für einfach  
 $\frac{1}{R_1} + \frac{1}{R_2}$  für  $\frac{1}{R_0}$  zu setzen, weil für alle Widerstände positiv und  
 negativ sein können.

b. Faktoren mit offener, rechtwinkligen. In obigen La.  
 zueinander beziehung ist das Verhältnis der beiden Dreiecke zur  
 Gesamtheit

$$\frac{2 \cdot \sin^2 \alpha}{R_y a \tan \alpha}$$

und das Verhältnis der Kräfte zur Gesamtheit =  $\frac{Ma}{R_y a \tan \alpha}$   
 also das ganze Verhältnis zur Gesamtheit

$$57a. \quad \rho = \frac{M}{R_y} \cdot \frac{2 \sin^2 \alpha + 1}{\tan \alpha} = \frac{M}{R_y} (2 \tan \alpha + 3 \cot \alpha)$$

oder, da  $\tan \alpha = \frac{h}{a}$ ,  $\cot \alpha = \frac{a}{h}$  ist

$$57b. \quad \rho = \frac{M}{R_y} \left( 2 \frac{h}{a} + 3 \frac{a}{h} \right) = \frac{M}{R} \left( \frac{6 \tan^2 \epsilon}{k} + \frac{R \cot \epsilon}{y^2} \right)$$

Erinnert ist das erste Glied 3 mal, das zweite 2 mal so groß, als beim  
 Halbmast. Bei verhalten dieser für auf der Formel 56, wenn wir  
 $\frac{3}{k}$  statt  $\frac{1}{k}$  und  $2k$  statt  $k$  setzen,

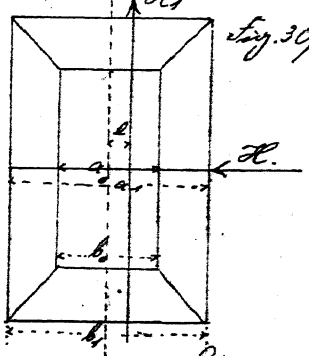
$$58. Q = \frac{1}{R} \left[ \left[ \frac{1}{2} (a_1 - a_0) + H(a_0 h - ca_1 - ca_0) \right] \left( \frac{3}{k} + \frac{2k}{a_0 a_1} \right) + a_1 k^2 \left( \frac{2a_0 + a_1}{k} + 2 \frac{k}{a_1} \right) \right]$$

Zum Minimum macht man die Ableitung nach  $\sigma$  und  $H$ , für  $k = \sqrt{\frac{3}{2}} a_0 a_1$ ,  
 das Glied mit  $\omega$  für  $k = \sqrt{\frac{3}{2}(2a_0 + a_1)} a_1$ , d. i. für  $\sin \alpha = 1,5 = 1,22$  mal so  
 groß als  $k$ , als beim Holzmarkt.

Bei Annäherung der allgemeinen Formel  $f = \frac{P_0}{R_0} + \frac{P_1}{R_1} + \frac{P_2}{R_2}$   
 macht man  $\frac{1}{R_1}$  für  $\frac{1}{R_2}$  setzen, weil die mittlere Länge der Verbindung  
 sowohl der Stangen als der Normale Null ist.

S 15. Säulen obeliskartiger Gitterpfeiler. Die Bezeichnungen der

Vertikaldruck in Folge der Eigengewicht mit  $\sigma$ ,  
 des Eigengewicht des Pfeilers pro Höhenmaß mit  $g$ ,  
 des Vertikaldruck in Folge der zufälligen  
 Last mit  $\sigma_1$ , des Horizontalsfuß in Richtung der  
 Längsachse mit  $H$ , senkrecht hierzu mit  $H_1$ , des  
 Winddruck auf den Pfeiler in Richtung der Längsachse pro Höhen-  
 maß mit  $w$ , senkrecht zur Längsachse mit  $w_1$ .  
 Alle kann ersetzt sein durch Annäherung der naturwahren Formeln mit Rücksicht auf S 11  
 für Holzmarkt



$$\begin{aligned}
 59) \quad 2D = & k(1 + \sin^2 \alpha + \tan^2 \alpha) \left[ \frac{1}{R_0} (\sigma + \frac{1}{2} gh) + \frac{\sigma_1}{R_1} + \left( \frac{1}{R_1} + \frac{1}{R_2} \right) \left\{ \sigma_1 e \left( 0,806 \frac{e}{b_0} + 1,194 \frac{e}{b_1} \right) \right. \right. \\
 & + H \left( 0,242 \frac{h}{b_0} + 0,758 \frac{h}{b_1} \right) + H_1 \left( 1 + \frac{2e}{b_0} \right) \left( 0,242 \frac{h}{a_0} + 0,758 \frac{h}{a_1} + 0,806 \frac{e}{a_0} + 1,194 \frac{e}{a_1} \right) \\
 & \left. \left. + w_1 h \left( 0,060 \frac{h}{a_0} + 0,940 \frac{h}{a_1} \right) \right\} \right] + (1 + \sin^2 \alpha \tan^2 \alpha) \left( \frac{1}{R_1} + \frac{1}{R_2} \right) \left[ \sigma_1 e (b_1 - b_0) \right. \\
 & \left. + H (b_0 h - c b_1 - c b_0) \left( \frac{1}{R_1} + \frac{1}{b_0 b_1} \right) + \omega h^2 \left( \frac{3b_0 + b_1}{3R} + \frac{1}{b_1} \right) \right] + (1 + \sin^2 \alpha \tan^2 \alpha) \\
 & \left( \frac{1}{2R_1} + \frac{1}{R_2} \right) \left[ H_1 (a_0 h - c a_1 - c a_0) \left( \frac{1}{R} + \frac{1}{a_0 a_1} \right) + \omega_1 h^2 \left( \frac{3a_0 + a_1}{3R} + \frac{1}{a_1} \right) \right]
 \end{aligned}$$

Kann man für  $\sin \alpha$  und  $\tan \alpha$  Mittelwerte, einfügen, so die

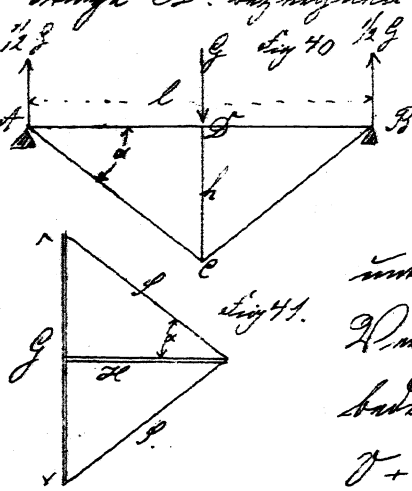
Gleiches sein  $\alpha$  bzw  $\alpha'$  mit  $\sin^2 \alpha$ , bzw  $\alpha'$ , muss sehr klein sein.

Das Laufwerk mit fliegenden Ringen ist  $\frac{3}{R} + \frac{2k}{b_0 b_1}$ ,  $\frac{3}{R} + \frac{2k}{a_0 a_1}$  für  $\frac{1}{k} + \frac{k}{b_0 b_1}$ ,  $\frac{1}{k} + \frac{k}{a_0 a_1}$  und  $\frac{2b_0 + b_1}{k} + \frac{2}{b_1}$ ,  $\frac{2a_0 + a_1}{k} + \frac{2}{a_1}$  für  $\frac{3b_0 + b_1}{3R} + \frac{k}{b_1}$ ,  $\frac{3a_0 + a_1}{3R} + \frac{k}{a_1}$  für  $\frac{3b_0 + b_1}{3R} + \frac{k}{b_1}$ .

### VIII. Kapitel.

### Hänge- und Försenwerke.

S. 16. Das Dreiecks-Hängewerk. Vor allem befasst sich mit zwei Försenbindern AC und BC (Fig. 40), dem Druckträger AB und der Försenpörmle oder Stütze CD. Zugstützen sind in D mit Kanutenstrich mit G, die



Rammung der Försenbinder mit I, die auf Druck hingewirkt mit H, die der Försenpörmle mit V, der Neigungswinkel der Försenbinder mit  $\alpha$ , so ist unter der Annahme, dass in ABC und D gleiche Kräftekombinationen vorhanden sind, die Gleichgewichtsbedingung für die Punkte D, C und A bezüglich  $V + G = 0$ ,  $V + 2I \sin \alpha = 0$ ,  $H + 2G \cos \alpha = 0$ .

Zinnwert ergibt sich sofort

$$\text{bzw. } V = -G, I = + \frac{1}{2} G \csc \alpha, H = - \frac{1}{2} G \cot \alpha.$$

Der Zinnwert entspricht natürlich größter Optimierung des Zinnwertes, welche in Fig. 41 angedeutet ist, bedarf keiner weiteren Erläuterung.

Bei der Ausführung der Konstruktion wird man sich einfachsten Fall der Försenpörmle bedienen, dass man die Försenpörmle der Försenpörmle zu Försenpörmle. Bedingung genommen ist in D die Försenpörmle der Försenpörmle der

Veränderung, das Luft ist... und das Zingamantel für die, in C die Größe der  
Zunahme der Zingamantel und das Zingamantel für die, ungenutzten.

Ist die zufällige Luft ungenutzt, im Gegensatz, also bei Annahme  
als Luftabzug, so ist für alle Fälle diejenige Belastung der ungenutzten  
für welche zum Maximum wird. Bei gleichmäßiger Belastung ist das die  
lokale Belastung. Für ein System, von irgendwelcher ist eine besondere Natur.  
für die notwendig. Zugrunde, wie die Kapazität der im dem beiden Enden  
meistens irgendwelcher mit  $G_1$  und  $G_2$ , oder Abstände von  $D$  mit  $\xi_1, \xi_2$ .  
oder Abstand von einander mit  $a$ , so ist bei der Gesamtheit  $L$

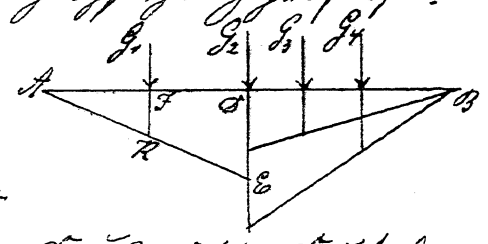
$$G = G_1 (1 - 2 \frac{\xi_1}{L}) + G_2 (1 - 2 \frac{\xi_2}{L})$$

oder, da  $\xi_2 = a - \xi_1$  ist,

$$G = G_1 + G_2 (1 - 2 \frac{a}{L}) - 2 (G_1 - G_2) \frac{\xi_1}{L}$$

Bei einer Verteilung der Luftaufnahmen wird  $G$  entweder fortwährend  
zu oder abnehmen, je nachdem  $G_1 - G_2$  positiv oder negativ ist. Damit  
 $G$  wächst, muß das System nach rechts oder links verschoben werden, je  
nachdem  $G_1 \leq G_2$  ist, es muß also immer verschoben werden. Dabei für die  
verschoben werden, muß man sich die klarste Luft liegt. Dabei aber eine  
Zugluft den Punkt überfordert, ändert sich das Gesetz, es darf also  
genügend nie formale verschoben werden, bis eine Luft, wo das Blut  
liegt. Wir können dies zusammenfassen in dem Punkte: Das Punkt  
in  $D$  wird zum Maximum, wenn eine Luft in  $D$  selbst liegt und  
wenn die Gesamtluft in beiden Enden möglichst gleich groß ist.

Wenn das Punkt, welches eine in Funktion  
Zugluft  $G_1$  enthält, zu bestimmen, muß man  
 $D'E = G_1$ , zieht  $A'E$  und zeichnet  $AD$  und  $AE$  die Dr.  
Struktur  $FK$ ,  $FK$  stellt die Form der von  $G_1$  in  $D$  abgenommene Punkt dar.



Volumen des Hängewerkes. Zugniefen, mit den zulässigen Zugs-  
 spannungen für gezogenen und gedrückten Stäben mit  $R$  und  $R_1$ , je  
 ist der Querschnitt des Zugbäumens, ist Druckbäumens und Stütze  
 $= \frac{G \cos \alpha}{2R}$ ,  $\frac{G \cot \alpha}{2R_1}$ ,  $\frac{G}{R_1}$ , also das Volumen dieses 3 Stübe  
 $2 \cdot \frac{G \cos \alpha}{2R} \cdot h \cos \alpha = \frac{G \cdot h \cos^2 \alpha}{R}$ ,  $2 \cdot \frac{G \cot \alpha}{2R_1} \cdot h \cot \alpha = \frac{G h \cot^2 \alpha}{R_1}$  und  $\frac{G}{R_1} \cdot h$ , also das  
 Gesamtvolumen

$$V = G h \left( \frac{\cos^2 \alpha}{R} + \frac{\cot^2 \alpha}{R_1} + \frac{1}{R_1} \right)$$

oder, da  $\cot \alpha = \frac{l}{h}$ ,  $\cos^2 \alpha = 1 + \cot^2 \alpha = 1 + \frac{l^2}{h^2}$  ist

$$62. V = G \frac{(l^2 + h^2)}{4h} \left( \frac{1}{R} + \frac{1}{R_1} \right) = \frac{1}{4} G l \left( \frac{l}{h} + \frac{h}{l} \right) \left( \frac{1}{R} + \frac{1}{R_1} \right)$$

Setzen wir  $\frac{l}{h} = x$ , so wird  $V$  zu einem Minimum, wenn  $\frac{d}{dx} \left( \frac{1}{x} + 4x \right) = 0$   
 ist, d. i. für  $-x^{-2} + 4 = 0$  oder  $\frac{1}{x^2} = 4$ , oder  $x = \frac{1}{2}$ , also für

$$63. h = \frac{1}{2} l.$$

Ein tiefes Gefälle wird  $\alpha = 45^\circ$  und das Volumen  $V = G l \left( \frac{1}{R_1} + \frac{1}{R_2} \right)$ .  
 Die Rücksicht auf die Brückfestigkeit und Rücksichten auf die Bau-  
 praktiken können allerdings eine Abweichung bedingen, man  
 wird sich nicht rasch niedersetzen wollen.

S. 17. Das Dreiecksporenwerk. Das selbe besteht aus 2 Stäben,

dem Druckbäumens mit einem Zugsbaum. Es ist als eine ungeschnittene

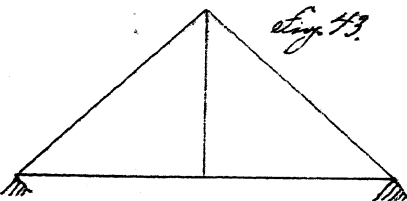


Fig. 43.

bei Dreiecksporenwerk zu betrachten; die  
 oben aufgestellten Formeln sind daher ohne  
 Abänderung anwendbar; nur ändert sich der

Von der Hauptstützung. Die Stäbe können für unter dem Druck-

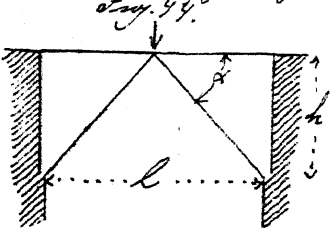


Fig. 44.

knüpfen liegen (Fig. 44), so stößt ein Zugsbaum  
 in der Fall kommt, und die Bestimmung des  
 Druckbäumens Teil wird. Das Volumen des

beiden Platten ist allgemein

$$64. \quad V = \frac{g h \cos^2 \alpha}{R_1} = \frac{g h (1 + \cot^2 \alpha)}{R_1} = \frac{g h}{54 R_1} \left( \frac{l}{h} + 4 \frac{h}{l} \right)$$

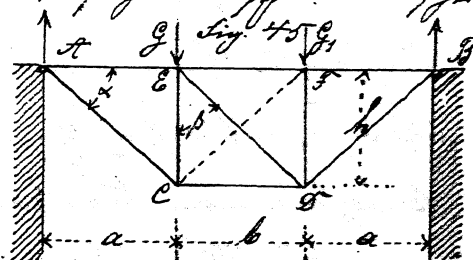
Das für ein wird  $V$  zum Minimum für

$$65. \quad h = \frac{1}{2} l$$

Auf der Befestigung mit kontinuierlichen Plankträgern können wir nicht ohne Befestigung der kontinuierlichen Träger hingehen.

§ 18. Das Trapezhängewerk. Das Falte besteht bei symmetrischer

Anordnung von einem horizontalen und zwei geneigten Zugbändern, dem Plankträger  $A B$  sind zwei Güngemeckelpunkte oder Ritzgen. In diesem symmetrischen Falle



kommt über unter der Voraussetzung gleichzeitiger Lastenpunkte der Güngemeckelpunkte nur im Gleichgewicht zu stehen, wenn die in  $E$  und  $F$  wirkenden Lasten gleich sind. Bei beliebiger Belastung kann man eine Anstreifung durch einen kontinuierlichen Plankträger oder durch zwei diagonale im mittleren Falte erzielen. Die obere Anordnung befördert wie folgt. Es sei wollen wir zwei mittlere schräge Träger, wobei vorübergehend in diesem Anordnung laßt sich der Güngemeckelpunkt auf der Mittellinie aufbauen.

Wir bezeichnen die Spannweite mit  $l$ , die Längen der 3 Pfeile mit  $a, b, a$ , die in  $E$  und  $F$  wirkenden Lasten mit  $G$  und  $G_1$ , den Ritzgenpunkt in  $A$  und  $B$  mit  $T$  und  $T_1$ , die Verschiebung des Plankträgers in  $A E$  und  $E F$  mit  $H$  und  $H_1$ , die Zugkräfte in  $A C$  und  $C D$  mit  $L$  und  $L_1$ , die Horizontale  $E C$  mit  $V$  und die Diagonale  $C F$  und  $E D$  mit  $P$  und  $P_1$ , die Winkel  $C A G$  und  $C E D$  mit  $\alpha$  und  $\beta$ . Von den beiden Diagonalen

ist mit der gegebenen hinzubefolgt.

Zunächst ist  $D = G \frac{a+b}{L} + G_1 \frac{a}{L}$ , und Gleichgewichts des Knotenpunktes  
 ergibt  $H = D \cos \alpha$ ,  $S = D \sin \alpha$ , also, da  $\cos \alpha = \frac{a}{h}$  ist

$$66. H = [G(a+b) + G_1 a] \frac{a}{Lh}, \quad S = [G(a+b) + G_1 a] \frac{\sin \alpha}{L}$$

Die Trambansfalkraft für einen Stütz E und C gelegten Pfeil ist  
 $Q = D - G = G \frac{a+b}{L} + G_1 \frac{a}{L} - G = + (G_1 - G) \frac{a}{L}$ ; ist  $G_1 > G$ , so ist Q positiv und  
 in diesem Falle kann mit der Diagonale DE gegeben sein. Die  
 Momente  $M_1$  und  $M_2$  für die Stütz D und C gelegten Pfeile, in Bezug auf die  
 die Punkte D und C, sind  $M_1 = D(a+b) - Gb = [Ga + G_1(a+b)] \frac{a}{L}$  und  
 $M_2 = [G(a+b) + G_1 a] \frac{a}{L}$ . Durch Division dieser Momente durch die Höhe  
 h erhält man die Beanspruchungen  $H_1$  und  $S_1$ , also ist

$$67. H_1 = [Ga + G_1(a+b)] \frac{a}{Lh}, \quad S_1 = [G(a+b) + G_1 a] \frac{a}{Lh}$$

Daß ist  $S_1 = H_1$ , was auf dem Meridian durch den Gleichgewicht für  
 einen Stütz H und C gelegten Pfeil folgt. Die Beanspruchung P der Dia-  
 gonale DE ist = Q  $\sec \beta$ , d. i.

$$68. P = (G_1 - G) \frac{a}{L} \sec \beta$$

Endlich ist die Beanspruchung T der Stütze CE gleich der negativen Trambans-  
 falkraft für einen Stütz H und C gelegten Pfeil, d. i. = - D  $\cos \alpha$

$$69. T = - [G(a+b) + G_1 a] \frac{a}{Lh}$$

Mit Rücksicht auf die Momente von  $M_1$  und  $M_2$ , können wir auf folgende

$$70. \begin{cases} H = \frac{M_1}{h}, & H_1 = \frac{M_2}{h} \\ S = \frac{M_1}{h} \sec \alpha & S_1 = \frac{M_2}{h}, & T = - \frac{M_2}{a} \\ & P = (G_1 - G) \frac{a}{L} \sec \beta \end{cases}$$

Ginnsow, werden bei unveränderlicher Belastung die Beanspruchungen  
 $H$ ,  $S$ ,  $S_1$  und  $T$  zum Maximum, wenn  $M_2$  zum Maximum wird,  
 während  $H_1$  gleichzeitig mit  $M_1$  zum Maximum wird. Wie die

unabhängige Belastung, so wie die Maxima von  $H$  und  $M$ , zu bestimmen sind, müßte früher gescheit. Für Ulyssimus müßte die Maxima von  $M$  und  $H$ , gleich sein. Legen wir uns dieses Maximum mit  $M$ , so müßte

$$71. \begin{cases} \max H = \max H_1 = \max I = \frac{\max M}{h} \\ \max I = \frac{\max M}{h} \text{ sec } \alpha, \max V = - \frac{\max M}{a} \end{cases}$$

Es fragt sich nun noch, für welche Belastungsweise  $G_1 - G_2$  zum Maximum wird. Legen wir uns die Kraftverteilung der im Ganzen und dritten statischen Systemen Lasten mit  $G_1, G_2$ , ihre Abstände von Ende  $\xi', \xi''$ , so ist  $G_1 = G(1 - \frac{\xi'}{b}) + G''(1 - \frac{\xi''}{a})$ ,  $G_2 = G \frac{\xi'}{b}$ , also  $G_1 - G_2 = G(1 - 2\frac{\xi'}{b}) + G''(1 - \frac{\xi''}{a})$ . Wirkt man die Lasten systeme um  $\Delta \xi$  nach links, so wird  $\xi'$  um  $\Delta \xi$  größer,  $\xi''$  um  $\Delta \xi$  kleiner, nicht nur ändert sich  $G_1 - G_2$  um  $-(2\frac{G'}{b} - \frac{G''}{a}) \Delta \xi$ . In der bekannten Weise kann man ferner feststellen, daß  $G_1 - G_2$  also auf  $I$  zum Maximum wird, wenn eine Falllast bei  $F$  liegt und wenn  $2\frac{G'}{b}$  möglichst gleich  $\frac{G''}{a}$  ist.

Bei gleichmäßiger Belastung wird  $H, H_1, I, I_1$  zum Maximum bei totaler Belastung, Dergleichen, wenn die Hälfte der Länge belastet ist. Es müßte also sein, wenn  $G$  ein Stützpunkt ist, so die zufällige Last zur Ringenung fast bequ Coast  $\max M = \frac{1}{2}(g+p)(a+b)a$ ,  $\max(G_1 - G) = \frac{3}{4} \cdot \frac{1}{2}pb + \frac{1}{2}pa - \frac{1}{4} \cdot \frac{1}{2}pb = \frac{1}{4}p(2a+b)$   
 $= \frac{1}{4}p.l$ , also

$$72. \begin{cases} \max H = \max H_1 = \max I = \frac{(g+p)(a+b)a}{2h}, \max I = \frac{(g+p)(a+b)a}{2h} \text{ sec } \alpha \\ \max V = - \frac{(g+p)(a+b)}{2}, \max T = \frac{1}{4}pa \text{ sec } \beta \end{cases}$$

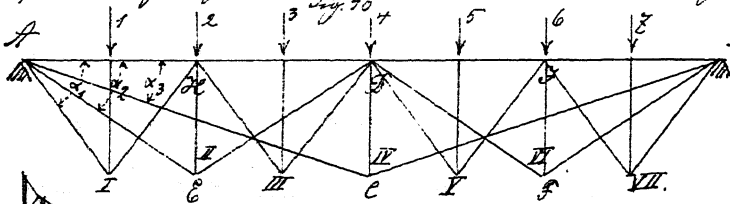
Volumen. Legen wir uns wieder die zufällige zweiwertige für  $g, p, g$ .  
 und  $g$  und  $h$ . Größe mit  $R$  und  $R_1$ , so ergibt sich leicht

$$V = \frac{(g+p)(a+b)a}{2hR} \cdot b + 2 \frac{(g+p)(a+b)a}{2hR} \cdot a \cdot m^2 + 2 \frac{pa}{4R} \cdot h \cdot m^2 + \frac{(g+b)(a+b)a}{2hR_1} (2a+b) + 2 \frac{(g+p)(a+b)}{2hR_1} \cdot h$$

oder 73.  $V = \frac{(g+p)(a+b)[a(2a+b) + 2h^2]}{2h} (\frac{1}{R} + \frac{1}{R_1}) + \frac{pa(b^2 + h^2)}{2R_1 h}$   
 oder auch, wenn man  $a = ml, b = (1-m)l, h = ml$  setzt,

$$\text{B.a. } V = \frac{(g+p)l^2(1-m)[n+2m^2]}{2m} \left( \frac{1}{R_1} + \frac{1}{R_2} \right) + \frac{p l^2 m [(1-2m)^2 + m^2]}{2Rm}$$

S 19. Das Fink'sche Hängewerk. Ein Stück fester Gängewerk ist ein, und einstück fängewerk kann in zwei kombinierter Gängewerk, zwei Stück fester Punkte A B C eines einstück fängewerkes A C B, mit der Spannweite l, und Knotenstützungsstellen für zwei einstück fängewerkes A C D, und D F B, mit der Spannweite  $\frac{1}{2}l$ , die so zusammen zu 5

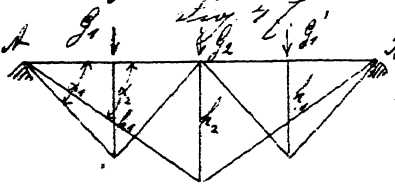


Stück fester Punkte A C D F B verbindet, als Knotenstützungsstellen für 4 einstück fängewerk mit der Spannweite

46a.  $\frac{1}{2}l$  können in f. m., so daß man Gängewerk in fester, gemachter, dritter Ordnung in f. m. unterstützen kann. Hier, weil man mit der Ordnung geht ist man beauftragten Hauptteil. Ein, in beauftragten der Spannweite, abhängig.

1. fester  $G_1, G_1', G_1'', G_1'''$  die Lasten in der Mitte der Gängewerk letzter Ordnung,  $G_2, G_2', G_2''$  die Lasten in der Mitte der vorletzten Ordnung, in f. m. und  $G_3$  die Last in der Mitte der Gängewerk in fester Ordnung, ferner  $h_1, h_2, \dots, h_n$  die Höhen eines fängewerkes,  $\alpha_1, \alpha_2, \dots, \alpha_n$  die Neigungswinkel der Gängewerk,  $\sigma_1, \sigma_1', \sigma_1'', \dots, \sigma_1'''$ ,  $\sigma_2, \sigma_2', \sigma_2'', \dots, \sigma_2'''$  die Neigungen der Gängewerkstützen,  $S_1, S_1', S_1'', \dots, S_1'''$ ,  $S_2, S_2', S_2'', \dots, S_2'''$ ,  $\dots, S_n$  die Neigungen der Gängewerk.

1. Gängewerk mit fester und gemachter Ordnung (Stück 77). Gezeigt wird



2. fester aufgetragen den Gleichungen 60.

$$\begin{cases} G_1 = -G_1', & \sigma_1 = -\sigma_1' \\ G_2 = +\frac{1}{2}G_2 \cos \alpha_1, & \sigma_2 = +\frac{1}{2}G_2' \cos \alpha_1 \end{cases}$$

Ein in C auf der Gängewerk in fester Ordnung wirkende Last ist  $G_2 + S_1 \sin \alpha_1 + S_1' \sin \alpha_1 = G_2 + \frac{1}{2}(G_1 + G_1')$  also wird

$$75 \begin{cases} V_2^v = [G_2 + \frac{1}{2}(G_1 + G_1')] \\ G_2 = + \frac{1}{2} [G_2 + \frac{1}{2}(G_1 + G_1')] \cos \alpha_2 \end{cases}$$

Von Beginnung  $H$   $H'$  im Falle  $AC$ ,  $BC$  im Charakteristikum ... gegeben ist  
 durch die Gleichungsmittelbedingung, für die Punkte  $A$  und  $B$ ,

$$H = -G_1 \cos \alpha_1 - G_2 \cos \alpha_2, H' = -G_1' \cos \alpha_1 - G_2' \cos \alpha_2, \text{ d. i.}$$

$$76 \begin{cases} H = -\frac{1}{2} G_1 \tan \alpha_1 - \frac{1}{2} [G_2 + \frac{1}{2}(G_1 + G_1')] \cot \alpha_2 \\ H' = -\frac{1}{2} G_1' \tan \alpha_1 - \frac{1}{2} [G_2 + \frac{1}{2}(G_1 + G_1')] \cot \alpha_2 \end{cases}$$

2. Güngerswerte mit vier, gerader und dritter Ordnung. (S. 16).

Gewöhnlich sind mindes für die Güngerswerte dritter Ordnung:

$$77 \begin{cases} V_1 = -G_1, V_1' = -G_1', V_1'' = -G_1'', V_1''' = -G_1''' \\ G_1 = + \frac{1}{2} G_1 \cos \alpha_1, G_1' = + \frac{1}{2} G_1' \cos \alpha_1, G_1'' = + \frac{1}{2} G_1'' \cos \alpha_1, G_1''' = + \frac{1}{2} G_1''' \cos \alpha_1 \end{cases}$$

potieren für Güngerswerte gerader Ordnung

$$78 \begin{cases} V_2^v = -[G_2 + \frac{1}{2}(G_1 + G_1')] & V_2^v = -[G_2' + \frac{1}{2}(G_1'' + G_1''')] \\ G_2 = + \frac{1}{2} [G_2 + \frac{1}{2}(G_1 + G_1')] \cos \alpha_2, & G_2' = + \frac{1}{2} [G_2' + \frac{1}{2}(G_1'' + G_1''')] \cos \alpha_2 \end{cases}$$

Wenn  $T$  auf der Güngerswerte vierter Ordnung mindes, Punkt ist  
 $G_3 + G_2 \sin \alpha_2 + G_2' \sin \alpha_2 + G_1 \sin \alpha_1 + G_1' \sin \alpha_1 = G_3 + \frac{1}{2} [G_2 + G_2' + \frac{1}{2}(G_1 + G_1' + G_1'' + G_1''')] + \frac{1}{2} G_1 + \frac{1}{2} G_1'$  oder ist.

$$79 \begin{cases} V_3^v = -[G_3 + \frac{1}{2}(G_2 + G_2') + \frac{1}{4}(G_1 + 3G_1' + 3G_1'' + G_1''')] \\ G_3 = -\frac{1}{2} V_3^v \cos \alpha_3 \end{cases}$$

von Beginnung  $H$  im Falle  $AC$   $H$  wird  $H = -(G_1 \cos \alpha_1 + G_2 \cos \alpha_2 + G_3 \cos \alpha_3)$   
 im Falle  $BC$ :  $H_1 = H + G_1 \cos \alpha_1 - G_1' \cos \alpha_1$ , im Falle  $BF$ :  
 $H''' = -(G_1''' \cos \alpha_1 + G_2' \cos \alpha_2 + G_3 \cos \alpha_3)$  und im Falle  $DF$ :  $H'' = H' + G_1''' \cos \alpha_1 - G_1'' \cos \alpha_1$ , d. i.

$$80. \begin{cases} H = -\frac{1}{2} G_1 \cot \alpha_1 - \frac{1}{2} [G_2 + \frac{1}{2}(G_1' + G_1'')] \cot \alpha_2 \\ \quad - \frac{1}{2} [G_3 + \frac{1}{2}(G_2 - G_2') + \frac{1}{4}(G_1 + 3G_1' + 3G_1'' + G_1''')] \cot \alpha_3. \\ H''' = -\frac{1}{2} G_1''' \cot \alpha_1 - \frac{1}{2} [G_2' + \frac{1}{2}(G_1'' + G_1''')] \cot \alpha_2 \\ \quad - \frac{1}{2} [G_3 + \frac{1}{2}(G_2 + G_2') + \frac{1}{4}(G_1 + 3G_1' + 3G_1'' + G_1''')] \cot \alpha_3. \end{cases}$$

$H'$  und  $H''$  wegfällt man, man man bezüglich in dem Klotzwinkel für  $H$  und  $H'''$  in selben Glieder  $G_1$  für  $G_1$ ,  $G_1'$  für  $G_1''$  setzt.

Bei gleichmäßiger Belastung werden die Spannungen der Zugbänder und Zugschwerkelpunkte nach Zugschwerkelpunkten Ordnung zum Maximum bei dreiwertigen Belastung, für mehrere die dieser Zugschwerkelpunkte angeordneten Längsachsen zum Maximum werden, d. h. bei totaler Belastung dieser Zugschwerkelpunkte. Die Spannungen im Zugschwerkelpunkte werden bei totaler Belastung der ganzen Länge zum Maximum. Bei dieser Belastung werden sämtliche Längen gleich. Nehmen wir jetzt  $L_1 = G_1$ , so erhalten wir folgende Regeln:

Zugschwerkelpunkte mit erster und zweiter Ordnung:

$$81. \begin{cases} \sigma_1 = -G & L_1 = +\frac{1}{2} G \cos \alpha_1 \\ \sigma_2 = -2G & L_2 = +G \cos \alpha_2 \\ H = -\frac{1}{2} G \cot \alpha_1 - G \cot \alpha_2. \end{cases}$$

Zugschwerkelpunkte mit erster, zweiter und dritter Ordnung:

$$82. \begin{cases} \sigma_1 = -G, & L_1 = +\frac{1}{2} G \cos \alpha_1, \\ \sigma_2 = -2G, & L_2 = +G \cos \alpha_2, \\ \sigma_3 = -4G, & L_3 = +2G \cos \alpha_3, \\ H = -\frac{1}{2} G \cot \alpha_1 - G \cot \alpha_2 - 2G \cot \alpha_3. \end{cases}$$

Man erkennt, dass die Spannung, auf mehrere die Klotzwinkel für Zugschwerkelpunkte mit und dieser Ordnung zu bilden sein werden.

Die Beanspruchung an den Pfeilern der Gängenmauerkette nehmen für einen  
 von der Höhe der Ordnung  $1:2^1:2^2$   
 $1:2^3:2^4 \dots$  zu.

Die Beanspruchung der Pfeilerkette der Beanspruchung mit Hilfe  
 des Kollisionsanordnungsmaßes  $\gamma$  nach Fig 46 a für gleiche Lasten. Ist  $\gamma$   
 gleich der Beanspruchung für ungleiche Lasten die fallen.

Volumen. Die bequemen sind die zulässige Feuerkraft  
 nehmen für die Gänge mit verschiedenen Höhen mit  $R$  und  $R_1$ .

1. Gängemauerkette mit Pfeiler und gemittelter Ordnung. Die  
 Volumen der Gängemauerkette Pfeiler und der Gängekanten für  
 die Gängemauerkette gemittelter Ordnung ist

$$\frac{G}{R_1} h_1 + 2 \frac{G}{2R} h_1 \cos^2 \alpha_1$$

oder da

$$\cos^2 \alpha_1 = 1 + \cot^2 \alpha_1 = 1 + \left(\frac{h}{4h}\right)^2 \frac{1}{h_1} = \frac{G}{h_1} \left[ \frac{1}{R_1} + \frac{1}{R} \left(1 + \frac{h^2}{16h_1^2}\right) \right]$$

Das Volumen der Gängemauerkette Pfeiler und der Gängekanten der  
 Gängemauerkette Pfeiler Ordnung ist

$$2 \frac{G}{R_1} h_2 + 2 \frac{G}{2R} h_2 \cos^2 \alpha_2 = 2 \frac{G}{h_2} \left[ \frac{1}{R_1} + \frac{1}{R} \left(1 + \frac{h^2}{4h_2^2}\right) \right]$$

Es ist das Volumen der Pfeilerkette

$$G \left( \frac{1}{2} \cot \alpha_1 + \cot \alpha_2 \right) \frac{h}{R_1} = \frac{G}{R_1} \left( \frac{1}{2} h_1 + \frac{1}{2} h_2 \right)$$

Das Volumen der verschiedenen Höhen sind dann

$$\frac{G}{R_1} \left( 2h_1 + 2h_2 + \frac{h^2}{8h_1} + \frac{h^2}{2h_2} \right)$$

Das der Gänge

$$\frac{G}{R} \left( 2h_1 + 2h_2 + \frac{h^2}{8h_1} + \frac{h^2}{2h_2} \right)$$

mit dem Gesamtvolumen

$$83. \begin{cases} V = G \left( \frac{1}{R} + \frac{1}{R_1} \right) \left[ 2(h_1 + h_2) + \frac{h^2}{8h_1} + \frac{h^2}{2h_2} \right] \\ = \frac{1}{2} G h \left( \frac{1}{R} + \frac{1}{R_1} \right) \left[ (\tan \alpha_1 + \cot \alpha_1) + 2(\tan \alpha_2 + \cot \alpha_2) \right] \end{cases}$$

2. Gängenmark mit n-fach, zweiseitig und drittelter Ordnung.

Gang und Fallbau  $n$  mal n-fach für  $n$ :

$$84. \left\{ \begin{aligned} V &= g \left( \frac{1}{R} + \frac{1}{R_1} \right) \left[ 4(h_1 + h_2 + h_3) + \frac{l^2}{16h_1} + \frac{l^2}{4h_2} + \frac{l^2}{h_3} \right] \\ &= \frac{1}{2} g l \left( \frac{1}{R} + \frac{1}{R_1} \right) \left[ (k \sin \alpha_1 + \cot \alpha_1) + 2(k \sin \alpha_2 + \cot \alpha_2) + 4(k \sin \alpha_3 + \cot \alpha_3) \right] \end{aligned} \right.$$

Man erkennt, für  $n=2$  das Bildungsgesetz für den Kub. tritt das Volumen bei halbdrittelter Ordnungszahl.

Wenn  $R = R_1$  ist, so wird Formung der Volumen der  $n$  z. gegenseitig und symmetrischen Falle gleich.

Zum Minimum wird der Winkel  $k \sin \alpha + \cot \alpha$  für

$$\frac{d \left( x + \frac{1}{x} \right)}{dx} = 0.$$

$$1 - x^{-2} = 0.$$

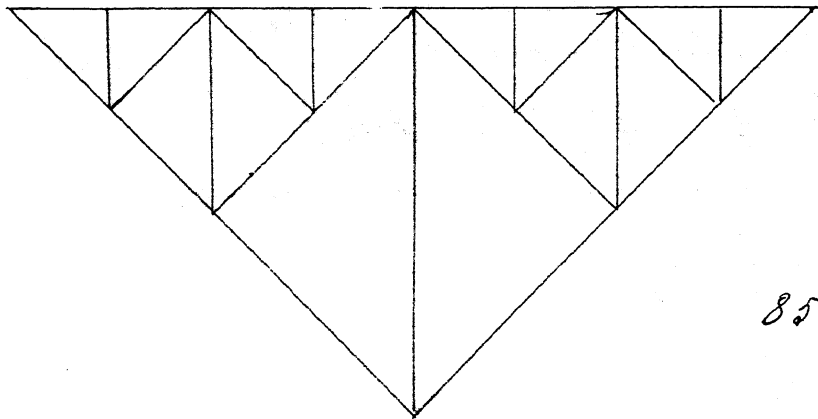
d. i. für

d. i. für

$$\frac{1}{x^2} = 1 \text{ oder für } x = 1.$$

also für  $k \sin \alpha = 1$  oder für  $\alpha = 45^\circ$ . Stellung wird nun der Volumen zum Minimum, wenn für  $n=2$  Winkel  $= 45^\circ$  sind, also für die Anordnung Fig. 48.

Fig. 48.



Die erste Anordnung wird allgemein bei Gängenmarken  $n$ -ter Ordnung

$$85. \left\{ \begin{aligned} V &= g l \left( \frac{1}{R} + \frac{1}{R_1} \right) \left[ 1 + 2 + 4 + \dots + 2^{n-1} \right] \\ V &= (2^n - 1) g l \left( \frac{1}{R} + \frac{1}{R_1} \right) = \\ &= \frac{2^n - 1}{2^n} g l^2 \left( \frac{1}{R} + \frac{1}{R_1} \right) \end{aligned} \right.$$

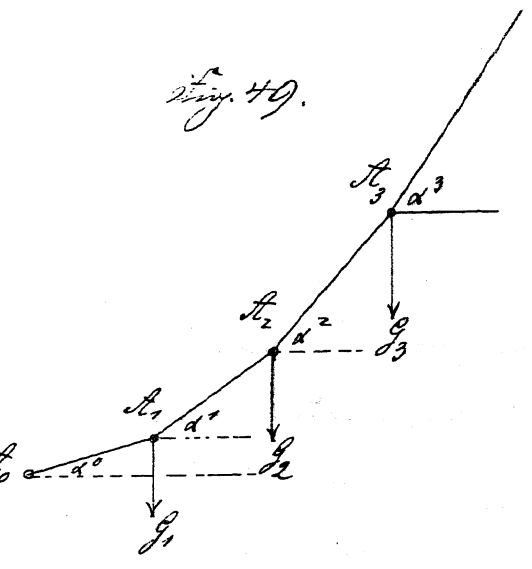
für  $n = 1, 2, 3, 4$  wird

Formung bezüglich  $V = 1, 3, 7, 15 \cdot g l \left( \frac{1}{R} + \frac{1}{R_1} \right) = \frac{1}{2}, \frac{3}{4}, \frac{7}{8}, \frac{15}{16} g l^2 \left( \frac{1}{R} + \frac{1}{R_1} \right)$ .

Stärken derselben in demselben sehr einfach angewandten Systeme wird es  
 eine Reihe verschiedener Kombinationen, die man nicht ohne geringen An-  
 wendung solcher Lehren abzugeben vermag.

§ 20. Polygonalkängeswerk. Oder Angreifung der Spannen.

Man ist in demselben Falle eines  
 Polygonalkängeswerks (Fig. 49)  
 mit  $S_0, S_1, S_2, \dots$ , die Kräfte  
 Winkel derselben gegen die  
 Horizontale mit  $\alpha_0, \alpha_1, \alpha_2, \dots$ ,  
 die in den Kräftepunkten, wie  
 Rand der vertikalen Lasten mit  
 $G_1, G_2, G_3, \dots$ , die Gleichgewichts-  
 Bedingungen für die einzelnen  
 Kräftepunkte sind:



$$86. \left\{ \begin{array}{ll} S_0 \cos \alpha_0 - S_1 \cos \alpha_1 = 0 & S_0 \sin \alpha_0 - S_1 \sin \alpha_1 + G_1 = 0 \\ S_1 \cos \alpha_1 - S_2 \cos \alpha_2 = 0 & S_1 \sin \alpha_1 - S_2 \sin \alpha_2 + G_2 = 0 \\ S_2 \cos \alpha_2 - S_3 \cos \alpha_3 = 0 & S_2 \sin \alpha_2 - S_3 \sin \alpha_3 + G_3 = 0 \\ \dots & \dots \end{array} \right.$$

Die letzte Gruppe von Gleichungen zeigt, daß die  
 Horizontalkomponenten  $S_0 \cos \alpha_0, S_1 \cos \alpha_1, \dots$  der Spannungen  
 konstant sein muß. Diese Konstante Horizontalspannung  
 sei  $H$ . Also dann wird:

$$87. S_0 = H \sec \alpha_0, S_1 = H \sec \alpha_1, S_2 = H \sec \alpha_2, \dots$$

Wird in die zweite Gruppe von Gleichungen eingesetzt,  
gibt

$$88. \left\{ \begin{array}{l} H \text{ kan } \alpha_1 - H \text{ kan } \alpha_0 = G_1 \\ H \text{ kan } \alpha_2 - H \text{ kan } \alpha_1 = G_2 \\ H \text{ kan } \alpha_3 - H \text{ kan } \alpha_2 = G_3 \\ \dots \dots \dots \\ H \text{ kan } \alpha_n - H \text{ kan } \alpha_{n-1} = G_n \end{array} \right.$$

Die Addition aller Gleichungen gibt

$$89. H(\text{kan } \alpha_n - \text{kan } \alpha_0) = G_1 + G_2 + \dots + G_n.$$

Ist  $H$  bekannt, so sind durch 88 und 89 die einzelnen Krümmungswinkel, durch 87 alle dann die Pyramidenhöhen der einzelnen Fächer bestimmt. Bezeichnen wir die Horizontalabstände der Knotenpunkte mit  $a_0, a_1, a_2, \dots$  die Vertikalabstände der Knotenpunkte von  $H_0$  mit  $y_1, y_2, \dots$ , so ist

$$90. \left\{ \begin{array}{l} y_1 = a_0 \text{ kan } \alpha_0 \\ y_2 = a_0 \text{ kan } \alpha_0 + a_1 \text{ kan } \alpha_1 = (a_0 + a_1) \text{ kan } \alpha_0 + \frac{G_1}{H} a_1 \\ y_3 = a_0 \text{ kan } \alpha_0 + a_1 \text{ kan } \alpha_1 + a_2 \text{ kan } \alpha_2 = (a_0 + a_1 + a_2) \text{ kan } \alpha_0 + \frac{G_1}{H} a_1 + \frac{G_1 + G_2}{H} a_2 \\ y_n = (a_0 + a_1 + a_2 + \dots + a_{n-1}) \text{ kan } \alpha_0 + \frac{1}{H} [G_1 a_1 + (G_1 + G_2) a_2 + \dots + (G_1 + G_2 + \dots + G_{n-1}) a_{n-1}] \end{array} \right.$$

Und außer dem Punkte  $H_0$  die Ordinaten aller Knotenpunkte gegeben, so sind auch die betreffenden Gleichungen  $\text{kan } \alpha$  und  $H$  und ferner alle  $H$  Krümmungen bestimmt. Bei symmetrischer Anordnung genügt eine Gleichung. Ist die Anzahl der Fächer ungerade, so ist nämlich für die mittlere Fächer  $\text{kan } \alpha = 0$ ; ist die Anzahl der Fächer gerade, so kann man statt des mittleren Knotenpunktes  $H$  mit der Last  $\frac{1}{2} G$  zwei unmittelbar nebeneinander liegende Knotenpunkte  $H', H''$  mit der Last  $\frac{1}{2} G$  annehmen; für die unmittelbar kürzere Fächer  $H' H''$  ist dann ebenfalls  $\text{kan } \alpha = 0$ .

# IX. Kapitel.

## Dächer.

### A. Äussere Kräfte.

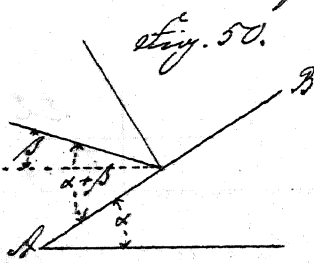
§ 21. Eigengewicht. Das Eigengewicht besteht aus zwei Hauptteilen, aus der Dachdeckung und dem das Dachmarkel oder Dachstuhl. Das Gewicht der Dachdeckung läßt sich durchschnittlich nach folgendem Zahlenverhältnis annehmen:

Hierbei sind Materialen und Pfetten mit einzuzählen. Das Gewicht ist gro $\square^m$ der vertikalen Dachfläche (nicht gro $\square^m$ Horizontalprojektion) anzunehmen.	Art der Dachdeckung.	Gewicht pro $\square^m$ .
	Holztafel . . . . .	130.
	Korunnen-Zingalblech . . . . .	90.
	kupferne Zingalblech . . . . .	80.
	Zielfachung mit Zingalfachung	65.
	Zielfachung auf Holzfachung . . . . .	50.
	Zielfachung auf Holzfachung . . . . .	46.
	Wellblech auf Holzfachung . . . . .	25.
	Zingalblech . . . . .	22.
	Zusammen.	

Es ist zu bemerken, dass das Eigengewicht der Dachdeckung zu 8 bis 10, durchschnittlich zu 11 Rlg. pro  $\square^m$  Horizontalprojektion anzunehmen ist. Ist die Dachdeckung zu konstruieren, so wird man nach diesen Angaben das Eigengewicht annehmen, nachdem die Bestimmungen bestimmen, das Dach konstruieren, für das das Eigengewicht angenommen werden und um die statische Lasten nach einmal durchzuführen, oder die ersten Korrekturen.

§ 22 Schneebelastung. Wenn es regnet bei und dem Schneeeinbruch. Schneeeinbruch zu 75 Kgr. pro 1  $\square$  Meter horizontale Grundfläche, annimmt man. Es entspricht dies ungefähr einem Schneeeinbruch von 0,6<sup>m</sup> und einem spezifischen Gewicht von 0,125. Befindet man sich bei einem jauchelnden Regen der Luft vor dem Zusetzen und dem Durchdringen der hauptsächlichsten durch möglichen Belastungen zu Grunde zu liegen es regnet, wird es bei Schneeeinbruch genügen, wenn man nur einen totalen Belastung und die Belastung der einen durchfließen vor dem Setzen und von diesen beiden Belastungen die ungenügende der Luftdruck zu Grunde legt.

§ 23 Winddruck. Der Winddruck wird fast ausschließlich wegen. nommen, gemächlich zwischen 80 und 150 Kgr pro 1  $\square$  Meter senkrecht zur Windrichtung gerichteter Fläche. Mit Rücksicht auf den Luftdruck der Luft drückt mit so verschiedenartig seinen Winddruck nur selten vor kommen, genügt es wohl, für unsere Zwecke den Winddruck mit 120 Kgr. pro 1  $\square$  Meter anzunehmen. Hat der Wind eine Richtung, welche nicht der horizontalen Ebene des Windes bildet, und hat der Wind einen Neigungswinkel  $\alpha$ , so misst der Wind unter dem Winkel  $\alpha + \beta$  gegen den senkrecht. Ist  $\omega_0$  der Winddruck auf den 1  $\square$  Meter senkrecht zur Wind senkrechten Ebene, so ist der senkrecht auf die durchfließende gerichtete Winddruck  $\omega$  auf den 1  $\square$  Meter mit kleiner Fläche



$$\omega = \omega_0 \sin^2 (\alpha + \beta)$$

Gemächlich nimmt man  $\beta$  zu 10 Grad an; folgt man auf  $\omega_0 = 120$ , so

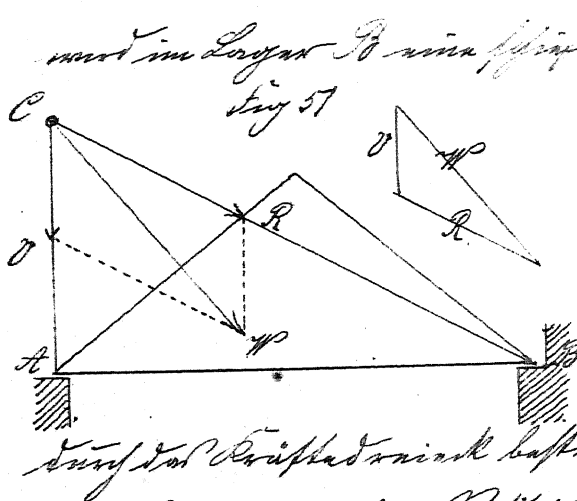
minuta

$$\omega = 120 \text{ min}^2 (a + 10^\circ) \text{ Klgr.}$$

Das gekörnunte Stoffliche wird nicht bei  $\omega$  verwirrt. Das gebrochene Stoffliche bestimmt man genau das Hindernis auf die ringelnde Fläche.

Ist das Gebilde zu einer Pflanze offen, wie z. B. bei feinsten Gefäßen, so kann das Hindernis auf einen Punkt von innen und außen verhalten. Wird das Hindernis im Innern durch Luftgehalt des Chondriothyls, so würde sich an allen Stellen im Luftdruck von 120 Klgr. pro  $\square$  Pflanze durch die Fläche einfließen können. Mit Rücksicht auf die Hauptkraft, die sich durch Öffnungen zum Aufsteigen des Luftdruckes, das das Hindernis nicht in die Maximalstärke in der Abwärtsbewegung durch die im Innern des Raumes ringelnde Luft eine Abfließung, vorsetzen (kann in der That nicht ein solches Hindernis abgeben, in vertauschen, wenn das selbe im Innern bei 120 Klgr. pro  $\square$  (1/2 Pfund Kiste), wird es wohl, bei bestimmten Gefäßöffnungen vorliegen, z. B. in der, das im Innern Hindernis abmen zu 60 Klgr. pro  $\square$  Pflanze einfließen.

§ 24. Reaktionen. Die bekanntesten sind die Stoffliche, bei denen nur die beiden Lager abgelesen von der Reaktion, nur eine vertikale Reaktion zulässig. Geht man bei einem Lager zu einer feinsten der Abfließung, während das andere B im selben Lager ist, so wird es nicht eine Prüfung zulässig, so kann die Reaktion in B abgelesen von der Reaktion, nur eine vertikale Reaktion zulassen, nicht die Belastung ebenfalls vertikal, so wird auf die Reaktion in B vertikal sein müssen. Die Bestimmung dieser Reaktionen ist bekannt, das Hindernis aber



wird im Lager B eine gewisse Reaktive hervorgerufen. Kennt man die Richtung der Pfahlkraft W oder Winddrucke, so legt man durch A eine Vertikale, welche W im C schneidet und zieht BC. In der Richtung von CA und CB wirken die Reaktiven S und R; ihre Größe ist durch den Kräfteviereck bestimmt.

Wenn man die Pfahlkraft W des Winddruckes nicht direkt kennt, sondern nur die auf die einzelnen Flächen wirkenden Winddrücke  $W_1, W_2, W_3, \dots$  (Fig. 52), so nimmt man im Kräfteviereck einen beliebigen

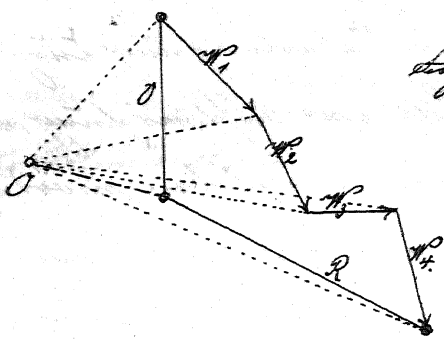
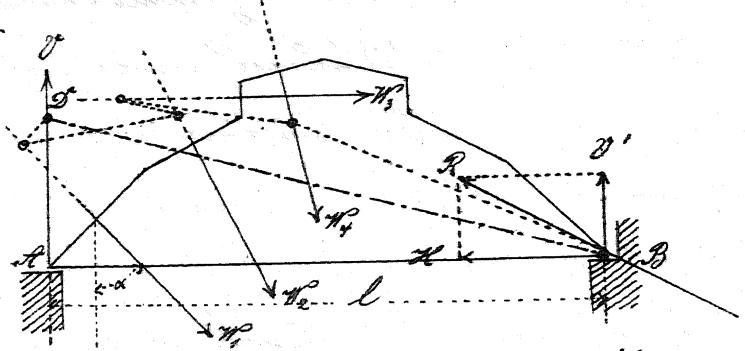


Fig. 52.



Pol von und konstruirt hierzu gewisse den Richtungen der Kräfte  $W_1, W_2, \dots$  und R ein Polyedron. Wenn man Pol einen Punkt des Polyedrons annimmt, so läßt sich daselbe konstruiren, ohne nach der Richtung von R zu können. Zieht man im Kräfteviereck zur Pfeilspitze B D einen beliebigen Pfeil, so erhält man im Kräfteviereck sowohl S als R.

Bezeichnet  $a_1, a_2, a_3, \dots$  die Abstände der Richtungen der Kräfte  $W_1, W_2, W_3, \dots$  von B, ferner  $a'_1, a'_2, a'_3, \dots$  die Abstände der Pfeilspitze von A, L und O die Horizontal- und Vertikalkomponente von R,  $\alpha_1, \alpha_2, \alpha_3, \dots$  die Neigungswinkel der Kräfte  $W_1, W_2, \dots$  gegen die Vertikale,

l die Spannung, so ist

$$V = \frac{W_1 a_1 + W_2 a_2 + W_3 a_3 + \dots}{l}$$

$$V' = \frac{W_1 a_1' + W_2 a_2' + W_3 a_3' + \dots}{l}$$

$$H = W_1 \sin \alpha_1 + W_2 \sin \alpha_2 + W_3 \sin \alpha_3 + \dots$$

Wenn sich die Temperatur ändert, so wirkt auch die Dämpfung aus einer  
Zonigutalkraft, welche mit zunehmender Temperatur abnimmt, zu-  
nimmt und mittels der Reibung überwindet. Hauptwirkung auf die  
die Belastung eine nach innen gerichtete zonigutale Reaktion, welche  
bis zur Abreißung der Reibung gesehen kann. Ist  $H_1$  das Maximum  
der nach innen,  $H_2$  das Maximum der nach außen gerichteten Reaktion,  
gibt die Spannung, so die zufällige Last pro zonigutale Spannungseinheit,  
gibt die Reibungskoeffizient, so ist

$$H_1 = \frac{1}{2} \varphi (g + p) l, \quad H_2 = \frac{1}{2} \varphi g l.$$

Wenn über die Temperaturänderung und die Belastung bis zur  
Abreißung der Reibung gesehen kann, ist speziell zu untersuchen.  
Es ist dies eine Frage, bei welcher die Flexibilität in Betracht kommt  
und dieser Aspekt bei Befestigung der Logenbrücken und Logenstützen be-  
sondere Beachtung verdient. Die Belastung dieser kann in der Tat die Zonigou-  
talskraft bis zur Abreißung der Reibung gesehen.

Der Reibungskoeffizient  $\varphi$  läßt sich für Stahlseile zu ungefähr  
0,2, für Rollseile zu ungefähr 0,02 annehmen. Im letzteren Falle  
müssen sich die Spannungen nicht so klein verhalten, daß man sie  
vernachlässigen kann.

B Spannungen.

S. 25. Bestimmung der Spannungen im Allgemeinen.

Ein die Kaufung wird man am besten die Schnittmethode anwenden. Sie findet in Frage kommenden Gebälkraum wird man anwenden um die Kaufung abzurufen, oder herauszuheben. Die Einförmigkeit von geometrischen Funktionen ist für die Kaufung weniger geeignet.

Zurückbleib der größten Methode ist die Polyzonalmethode der Punktmethoden vorzuziehen, weil für uns mehrere Lücken in Frage kommen.

Legen wir nun die Spannung zweier symmetrisch liegender Hölzer bei unipoliger Belastung mit  $S_1$  und  $S_2$ , die Spannung dieses Hölzle bei totaler Belastung mit  $S$ , so ist offenbar  $S_1 + S_2 = S$ . Ist dies immer möglich, und die für unipolige Belastung unmittelbaren Spannungen die Spannungen für totale Belastung direkt abgeleitet. Durchset man in das Regel, was drei verschiedene Belastungen: einseitige unipolige Belastung und Blinddruck zu untersuchen, möge noch die Reibung kommen kann

Sehr einfacher Ploncean - Dachstuhl. Der selbe besteht aus

zwei durch den Mittelgänger und die beiden Giebel und aus der

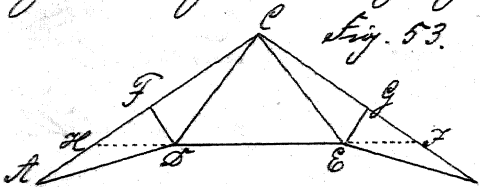


Fig. 53.

hinten hinter Gänger und die beiden Giebel

zentrale Giebelstange DE. Die Spannkräfte

der Giebel findet man, indem man

die durch D und E Schnitte legt und D und E, als Druckpunkte wählt. Ein die äußeren Zugspannungen werden bezüglich der F, C, G Schnitte gelegt und F, C, G als Druckpunkte angenommen. Ein die Zugspannungen CD und EC werden die Schnitte durch diese Hölzer gelegt und die Punkte H und

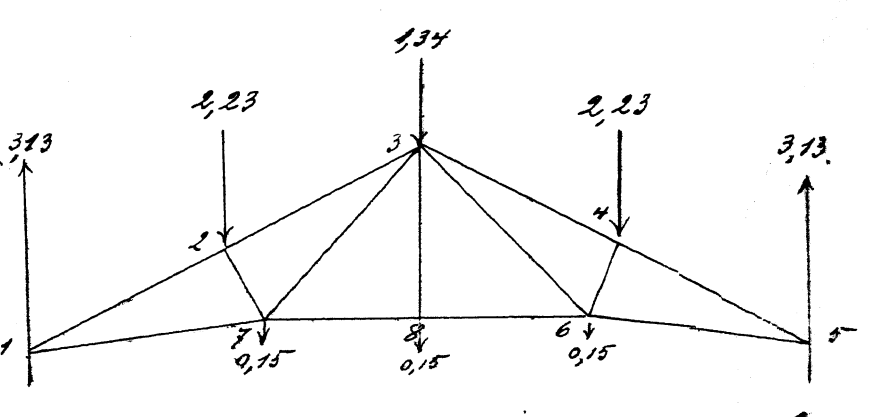
Die malabarische Gussman von der Nordlänge von D & gefasteten  
 nach dem, als dasjenige, aufzusuchen. Die Gussman der Punkte D & F  
 sind E & G findet man sofort durch das Aufsuchen der Punkte E und G.

Man sieht sich ferner leicht, dass bei unpaarigen Belastung durch die  
 die Gussman und Punkte gegeben, alle übrigen Punkte gegeben sind. Das  
 dass, was die Summen der Gussman bei totaler Belastung  
 gegeben sein, als bei unpaarigen. Consequenz für eine totale Belastung  
vorwärts zu setzen.

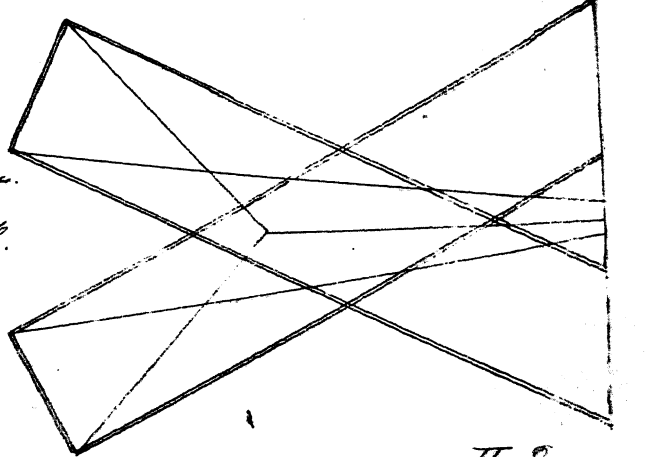
Die größte Belastung nach der Folge von Aufbauten wird unpaarig.  
 Die zeigt daselbst für die Folge von Aufbauten, die für die Punkte  
 Beispiel. Folgendes sind von 27<sup>m</sup> Gussman mit 6,75 Tausend Pfund,  
 4,4<sup>m</sup> Lindnerstellung.

1. Ausere Kräfte. Die Folge von Aufbauten ist zu 65 Kgr pro 1<sup>m</sup> horizontal.  
 fließt aufzusuchen, davon 5 Kgr. auf die unter der Gussman liegen.

Die Punkte kommen die  
 Gussman geben durch  
 $27 \cdot 4,4 \cdot (65 - 5) = 7128 \text{ Kgr.}$   
 $= 7,13 \text{ Ton. aufwärts}$   
 Die Summe der Punkte der  
 kinematischen Wirkung der Punkte



auf die Punkte 1 und 5  $\frac{3}{8} \cdot 7,13 = 0,67 \text{ Ton.}$   
 auf die Punkte 3  $2 \cdot 0,67 = 1,34 \text{ Ton.}$   
 auf die Punkte 2 und 4  $\frac{10}{8} \cdot 7,13 = 2,23 \text{ Ton.}$   
 Die unteren Punkte geben  $27 \cdot 4,4 \cdot 5 = 594 \text{ Kgr.}$   
 $= 0,59 \text{ Ton. aufwärts}$ . Gussman  
 kommen ungeachtet  $\frac{1}{8} \cdot 0,59 = 0,07 \text{ Ton.}$



auf den Punkten 1 und 5,  $\frac{1}{4} \cdot 0,59 = 0,15$  Ton. auf die Punkte 6 und 7,  $\frac{1}{4} \cdot 0,59 = 0,15$  Ton. auf 3. Horizontalkraft in 2 und 4  $2,23$  Ton., in 3  $1,34 + 0,15 = 1,49$  Tonnen, in 6 und 7  $0,15$  Tonnen. Jede Reaktiva ist

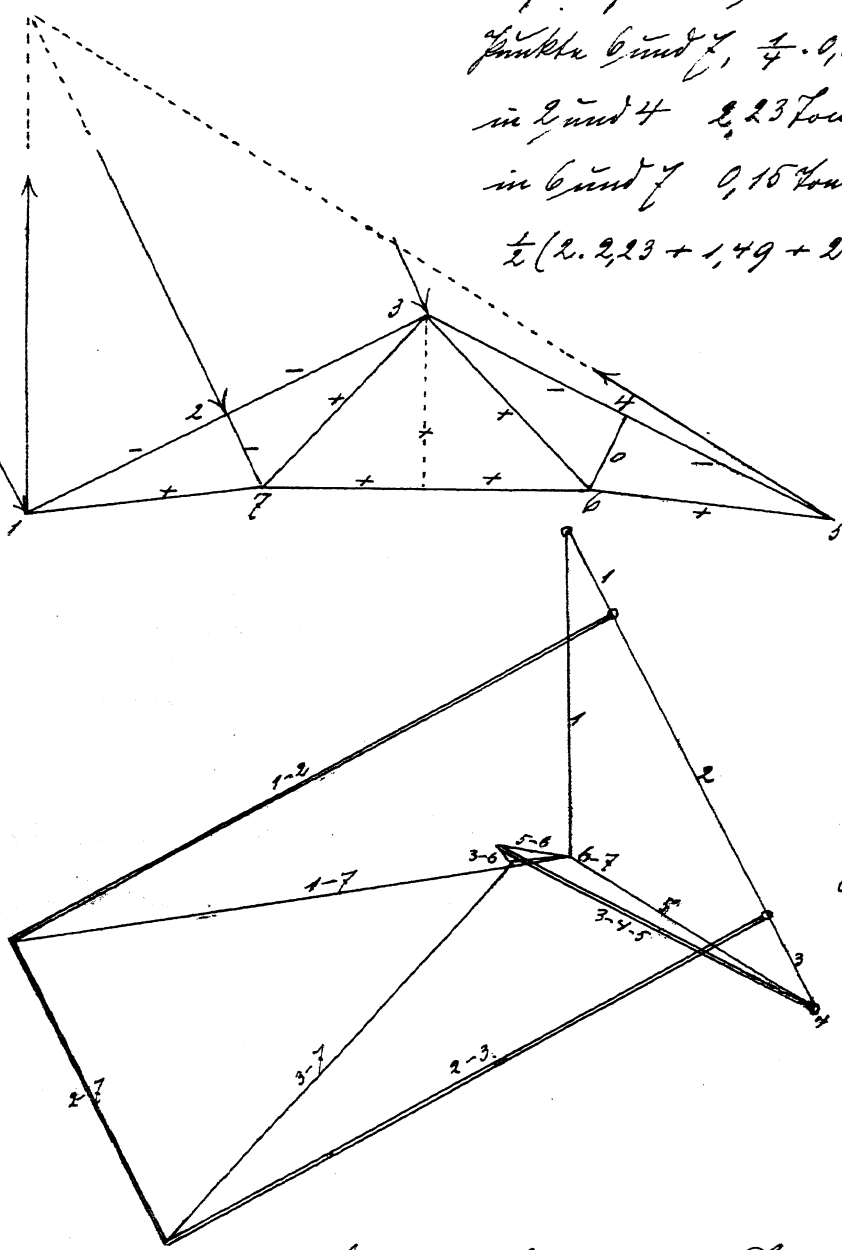
$$\frac{1}{2}(2 \cdot 2,23 + 1,49 + 2 \cdot 0,15) = 3,13 \text{ Ton.}$$

Die Windkraft nehmen wir zu  $30$  Kgr zu  $\square^{\text{de}}$  Horizontalkraften, an. Dies gibt auf den jungen Punkt  $27 \cdot 4 \cdot 4 \cdot 70 = 8320$  Kgr. =  $8,32$  Ton.

Nimmt man die Vertikalkraft ein wenig vor, so wirkt man auf die Punkte 2 und 4  $2,6$  Ton. auf 3  $0,78$  Ton. Jede Reaktiva wird

$$\frac{1}{2}(2 \cdot 2,60 + 0,78) = 2,99 \text{ Ton.}$$

Der Winddruck nehmen wir zu  $100 \sin^2(27^\circ + 10^\circ) = 36$  K. zu  $\square^{\text{de}}$  an. Horizontalkraft auf eine Seite des Dreiecks.



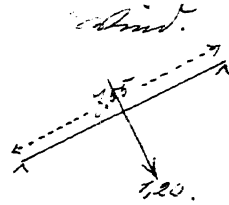
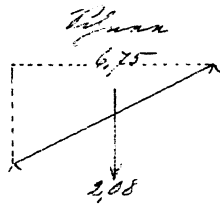
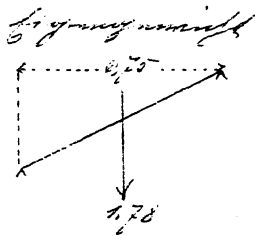
Der  $15 \cdot 1 \cdot 4 \cdot 4 \cdot 36 = 2390$  Kgr. =  $2,39$  Ton. Die Vertikalkraft ein wenig gibt für den Punkt 2  $1,49$  Ton., für 1 und 3  $0,45$  Ton. punktförmig auf den Mann 1-3. Der Gabelbaum der Republik  $2,39$  in Leistung auf 5 ist  $10,67$ , daher ist die linke vertikale Reaktiva  $\frac{2,39 \cdot 10,67}{27} = 0,95$  Ton. Der Gabelbaum der Republik in Leistung auf 1 ist  $7,55$ , daher die rechte vertikale Reaktiva  $\frac{2,39 \cdot 7,55}{27} = 0,67$  Ton. Die rechte horizontale Reaktiva ist gleich der Horizontalkraft an der Winddruck, also  $\frac{2,89 \cdot 6,75}{12,10} = 1,07$  Ton.

2. Spannungen, die durch Biegung und Querschiebung bedingten Spannungen sowie die Maximal- und Minimalspannungen sind in der folgenden Tabelle zusammengefasst:

Stiel	Biegung			Spannung der Biegung		Querschnittsfläche	
	Spannung nach	Spann.	Wind	Max.	Min.	Quers.	Stück
{ 1-2	-9,22	-9,50	-3,03	-21,75	-9,22	—	25,1
	-8,20	-8,30	-3,03	-19,53	-8,20	—	22,5
{ 1-7	+8,35	+8,45	+2,54	+19,34	+8,35	20,5	—
{ 6-7	+4,72	+4,54	+0,27	+9,53	+4,72	9,6	—
{ 3-7	+3,88	+4,08	+2,27	+10,23	+3,88	11,0	—
{ 2-7	-1,90	-2,20	-1,49	-5,59	-1,90	—	6,7
	Lücken			Lücken.		□ Continuität	

3. Querschnitte. Die Querschnittsgrößen sind auf der Formel  $f = \frac{P_{max}}{0,77} - \frac{P_{min}}{1,7}$  basierend. Für die Querschnittsgrößen des Stieles ist  $f = \frac{P_{max}}{0,72} - \frac{P_{min}}{1,8}$  anzusetzen. Die Spannungsverhältnisse der Querschnittsflächen sind ebenfalls in der Tabelle zusammengefasst.

Die Spannungen sind nach einer bestimmten Vorschrift mit Berücksichtigung der Maximalmomente, der Querschnittsfläche, des Kräfteabstandes des Querschnitts, des Abstandes der Querschnittsflächen voneinander, so wie der gesamten Regel  $R = \frac{P}{F} + \frac{M \cdot e}{R \cdot F}$ , oder  $1 = \frac{P}{R \cdot F} + \frac{M \cdot e}{R \cdot F}$ , bei Anwendung gleicher Kräfte in beiden  $R_1$  und  $R_2$  wird dann  $1 = \frac{1}{F} \left( \frac{P_{max}}{R_1} - \frac{P_{min}}{R_2} \right) + \frac{e}{F} \left( \frac{M_{max}}{R_1} - \frac{M_{min}}{R_2} \right)$ .  
 Ist  $F_0$  die für den Querschnitt nötige Fläche,  $F_0$  ist die für die Spannung nötige Abstandsmomente, so wird  $1 = \frac{F_0}{F} + \frac{e \cdot F_0}{F \cdot L_0}$ .  
 Das ist eine gewisse Querschnittsfläche, die in Folge der



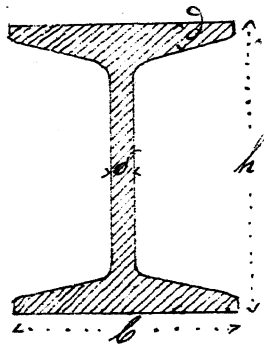
Stützpunkt, Stützpunkt  
 und Abstand ist  $\frac{2.13}{4} = 1.78$   
 $\frac{8.32}{4} = 2.08$  und  $\frac{2.39}{2} = 1.20$ .  
 Die Maximalmomente

bei einer Stützweite von  $\frac{1}{8} \cdot 1.78 \cdot 6.75 = 1.50 \frac{tm}{2}$ ,  
 $\frac{1}{8} \cdot 2.08 \cdot 6.75 = 1.76 \frac{tm}{2}$  und  $\frac{1}{8} \cdot 1.20 \cdot 6.75 = 1.13 \frac{tm}{2}$  Hauptachsennormale die  
 Maximalmomente sind dann gegeben durch kontinuierlichen Übergang.  
 Daher ist  $M_{max} = 1.50 + 1.76 + 1.13 = 4.39 \frac{tm}{2}$ .  $M_{min} = 1.50 \frac{tm}{2}$  also  
 $\frac{F}{S_0} = \frac{4.39}{0.22} - \frac{1.50}{1.8} = 516 \frac{cm}{2}$ . Also ist, da  $i_0 = 25.1$  ist, gegeben

$$1 = \frac{25.1}{F} + \frac{516 \cdot e}{F}$$

Daher, mit Hilfe von  $e$  wird

	<u>I</u>	<u>VI</u>	<u>VII</u>	<u>VIII</u>
$h =$	22.5	25.0	27.5	30.0
$b =$	12	13	14	15
$\delta =$	1.1	1.2	1.3	1.4
$d =$	1.65	1.8	1.95	2.0
$F =$	61.3	73.4	86.4	97.6
$\frac{F}{2} =$	441	538	753	952
$\frac{25.1}{F} + \frac{516 \cdot e}{F} =$	1.58	1.30	0.98	0.80.



Wird mit dem Profil VIII zu messen sein.

§ 27. Der englische Dachstuhl. Mit dem Namen englischer Dachstuhl bezeichnet man gewöhnlich Stützweite Konstruktion, hat mehrere  
 die beiden Stützweiten mit unabhängigen Stützweiten bilden, deren  
 über und unterhalb der Stützweite sind. (S. 57) Die spezielle An-  
 ordnung der Stützweiten ist verschieden, merkwürdig ist die eine

Davor normal normal auf den Davor anzuwenden (Fig. 57.) für einen  
 gibt man die einen Davor eine  
 vertikale Last (Fig. 58.)

Die Bestimmung der Beanspruchung  
 erfolgt für einen auf der Form der  
 gegeben, allgemein an Hand der  
 Gleichungen, so dass wir auf eine  
 normale Lastsetzung verzichten  
 können. Die graphische Polygonal-  
 methode ist in Fig. 59, 60 und 61 dargestellt  
 die Polygonal methoden  
 sind gegeben in Fig. 59 für  
 die Beanspruchung, in  
 Fig. 60 für die Beanspruchung  
 Beanspruchung mit in

Fig. 57.

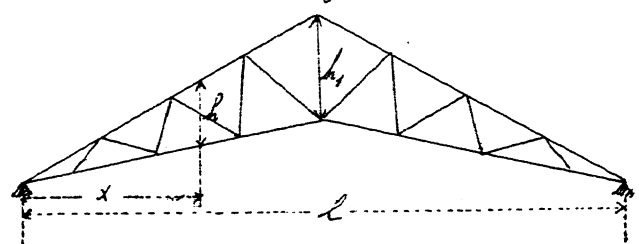


Fig. 58.

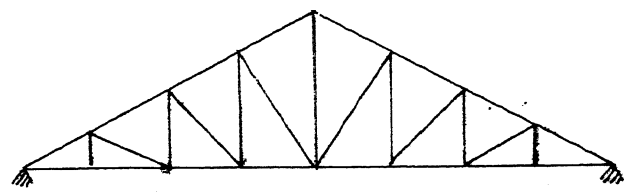
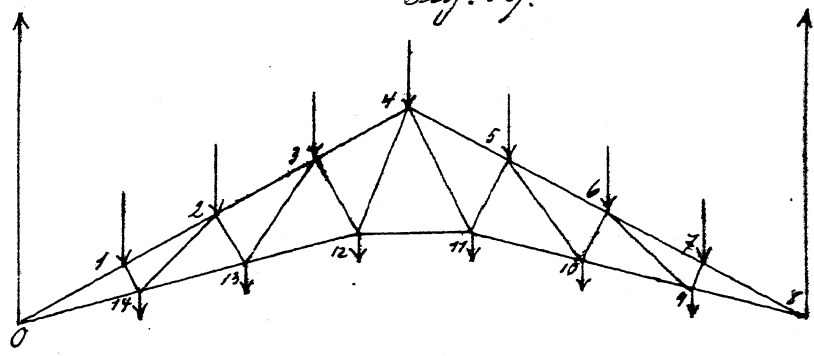
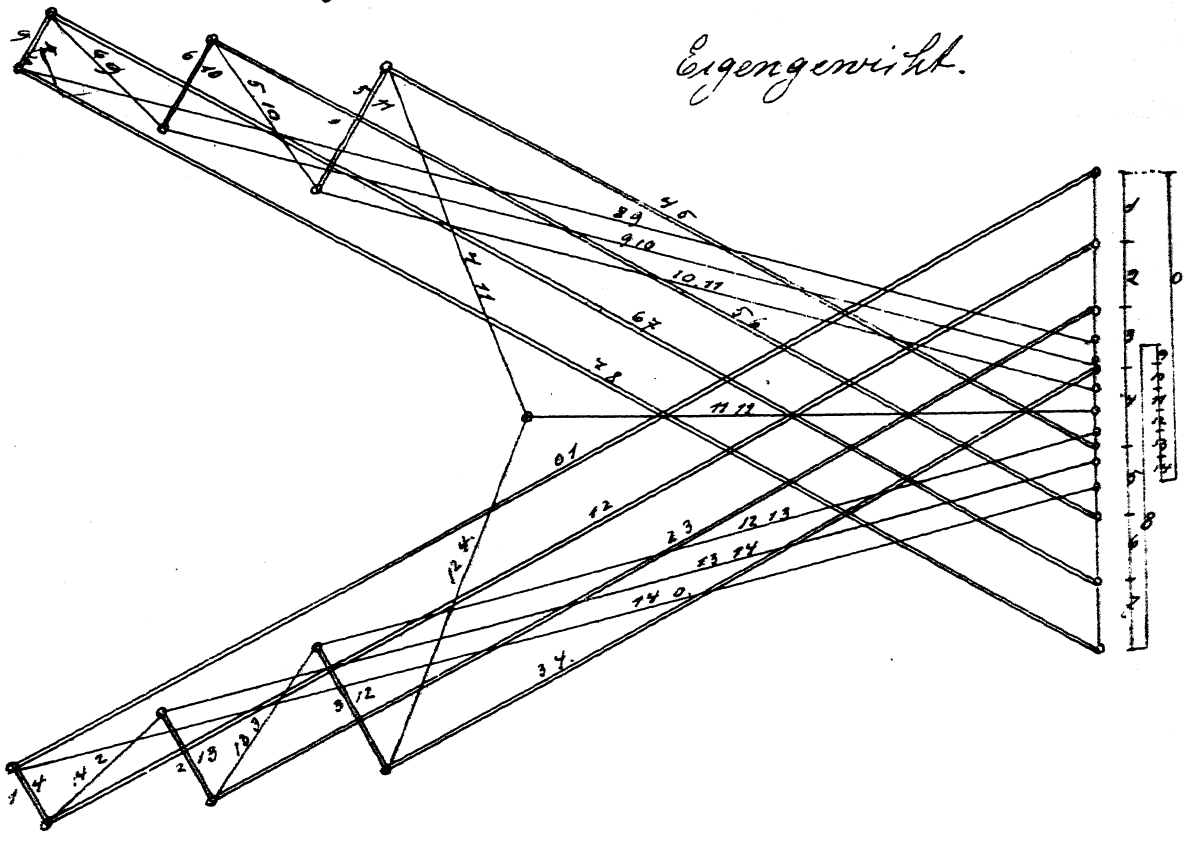
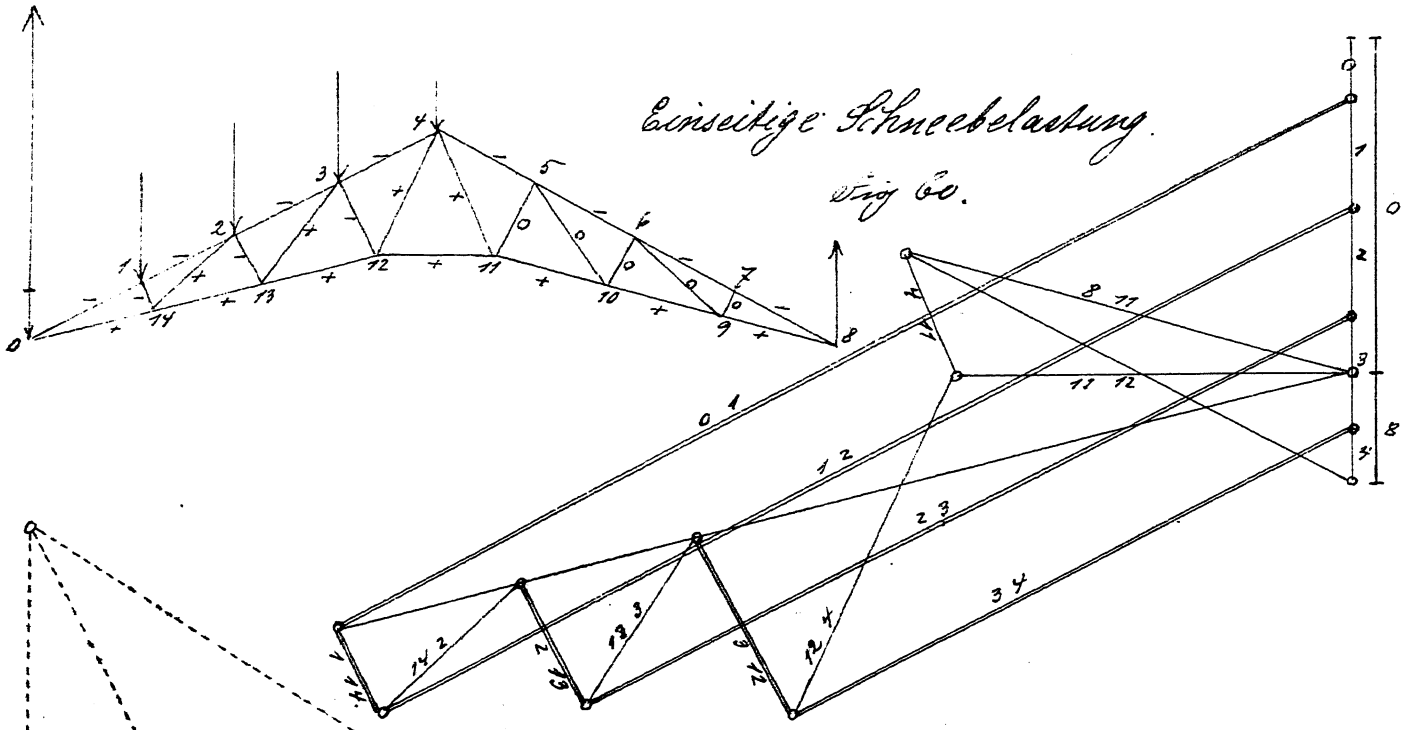


Fig. 59.



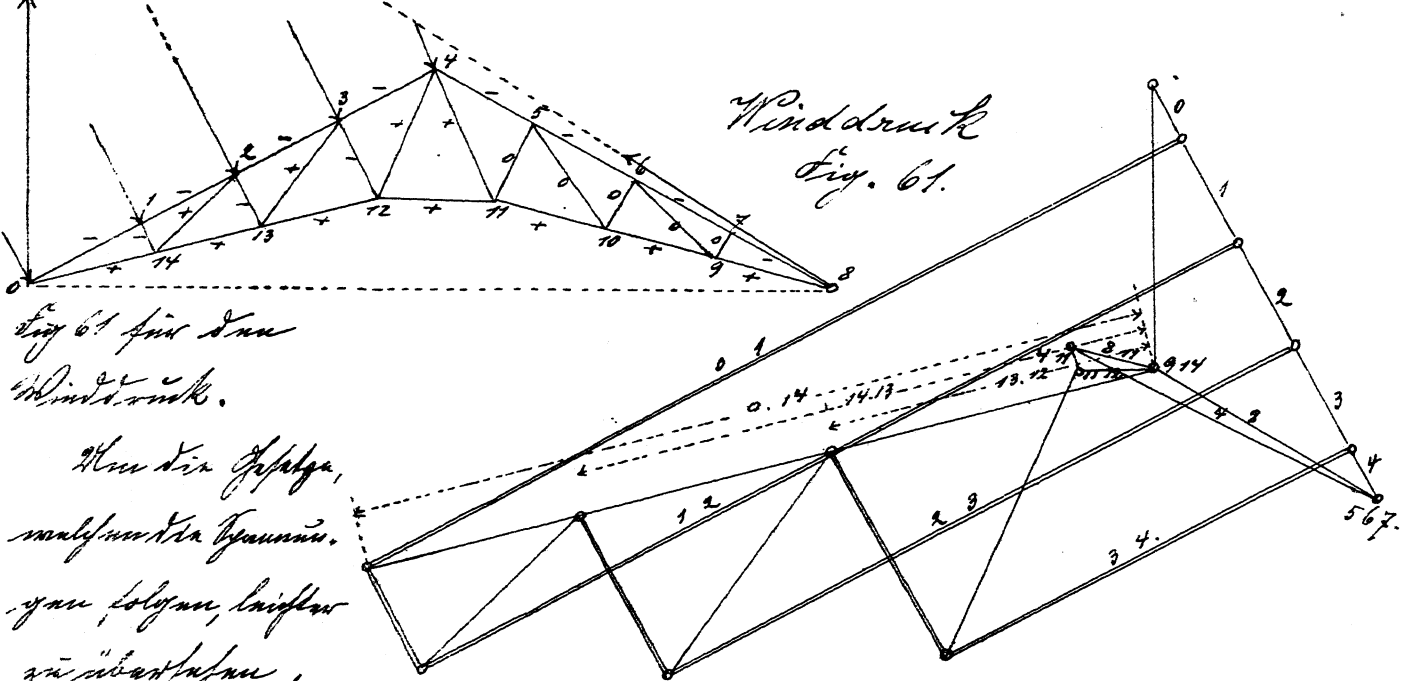
Eigengewicht.





Einseitige Schneebelastung.

Fig. 60.



Winddruck

Fig. 61.

Fig. 61 für den  
Winddruck.

Man die Größe,  
maximale Spannung,  
von Holz, Eisen  
zu übersehen,

mit dem man auf eine Krümmungsflachheit aufmerksam.

1. Totlast gleichmäßig über die Länge, 2. L. Druck der Stützen.  
misch. 3. 4. 5. 6. 7. 8. 9. 10. 11. 12. 13. 14. 15. 16. 17. 18. 19. 20. 21. 22. 23. 24. 25. 26. 27. 28. 29. 30. 31. 32. 33. 34. 35. 36. 37. 38. 39. 40. 41. 42. 43. 44. 45. 46. 47. 48. 49. 50. 51. 52. 53. 54. 55. 56. 57. 58. 59. 60. 61. 62. 63. 64. 65. 66. 67. 68. 69. 70. 71. 72. 73. 74. 75. 76. 77. 78. 79. 80. 81. 82. 83. 84. 85. 86. 87. 88. 89. 90. 91. 92. 93. 94. 95. 96. 97. 98. 99. 100.

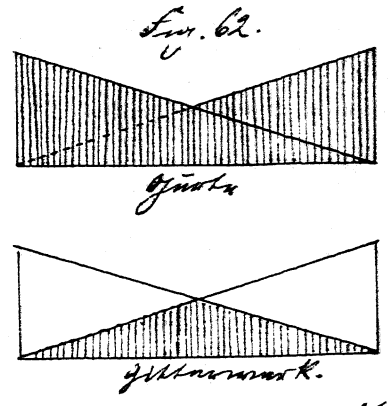
längen gleichsam verhält:  $M = \frac{1}{2} g x (l-x)$ . Ist  $h_1$  die vertikale Höhe der Aufschlag in der Mitte,  $h$  die vertikale Höhe im Halbkreis  $x$  nach Aufschlag, so ist  $h = h_1 \frac{2x}{l}$ . Sind die Kräfte  $F_1$  und  $F_2$  in der Mitte, und die Kräfte  $F_1$  und  $F_2$  in der Mitte, so sind die Kräfte  $F_1$  und  $F_2$  in der Mitte.

$$\begin{cases} F_1 = -\frac{dM}{dx} \sin \alpha = -\frac{1}{4} \frac{gl \sin \alpha}{h_1} (l-x), \\ F_2 = +\frac{dM}{dx} \sin \alpha = +\frac{1}{4} \frac{gl \sin \alpha}{h_1} (l-x), \end{cases}$$

Es sei  $y$  die vertikale Kraft  $y = \frac{d(\frac{dM}{dx})}{dx} h$ , oder, da  $\frac{dM}{dx} = \frac{gl(l-x)}{4h}$  ist,  $y = -\frac{glh}{4h_1} = -\frac{1}{2} gx$ , also ist die Kräfte  $F_1$  und  $F_2$  in der Mitte, und die Kräfte  $F_1$  und  $F_2$  in der Mitte.

$$y = \pm \frac{1}{2} gx \sin \alpha = \pm \frac{1}{4} gl \frac{h}{h_1} \sin \alpha.$$

Die Kräfte  $F_1$  und  $F_2$  in der Mitte, also sind die Kräfte  $F_1$  und  $F_2$  in der Mitte, und die Kräfte  $F_1$  und  $F_2$  in der Mitte.



(Fig. 62)

2. einfachste Belastung der Kräfte in der Mitte, nach der für totale Belastung zum Minimum. Die einfachste Belastung kommt dazu nur für das Gürtelwerk, in Europa.

Ist für die linke Hälfte belastet, und zwar mit  $p$  pro Länge, einfach. Die linke Seite wird  $M = \frac{3}{4} plx - px \cdot \frac{1}{2} x$ , d. h.

$$M = \frac{3}{4} plx - px \cdot \frac{1}{2} x, \quad \frac{dM}{dx} = \frac{pl(3l-2x)}{4h_1},$$

$$y = \frac{d(\frac{dM}{dx})}{dx} h = -\frac{pl}{4h_1} \cdot \frac{2h_1 x}{l} = -\frac{1}{2} px.$$

Die totale Belastung ergibt sich nach dem Obigen ebenfalls  $y = -\frac{1}{2} px$ . Somit ist die Kräfte  $F_1$  und  $F_2$  in der Mitte, und die Kräfte  $F_1$  und  $F_2$  in der Mitte.

In der unbelasteten Gölzta ist im Abstände  $x$  von dem unteren Ende  
 ein Hüfleyer  $M = D \cdot x$ , wenn  $D$  ein Hüfleyerdruck bedeutet, oder  
 $\frac{dM}{dx} = \frac{D \cdot x}{x} = D$ , da  $\frac{dM}{dx}$  konstant ist, so wird  $Y = 0$ . In der  
 unbelasteten Gölzta ist Spannung von Gölzta nicht ohne Bedeutung.

Man kann durch die Betrachtung der unbelasteten Gölzta für  
 solche Belastung vorangehen. Für diese ist, wenn  $g + p = g$  gilt,  
 folgt, wird,

$$F_1 = - \frac{g l \sec \alpha_1 (l-x)}{4 h_1}$$

$$F_2 = + \frac{g l \sec \alpha_2 (l-x)}{4 h_2}$$

$$P = \pm \frac{1}{2} g x \sec \alpha = \pm \frac{1}{4} g l \frac{h_1}{h_2} \sec \alpha.$$

Ist  $\alpha$  die Länge der senkrechten Gölzta, so ist unübertreffend  
 $\alpha = h \sec \alpha$ , also  $P = \frac{g l \alpha}{4 h_1}$ , die Maximalspannung sind Gölzta.  
 Abat ist also unübertreffend seiner Länge proportional.

Es ist ein Hindernis machen die normale Spannung nicht.  
 Aber wollen nicht näher darauf eingehen, sondern nur als Be-  
 spiel an, dass es auf für  $F_1$  und  $F_2$  und  $Y$  durchgehende Linien  
 darstellen lassen.

Die Wirklichkeit ist fast immer der Art, dass die Gölzta  
 mit der Einkerbung, unabhängig von der Form der Gölzta. Will  
 man die Gölzta, so müssen die Gölzta der Art, die  
 die Lage haben. In der 58. Gölzta die Gölzta.  
 die Gölzta, man hat die Einkerbung der Gölzta, die  
 gilt; jedoch machen für die Gölzta nicht möglich zu werden  
 gedrückt.

§ 28 Lichtheiter. Die Gölzta der Gölzta mit Gölzta

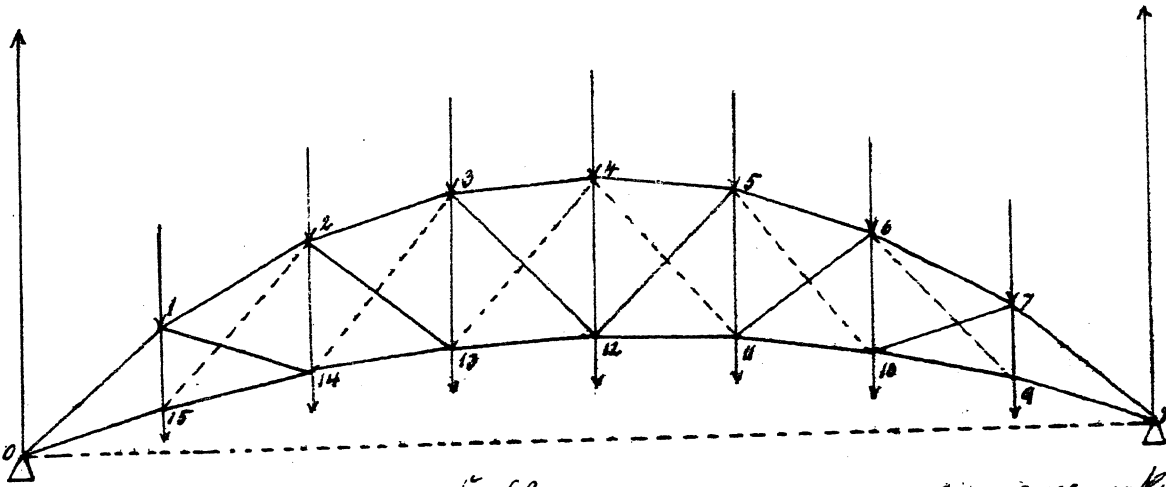
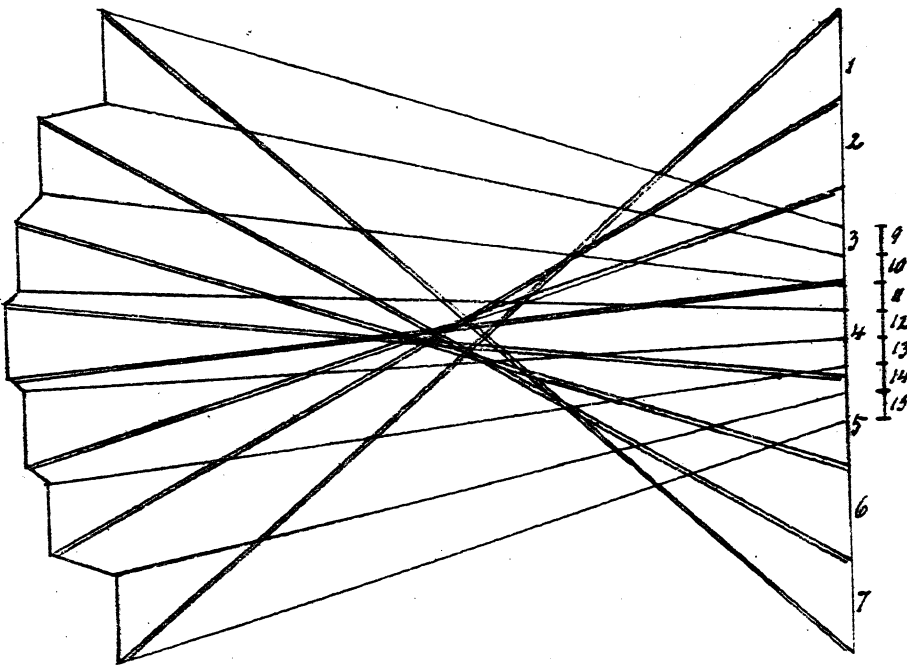


Fig 63.  
Eigengewicht.



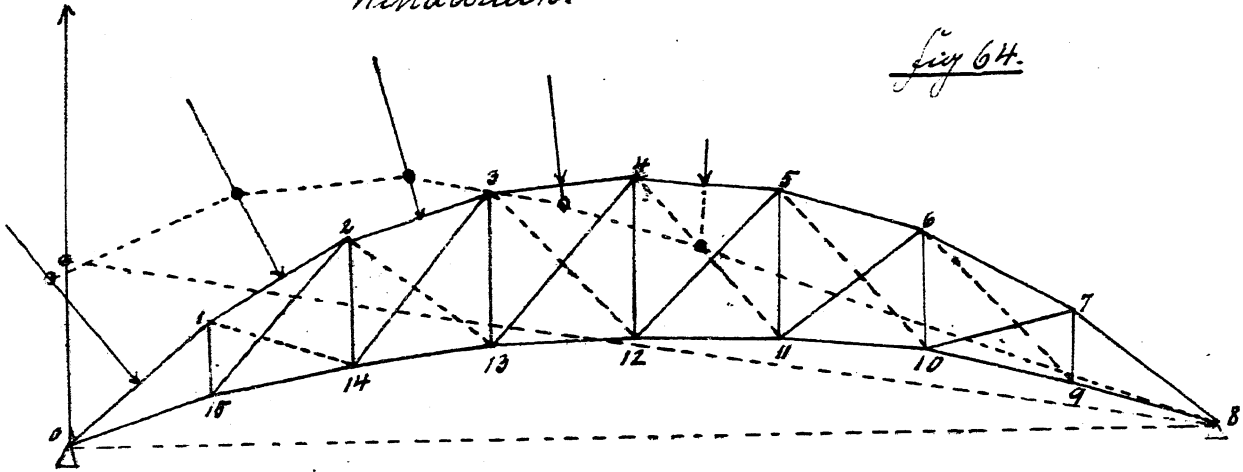
Construction  
 der Gittern mit  
 zwischen liegen  
 dem Gitterwerk.  
 Man man die  
 Gitter, von der  
 nach auf gegeben,  
 parabolisch krumm  
 so sind diese Träger  
 Parabelträger und  
 folgen genau den für  
 diese bereits mit  
 mit kalten Gefügen.

Indes krummt man die Gitter rings kreisförmig. Das  
 Gitterwerk wird sehr verschieden angeordnet, meist als  
 Kreuz mit doppelten Pfeilern dergewöhnlich und Pfeiler  
 Verticulen oder rings dem Obergitter parallel Normen,  
 kann, zinsalen rings als vielfältiges Netzwerk.  
 die größte Bestimmung der Anordnungen nach der

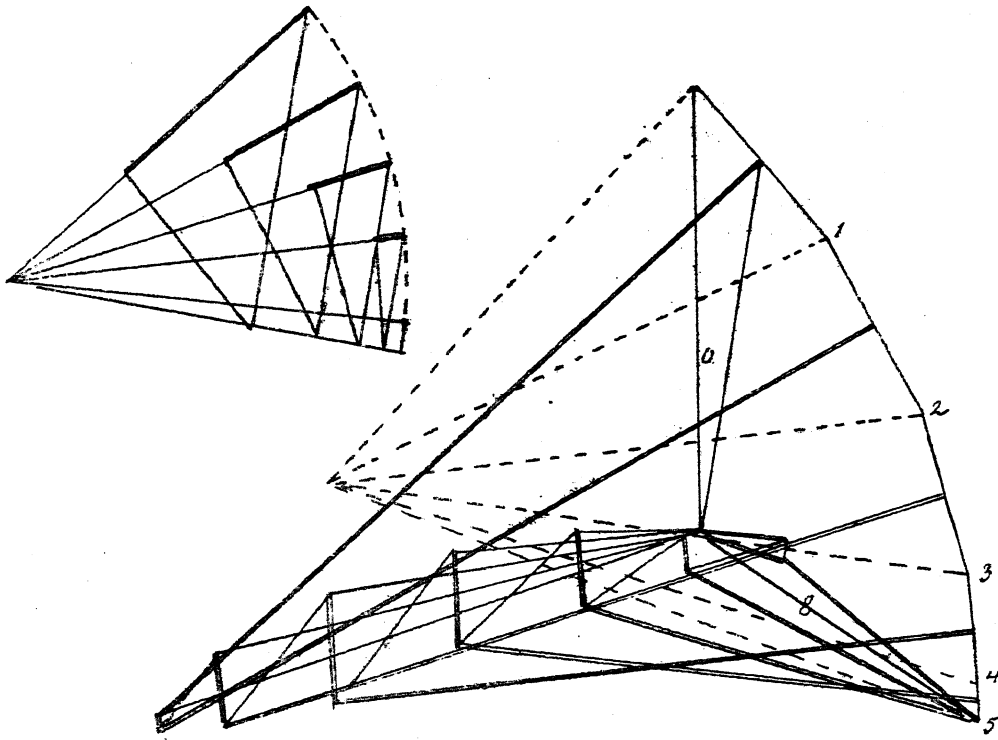
Polynomvermutung ist beispielweise in Fig. 63 für das Logarithm, wie in Fig. 64 für den Winddruck gezeigt. Hierbei sind die yalta flache diagonale angenommen, wodurch immer ein die yuzogara in der Kraft kommt; hingegen diagonale, welche ohne Mittelpunkt ist, ist quadratisch. Form ist angenommen, dass die Eckpunkte der Gitterungen auf Kreisbogen liegen.

Winddruck.

Fig 64.



Construction der Winddrucke.



Wir wollen nun noch, um die Gänge leicht zu besetzen zu können, ein kleines Stück, die Länge, wegen für die wachsenden Tiefen, ganz unbedeutend. Wir setzen die Höhe in der Mitte,

$h_1 = h_2$ , die Höhe im Abstand  $x$  von einem Auflager  $= h$ , die  
 Krümmungsradius  $= l$ ; also kann ich  $h = \frac{4h_1 \cdot x \cdot (l-x)}{l^2}$ .

1. Totale gleichmäßig belastete Längsführung. Ist die Last pro horizontale Längs-  
 zeinheit  $= g$ , so ist das Moment im Abstand  $x$  von der lin-  
 ken Stütze:  $M = \frac{1}{2} \cdot g \cdot x \cdot (l-x)$ . Also ist die Krümmung der Ober- und  
 Unterseite:

$$f_1 = -\frac{M}{n} \cdot \sec b_1 = -\frac{g \cdot l^2}{8h_1} \cdot \sec b_1,$$

$$f_2 = +\frac{M}{n} \cdot \sec b_2 = +\frac{g \cdot l^2}{8h_1} \cdot \sec b_2.$$

Gerade man die Krümmungen beider Seiten von der Mitte  
 nach den Enden hin zu. Jedoch sind diese Krümmungen nahezu  
 constant. Der Krümmungsradius  $Y$  ergibt sich für totale Längsführung  $= 0$ ,  
 so daß das Stützvermögen bei totaler Längsführung unendlich sein  
 Krümmung ist.

2. Einseitige Längsführung. Hier nehmen jetzt an, daß nur die  
 linke Hälfte gleichmäßig belastet ist und zwar mit  $p$  pro hori-  
 zontale Längseinheit. Der linke und rechte Stützdruck ist  
 also  $D = \frac{3}{8} \cdot p \cdot l$ ,  $D_1 = \frac{1}{8} \cdot p \cdot l$ . Für die linke und rechte Hälfte  
 sind also  $M = \frac{3}{8} \cdot p \cdot lx - \frac{1}{2} \cdot p \cdot x^2 = \frac{1}{8} \cdot p \cdot x(3l - 4x)$ ,  $M_1 = \frac{1}{8} \cdot p \cdot l(l-x)$ , daher

$$\frac{M}{n} = \frac{p \cdot l^2(3l-4x)}{32h_1(l-x)}, \quad \frac{M_1}{n} = \frac{p \cdot l^3}{32h_1 x}$$

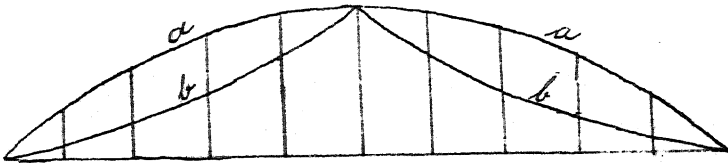
$$\frac{d \frac{M}{n}}{dx} = -\frac{p \cdot l^3}{32h_1(l-x)^2}, \quad \frac{d \frac{M_1}{n}}{dx} = -\frac{p \cdot l^3}{32h_1 x^2}$$

$$Y = \frac{d \frac{M}{n}}{dx} h = -\frac{p \cdot l \cdot x}{8(l-x)}, \quad Y_1 = \frac{d \frac{M_1}{n}}{dx} h = -\frac{p \cdot l(l-x)}{8x}$$

Gerade man  $Y$  und  $Y_1$  in gleichem Abstande von linken  
 und rechten Auflager gleich groß. Die Krümmung einer „Gitter-“  
 Stab wird nun bezüglich  $Y \cdot \sec \alpha$ ,  $Y_1 \cdot \sec \alpha$ , wenn  $\alpha$  der Neigungswinkel  
 mittel der Stäbe gegen die Harkicula bezüglich ist.

für die absolut ungünstigste Belastung, welche bei dem Verlauf eintritt, wenn der Träger vom bezüglichen Firstschnitt nach bis zu einem Ende belastet ist, wird  $Y = \frac{1}{2} p \frac{(l-x)x}{l}$ . Diesem Wert entspricht in Fig. 65 die Linie

Fig. 65.

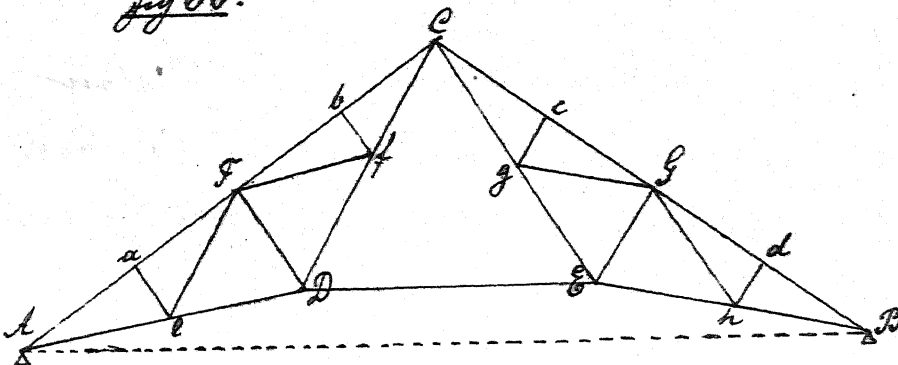


an  $a$ , während die Linie  $b$  der Belastung der Hälfte entspricht. Geringer kann allerdings ein bedeutender

Stützwiderstand in den Laufsperreungen durch beide Belastungsweisen bedingen, und entspricht es deshalb wohl gerather, die Verhältnisse stets abzuwägen wie die Druckentwässer unter der Annahme der absolut günstigsten Belastungsweise zu berechnen. Die Lastenverteilung der Symmetrie für diese Belastungsweise würde ganz wohl der für Druckentwässer unterhaltenen Form entsprechen sein.

§ 29. Der zusammengesetzte Polonceaudachstuhl. Derselbe besteht aus dem einfachen Polonceau, durchgeführte durch Giebelstützen von vier verschiedenen Giebelarten. (Fig. 66) oder durch eine Befestigung von mehreren Füllungsstäben zwischen den Giebeln und den Giebelstützen

Fig. 66.

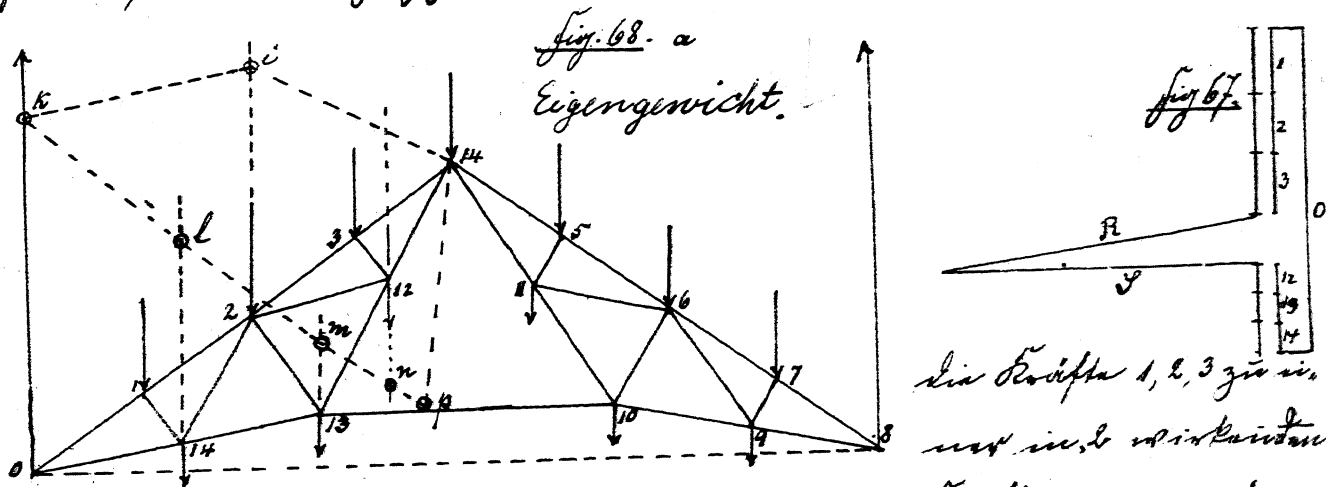


von  $A D C E B$ . In welchem dieser Fällen das für die Symmetrie, oder einzelner Stiele in den Dreiecken  $F D C$

und  $CEG$  nicht direkt bestimmen, weil die Linie für gegebenes  
 Ergebnis mindestens vier Geile treffen. Zuerst wird ab nötig,  
 die Annahme der horizontalen Zugspannung  $DE$  direkt  
 zu bestimmen, indem man eine Linie  $DE$  und  $C$  einen Punkt legt,  
 ist bestimmt, so kann man auch auf alle übrigen Annahmen  
 zu bestimmen, indem man die Linien  $ADC$  und  $BCE$  als äußere Kräfte wirken läßt.

Größt läßt sich die Annahme  $I$  in nachfolgender Weise bestim-  
 men:

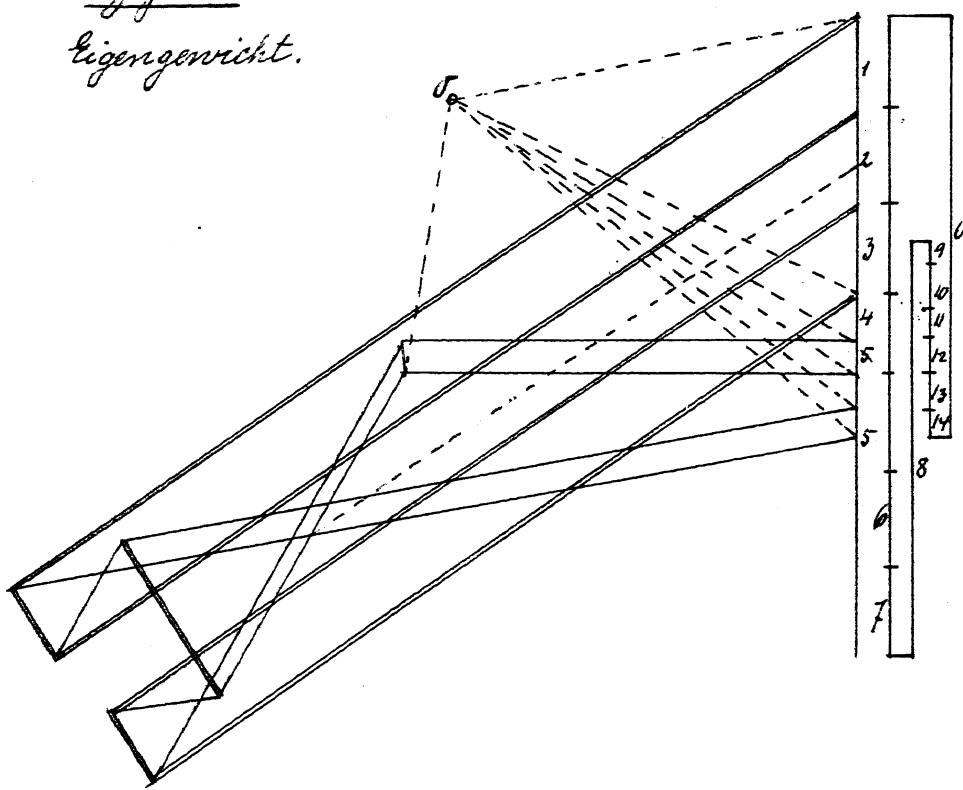
1.) Die Resultante aller auf den Trichterabschnitt  $ACD$  wirk-  
 enden Kräfte, einschließlich  $I$ , muß durch den Punkt  $C$  ge-  
 hen. Es muß sich also für diese Kräfte ein geschlossenes Kräfte-  
 polygon bilden ein geschlossenes Kräftepolygon konstruieren laß-  
 sen. In Fig. 67 sind die Kräfte im Kräftepolygon in der Reihen-  
 folge 1, 2, 3, 0, 14, 13, 12,  $I$ ,  $R$  aneinander gereiht, wobei  $R$  die  
 Reaktion in  $C$  bezeichnet. Für den beliebig angenommenen  
 Pol  $O$  ist das Kräftepolygon  $4 i k l m n p 4$  konstruiert; hierbei sind



die Kräfte 1, 2, 3 zu in-  
 nen, die Kräfte 14, 13, 12  
 Kraft einwärts ge-  
 hakt. Zieht man durch  $O$  zur Resultante  $p4$  eine Gerade,

lure Kraft, so bestimmt die Fallhöhe in P auf der der Kraft I wirkt, so  
 geben die Teilpolygone die Linie zu bestimmenden Kraft I ab. die

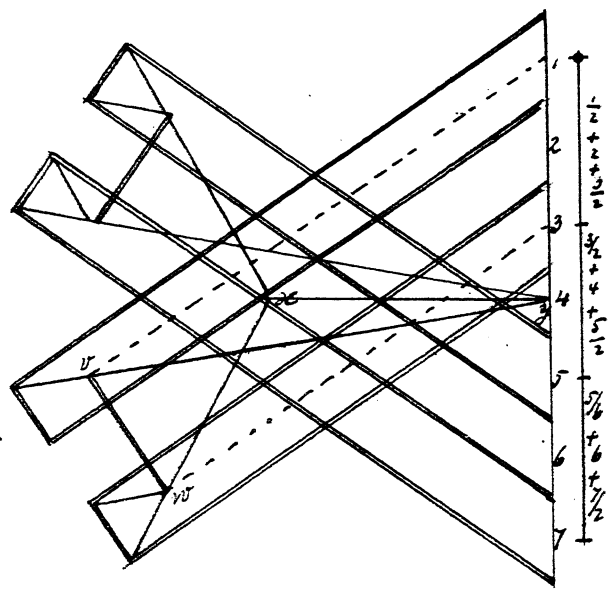
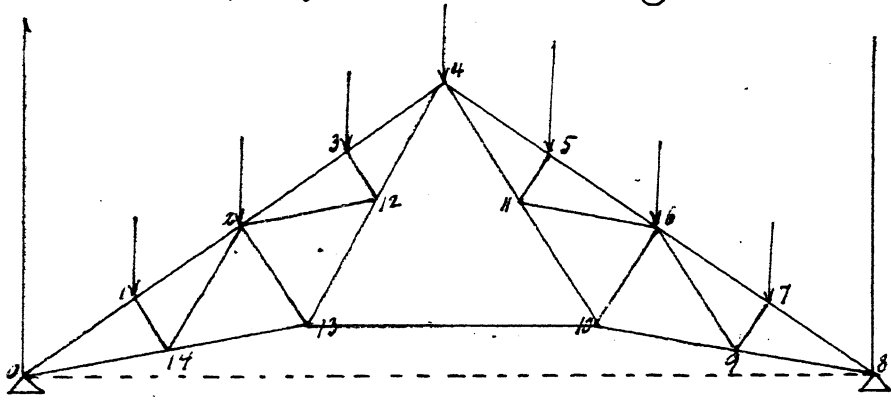
Fig 68. b.  
 Eigengewicht.



Pyramiden  
 der Höhe der  
 Konstruktion  
 Höhe 0413  
 sind nun in  
 Fig. 68 in b,  
 Kurven der  
 so mittels  
 der Folge  
 verbunden  
 nach b,  
 stimmt.

2) Die Pyramide  $I_{\text{ist}} = \frac{M}{h}$ , wenn M der Moment der auf  
Fig 69.

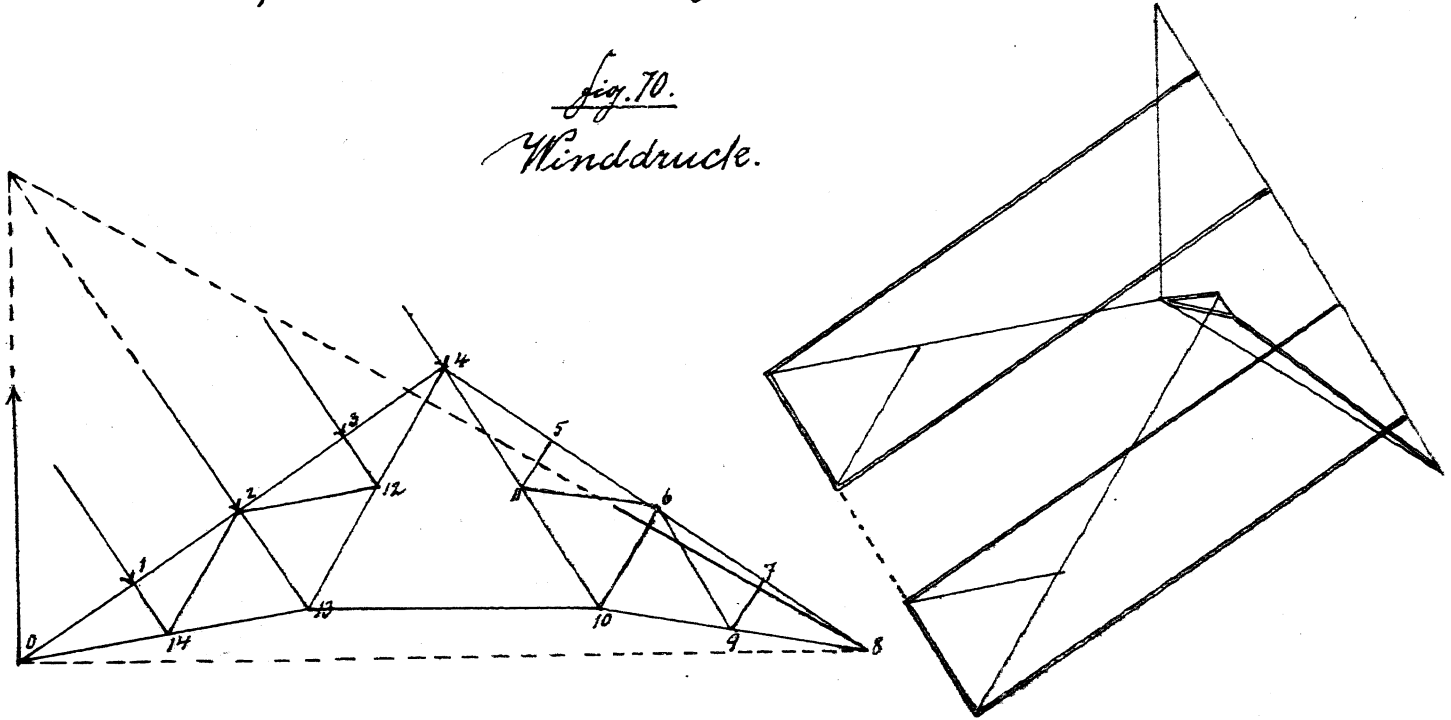
Zufällige totale Belastung.



Der innere Punkt von C ist durch  
 Kräfte und h den Horizontalabstand

Symmetrie von  $DE$  von  $C$  bestimmt. Einfache Regel gilt aber auch  
 für das einfache Polencentrum. Auf. Man kann also 2 gerad aben  
 so construieren, wie beim einfachen Polencentrum auf  
 fig. 53 bis 55. Hierbei wird ab aber notwendig, die in  $a, b, c, d,$   
 $e, f, g, h$  (fig. 66) wirkenden Kräfte so auf die Punkte  $A, B,$   
 des einfachen Polencentrums. Diefes zu machen daß das Moment  
 nicht geändert wird. wenn wird dafür die in  $a, b, c, d$  wir-  
 kenden Kräfte auf die Punkte  $A, F, C, G, B$  machen. In die-  
 ser Weise ist in fig. 69, 70 die Construction durchgeführt. Die  
 punktierten Linien, sowie die Linien  $vw, wx, xy$  gehören  
 dem einfachen Polencentrum an.

Fig. 70.  
 Winddrucke.



3) Man kann auch die secundären Gangwerte ganz für  
 sich bestimmen, wie fig. 71 zeigt und erhalten die gefundenen  
 von Symmetrie zu dem das einfache Polencentrum  
 Kreis hinzufügen. die in  $a, b, c, d, e, f, g, h$  wirkenden Kr.

Fig. 71.

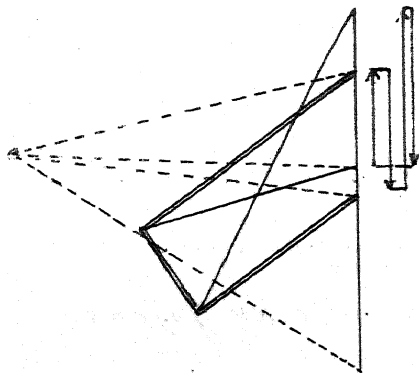
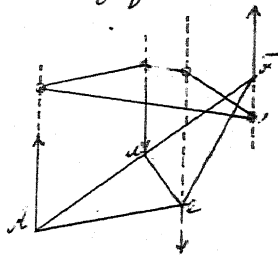
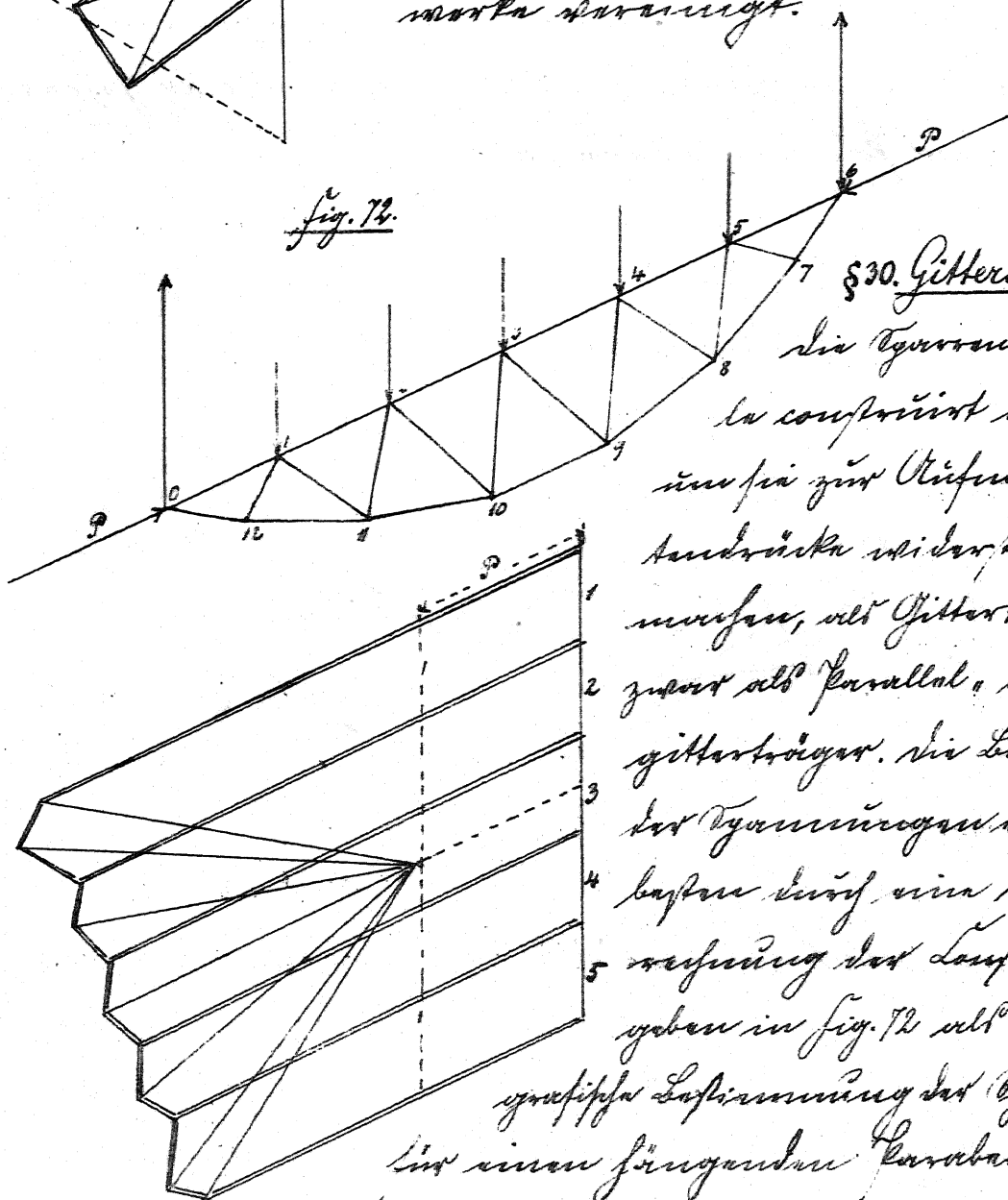


Fig. 72.



Man verzeihet die Notwendigkeit in bekannter  
 Weise zu bestimmen und das sind alle in A  
 und F auf das einfache Poloncarückel zu setzen,  
 die Lasten anzunehmen. Die in Fig. 69 u. 70  
 gemachten Constructionen laufen auf das  
 selbe hinaus. man versteht für die Con-  
 struction für das einfache Poloncarückel  
 das ist für die secundären Gänge  
 nicht anwendbar.

§ 30. Gittersparren.

Die Sparren der Dachstuhl-  
 la construirt man häufig,  
 um sie zur Unterstützung der festeren  
 Stützpunkte wieder fähig zu  
 machen, als Gitterträger und  
 zwar als Parallel- oder Parabel-  
 gitterträger. Die Bestimmung  
 der Sparrenlänge erfolgt für eine  
 bestimmte Zeit eine besondere Be-  
 stimmung der Construction. Hier  
 geben in Fig. 72 als Beispiel die  
 größte Bestimmung der Sparrenlänge  
 für einen fängenden Parabelträger der

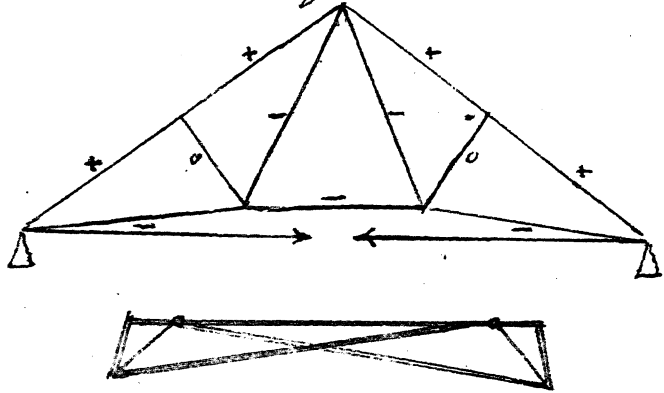
am den fudon in der Länge vnterung nicht künde durch Pflanz das Aufwind  
 lung der ganzen Duffelkugel bekümt. Man verfielt mit das eigene Gefühl,  
 daß die Vermehrung der Untergürtel, sowie der Girkelstöße ganz einse,  
 den sind, als wenn der Äquator nicht verändere wäre, während die  
 Vermehrung der Obergürtel durch die Verkleinerung der Äquatorstöße P um P  
 vergrößert wird

Es wird für die Länge nicht gemessen, sich die Längen von der  
 den Anordnungen der Obergürtel nicht künde zu denken.

S. 31. Einfluss der Temperatur. Aber die freizentale Funktion, welche  
 bei Änderung der Temperatur ausfallen können, werden bereits in S. 24 gesprochen.

Die Bestimmung der Vermehrung, welche mit dieser Funktion erfüllt,  
 aus, ist mit dem dieses Gesetze leicht durchzuführen. Als Beispiel ge-

Fig. 73.



ben wie in Fig. 73 die gewisse Bestim-  
 mung für einen Poloncean-Duffelk.  
 Die resultierenden Vermehrungen sind in jedem  
 Falle positiv, als negativ zu ver-  
 stehen, da bei zunehmender und abneh-  
 mender Temperatur entgegengelegte  
 Vermehrungen ausfallen.

Wenn man gewisse Duffelkugeln und abwärts beim Aufsteigen ausfallen  
 im Gebirge eine Vermehrung durch die freizentale Funktion, in sich in  
 beiden Fällen die Verhältnisse der dem Äquator zugehörigen Gürtel  
 in der Richtung der freizentale Funktion sind. In den Gürteln zeigt  
 sich beim aufsteigen Duffelkugeln eine komplexe, beim Absteigen eine einfache  
 komplexe Vermehrung. Ist das Obere nicht vorhanden, so hat man dieses in der  
 zentale Funktion als Vermehrung aufzuführen.

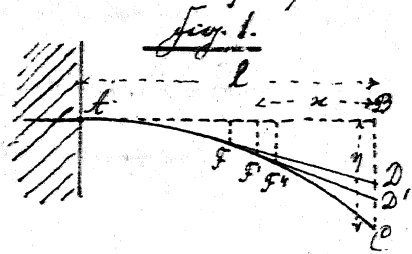
# X. Kapitel.

## Formveränderung statisch bestimmter Träger.

§1. Vollwandige Träger. Die Differentialgleichung der elastischen Linie ist bekanntlich

$$1.) \frac{d^2y}{dx^2} = \frac{M}{E \cdot J},$$

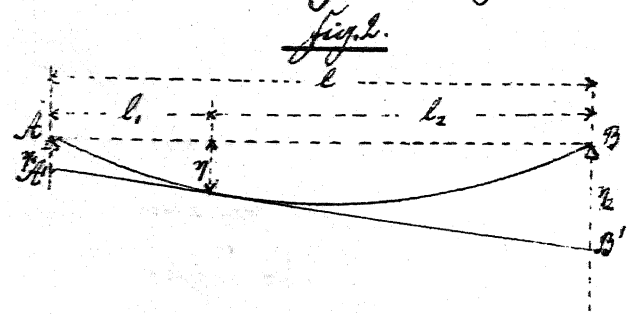
wenn  $M$  das Moment für irgend einen Querschnitt,  $E$  das "Eingefüge",  
 moment des Querschnitts und  $J$  die Flächenträgheitsmoment bezug,  
 auf die durch gewöhnliche Integration erhält man für die Gleichung  
 der elastischen Linie. Einfachster ist und ist im vorliegenden Falle das  
 folgende Verfahren. So sei  $AC$  Fig. 1 die deformierte Lage eines in  $A$   
 horizontal eingespannten Stabes,  $AB$  die ursprüngliche Lage. Die  
 Verlängerungen zweier benachbarten Logarithmiziele in  $AB$   
 sind  $x$  von  $B$ , nämlich  $FF'$ ,  $F'F''$  zwischen die Vertikale  $BC$  in  $D$ ,  
 $D'$ . Bezeichnen wir die Neigungswinkel der Logarithmiziele  
 mit  $\tau$ ,  $\tau'$ , so ist  $DD' = x(\tan \tau' - \tan \tau) = x \cdot d \tan \tau = x \cdot \frac{d^2y}{dx^2} dx = \frac{Mx}{EJ} \cdot dx$ , mit



so die Durchbiegung  $\eta$ , die wir mit  $\eta$  bezeichnen  
 man

$$2.) \eta = \frac{1}{E} \int_0^l \frac{Mx}{J} dx$$

Man erhält diese Gleichung übrigens auch durch  
 vert. und der Gleichung 1.) durch partielle Integration.



Simuliert es sich nicht möglich, die  
 Durchbiegung  $\eta$  eines an beiden  
 Enden frei ruhenden Stabes  
 in einem beliebigen Punkte C zu

bestimmen. Wir lagern in  $C'$  ein Seilgewicht an die horizontale Achse  $AC'B$ , welche die Fundamentale in  $A'$  und  $B'$  schneidet. Dessen von  $A'A' = \eta_1$ ,  $B'B' = \eta_2$  und  $AC = l_1$ ,  $BC = l_2$ , so ist nach der vorigen Formel

$$E\eta_1 = \int_0^{l_1} \frac{Mx_1}{J} dx_1, \quad E\eta_2 = \int_0^{l_2} \frac{Mx_2}{J} dx_2,$$

wann  $x_1$  und  $x_2$  die Abstände sind beliebigen Punkten von  $A$  und  $B$  bezeichnen. Ist die Bückung  $CC' = \eta$ , so ist  $\eta - \eta_1 = \eta_2 - \eta = l_1 : l_2$ , also ist  $\eta = \eta_1 + (\eta_2 - \eta_1) \frac{l_1}{l_2}$  oder

$$3) \quad \eta = \eta_1 \frac{l_2}{l_2} + \eta_2 \frac{l_1}{l_2} \quad \text{oder}$$

$$4) \quad \eta = \frac{l_2}{8l} \int_0^{l_1} \frac{Mx_1}{J} dx_1 + \frac{l_1}{8l} \int_0^{l_2} \frac{Mx_2}{J} dx_2$$

Bei symmetrischer Anordnung ist  $\int_0^{l_1} \frac{Mx_1 dx_1}{J} = \int_0^{l_2} \frac{Mx_2 dx_2}{J}$ , mithin

$$5) \quad \eta = \frac{l_2}{8l} \int_0^{l_1} \frac{Mx_1}{J} dx_1 + \frac{l_1}{8l} \int_0^{l_1} \frac{Mx_1}{J} dx_1$$

für die Bückung  $\eta$  in der Mitte wird  $l_2 = l_1 = \frac{l}{2}$ , mithin

$$6) \quad \eta = \frac{1}{8} \int_0^{\frac{l}{2}} \frac{Mx}{J} dx$$

Trägt man  $\frac{M}{J}$  als Ordinaten auf, so bedeutet  $\int \frac{Mx}{J} dx$  das statische Moment der betreffenden Fläche für diejenige Auflagerverticale,  $l_1$  von welcher aus  $x$  gemessen ist.

Bei gleichmäßiger Belastung mit der Last  $q$  pro Längeneinheit ist  $M = \frac{1}{2} qx(l-x)$ , also

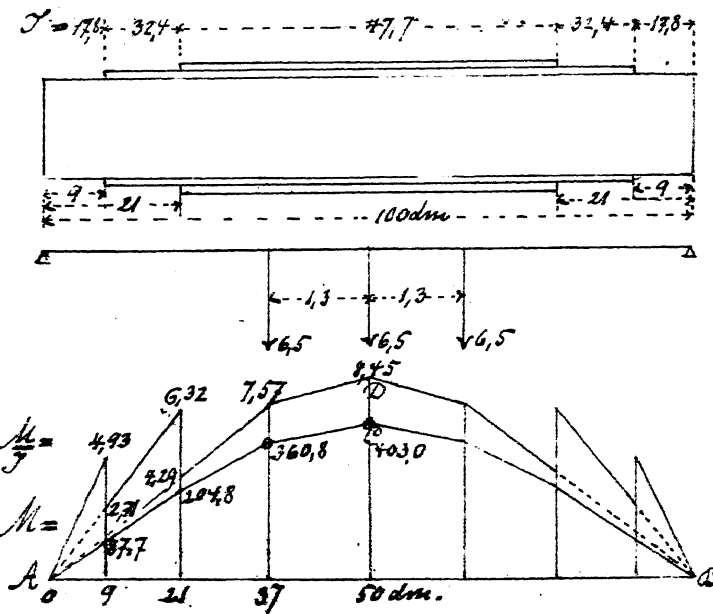
$$7) \quad \eta = \frac{q}{2E} \int_0^{l/2} \frac{x^2(l-x)}{J} dx$$

Bei constantem Querschnitt wird  $\int_0^{l/2} x^2(l-x) dx = \frac{1}{3} l \left(\frac{l}{2}\right)^3 - \frac{1}{4} \left(\frac{l}{2}\right)^4 = \frac{5}{192} l^4$ , also

$$8) \quad \eta = \frac{5q l^4}{384 E J}$$

Beispiel. Ein Lastträger von  $10 \text{ m} = 100 \text{ dm}$  Stützweite hat in den Längen  $9, 12, 58, 12, 9 \text{ dm}$  drei Stützstellenmoment  $J = 17,8; 38,4; 47,7; 32,4; 17,8 \text{ dm}^4$ . Er ist symmetrisch durch eine Locomotive mit drei Achsen von  $6,5 \text{ t}$  Raddruck und  $13 \text{ dm}$  Radstand belastet. wie groß ist die Durchbiegung in der Mitte? Im Längeneinheitsmaß

Fig. 3.



für  $M$  und  $\frac{M}{J}$  durch, welche in der bezüglichen Linienn  $ACB$  und  $A'DB$  (Fig. 3) eingezeichnet sind. Die Lösung der partiellen Momente  $\int \frac{Mx}{J} dx$  der Gürtel der Fläche  $A'DB$  für die Länge  $x$  gefundene Vertikale ergibt  $\int \frac{Mx}{J} dx = \frac{1}{6} [9 \cdot 4,93 \cdot 2,9 + 12 \cdot \{2,71(2,9 + 21) + 6,32(2,21 + 9)\} + 16 \{4,29(2,21 + 37) + 7,57(2,37 + 21)\} + 13 \{4,57(2,37 + 50) + 8,45(2,50 + 37)\}] = 8353 \text{ dm}$ . Nehmen wir

den Elastizitätskoeffizienten  $E$  zu  $2000 t$  pro  $qcm = 200000 t$  pro  $qdm$  an, so wird nach Formel 6:

$$\eta = \frac{8353}{200.000} = 0,042 \text{ dm} = 4,2 \text{ mm}$$

§ 2. Näherungsregeln für constante Höhe. Ist der Träger gleichmäßig belastet und von constantem, symmetrischen Querschnitt, so ist derselbe bei der Höhe  $h$  zu betrachten nach der Gleichung:  $H \cdot I = \frac{1}{8} q l^2 \cdot \frac{1}{2} h$ , wenn  $H$  die zulässige Spannung beziffert. Setzen wir hier nach der Formel  $\frac{q l^2}{J} = \frac{16 H}{l}$ , so erhalten wir

$$9.) \frac{1}{l} = \frac{5}{24} \frac{H}{E \cdot h}$$

Ist der Träger dagegen constant festigkeit, so ist in jedem Querschnitt  $H \cdot I = \frac{1}{2} M h$  oder  $\frac{M}{J} = \frac{2 H}{h}$ . Ist daher nach Formel 6:  $\eta = \frac{2 H}{E h} \int x dx$ , d. i.

$$10.) \frac{\eta}{l} = \frac{1}{4} \frac{H l}{E h}$$

Nach den Formeln 9) und 10) wird man in allen praktischen Fällen

$$1.) \frac{\eta}{\epsilon} = A \cdot \frac{K}{\epsilon} \cdot \frac{l}{h}$$

folgen können, wobei A immer je nach der Construction etwas  
veränderliche Coefficienten bedeutet. Dieser Coefficient ist nach Formel  
9) für gewöhnliche Träger zu  $K_0 = 0,21$  anzunehmen. Für Stahlträger  
liegt A mit Rücksicht auf die nöthige Verstärkung wegen der  
Verwindung durch die Mittelstützen zwischen 0,18 und 0,22, im Mittel ist für

$$12.) \frac{\eta}{\epsilon} = 0,2 \cdot \frac{K}{\epsilon} \cdot \frac{l}{h}$$

Träger nur für kleine Querschnitte  $\epsilon = 0,6 t$  pro qcm, so wird

$$\frac{\eta}{\epsilon} = 0,00006 \frac{l}{h} = \frac{1}{16700} \frac{l}{h}$$

Man sieht hieraus, daß bei gleicher Querschnittsfläche die Durch-  
biegung in demselben Verhältnisse abnimmt, in welchem die  
Trägerhöhe zunimmt.

Gerade selbst wenn die gesammte, von der zufälligen Last und  
von eigengewicht erzeugte Durchbiegung die Durchbiegung  $\eta$  in  
Folge der zufälligen Last ist, also  $\eta = \frac{K_0}{K} \eta$ , wenn  $K_0$  das Mo-  
mentmoment, welches in Folge der zufälligen Last,  $K$  das Mo-  
mentmoment, welches in Folge der gesammten Lastwirkung  
erzeugt wird. Bei gleichzeitiger Lastung wird  $\eta = \frac{K_0}{K} \eta$ , wenn  $K_0$   
die zufällige Last pro Längeneinheit bezeichnet.

Wendet man in bekannter Weise zwei besondere Coefficienten,  
 $K_0$  und  $K_1$  für Eigengewicht und zufällige Last an, und sind  $K_0$   
 $K_1$  die Momentenmomente für das eigengewicht und die zufäl-  
lige Last, so ist  $\frac{\eta}{h} = \frac{K_0}{K_0} + \frac{K_1}{K_1} = \frac{K_0 + K_1}{K}$ , also

$$13.) K = \frac{(K_0 + K_1) K_0 K_1}{K_0 K_1 + K_1 K_0} = \frac{(q + p) \cdot K_0 K_1}{q \cdot K_1 + p \cdot K_0}$$

zu setzen.

### §3. Geometrische Construction der Gleichung der Balken für vertikale Belastung

$$\frac{d^2y}{dx^2} = \frac{q}{K}$$

man  $q$  die Last pro Längeneinheit,  $K$  die constante Horizontalspannung,  $y$  die Auslenkung bezeichnet. Der Vergleich mit der Gleichung 1.) zeigt

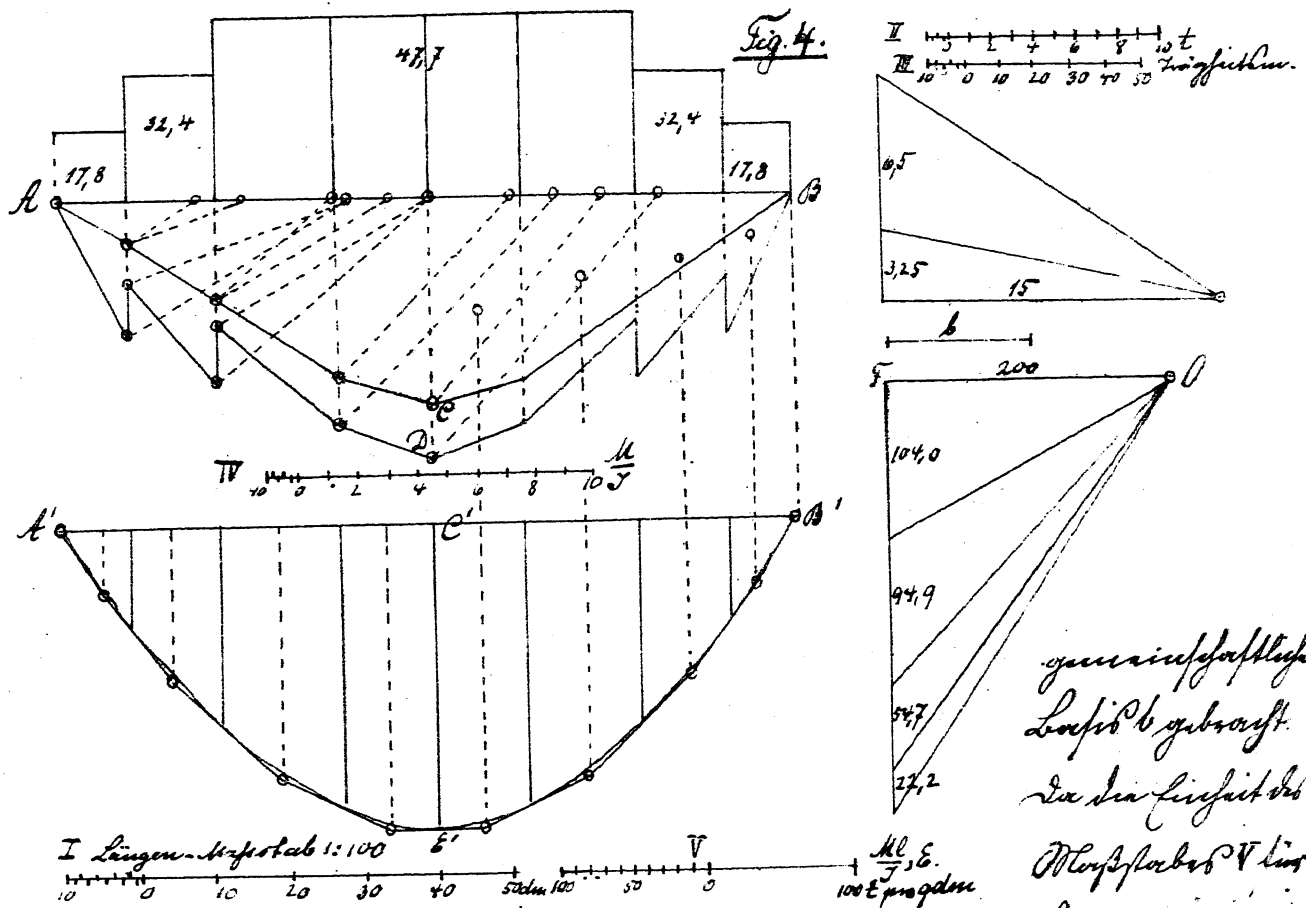
dass die elastische Linie als eine Balkenlinie zu betrachten ist, wenn man die Größe  $\frac{M}{J}$  als Last  $q$  pro Längeneinheit und den Elastizitätscoefficienten  $E$  als Horizontalspannung auffasst.

Ist der Querschnitt, also  $J$  constant, so kann man auch das Moment  $M$  als Last pro Längeneinheit und  $EJ$  als Horizontalspannung auffassen.

Die für die Construction der Balken gültigen Regeln sind für jeden Abstand in Anwendung zu bringen.

Bei constantem Querschnitt läßt sich  $M$  durch die Construction des Biegelaggers für die gegebenen Belastung bestimmen. Der veränderliche Querschnitt ist nach der Division durch  $J$  vorzunehmen, die daraus resultierende Kurve oder ebenfalls durch Construction erhaltbar.

Beispiel. Das in §1. durch Rechnung gelöste Beispiel ist in Fig. 78 gegeben. Längenausmaß I des der vert. Last des Biegelaggers  $A B$  ist mit dem Stützmaßstab II comprimir. Maßstab III = 15 t. Also  $\frac{M}{J}$  zu comprimir, wobei  $ad = af = J$  gemessen,  $ae$  gleich einer Tangente an  $a$  und  $ec$  parallel  $bd$  gezogen, alsdann ist  $ac = ab \cdot \frac{ae}{ad} = \frac{M}{K_0} \cdot \frac{a}{J}$ . Da  $K_0 = 15 t$  (Maßstab II),  $a = 60$  Fuß des Maßstabes III für die Stützweite, wenn es gegeben ist, so muß die fünfte des Maßstabes IV für  $\frac{M}{J} = \frac{60}{15} = 4$  Fuß des Längenausmaßes I gewählt werden,  $ac$  gibt also dann, mit dem Maßstab IV gemessen,  $\frac{M}{J}$ . Die in jedem Theil der Länge  $A B$  während der Reduktion, nach einer



geradeausgeflecht  
 Laufst b gebrochen.  
 da die Längsachse des  
 Maßstabes V hier  
 10000 pro qdm

=  $\frac{1}{20}$  der Längsachse des Maßstabes IV gemäht ist, so muß  $b = 20$  Längsachse des  
 Längsmaßstabes gemäht werden.

Für das zu konstruierende Teilpolygon  $A'E'B'$  mußte die Polstelle  $O$   
 $OF = 200000$  (nach Maßstab V) angenommen werden, wenn die  
 Längen in natürlicher Größe aufgetragen wären; da aber die Längen  
 genau  $\frac{1}{100}$  nat. Gr. aufgetragen sind, so wird  $OF$  nur = 2000 zu wählen  
 sein, damit die Konstruktion in natürlicher Größe aufzuzeichnen

Wir setzen nicht  $OF$  nur = 200 angenommen, weil  
 das als Grundlinie die Konstruktion zusetzen vergrößert. Die  
 Länge  $CE'$  des Teilpolygons ergab sich zu 42 mm, die Durchmesser  
 gering der schon in §1 erwähnten Blattträger ist also in der  
 Platte  $\frac{42}{10} = 4,2$  mm.

§ 4. Formveränderung eines Gitterträgers. Zur Bestimmung der  
 Verformung eines beliebig gebildeten Gitterträgers führt man  
 einpaar die von Mohr angegebenen, auf dem Prinzip der  
 Arbeit beruhenden Methoden, auf welche man durch folgende Be-  
 handlung geführt wird. Druckt man sich zunächst sämtliche Ver-  
 formungsphänomene, mit Ausnahme des einzigen  $\Delta l$  als vollständig hervor  
 und in einem beliebigen Punkte  $C$  eine Last  $G$  an,  
 so wird dieselbe im Punkt  $A, B$  eine Verschiebung  $s$  erzwin-  
 gen, welche sich in bekannter Weise durch Rechnung oder graphi-  
 sche Konstruktion bestimmen lässt. Sind eine unendlich kleine  
 Längenänderung  $\Delta l$  des Trägers  $A, B$  durch die Punkte  $C$  und  $D$ .  
 Druckt man sich nun den Fall  $A, B$  betrachtet und stellt dann in  
 den Punkten  $A$  und  $B$  die gleichen, aber entgegengesetzten Kräfte  
 $H$  an, so sind die Kräfte  $\pm s$ ,  $G$  und die Auflagerreaktionen  
 die einzigen, die auf den Träger wirken; da die letzteren kei-  
 ne Arbeit verrichten, so ist nach dem Prinzip der Arbeit  $s \Delta l =$   
 $G \Delta y$ . Druckt man sich jetzt stellt der unendlich kleinen Größen  
 $\Delta l$  und  $\Delta y$  die endlichen, aber sehr kleinen Größen  $\Delta l$  und  $\Delta y$ , so  
 ist unbedenklich, indem fast genau  $s \cdot \Delta l = G \cdot \Delta y$ , also  $\Delta y = \frac{s}{G} \cdot \Delta l$ . Hier,  
 sind also die Punkte  $C$  bestimmt, welche durch  
 die Längenänderung  $\Delta l$  des Trägers  $A, B$  entsteht. Die, groß man  
 sieher genommen, ist gleichgültig; setzt man  $G = 1$ , so wird einfach  

$$\Delta y = s \cdot \Delta l.$$

Bestimmt man nun in gleicher Weise die Verschiebungen  $s_1,$   
 $s_2, s_3, \dots$ , welche eine in Punkte  $C$  wirkende, der Einheit  
 gleiche Last in sämtlichen Höhen, und welche der Träger bestreift,

erzeugt, und bestimmt, man ferner die Längenänderungen  $\Delta l_1, \Delta l_2, \dots$ , welche diese Stäbe unter der Wirkung irgend einer beliebigen, ungenommener Belastung annehmen, so wird jetzt offenbar die Biegung des Punktes  $C$

$$14.) y = s_1 \cdot \Delta l_1 + s_2 \cdot \Delta l_2 + \dots$$

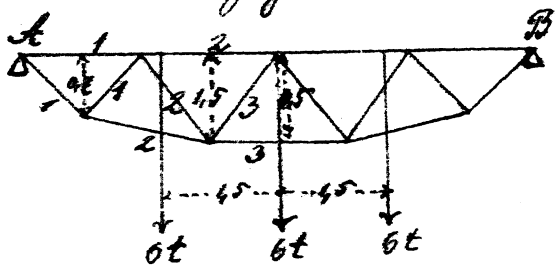
Man erhält also die Biegung  $y$  eines beliebigen Punktes  $C$ , wenn man die Längenänderung aller einzelnen Stäbe mit denjenigen Spannungen multipliziert, welche in dem Punkte  $C$  wirkende, der Seite gleiche Last in diesen Stäben erzeugt und fürwählige  $f_1, f_2$  etc. addiert.

Diese Methode ist für alle Träger, einfache und kontinuierliche Balkenträger, Gürtelträger und Pyramidenstützen gültig.

Betrachtet man die Spannungen, welche durch diejenige Belastung, für welche die Durchbiegung bestimmt werden soll, in den einzelnen Stäben erzeugt wird, mit  $S_1, S_2, \dots$  die Länge der Stäbe mit  $l_1, l_2, \dots$ , die Querschnitte mit  $f_1, f_2, \dots$ , so ist bei gleichem Elastizitätscoefficienten  $E: \Delta l_1 = \frac{S_1 l_1}{f_1 E}, \Delta l_2 = \frac{S_2 l_2}{f_2 E}, \dots$ , mithin

$$15.) y = \frac{1}{E} \left[ \frac{S_1 l_1 s_1}{f_1} + \frac{S_2 l_2 s_2}{f_2} + \frac{S_3 l_3 s_3}{f_3} + \dots \right].$$

1. Beispiel. Welche Durchbiegung in der Mitte erleidet ein fünfstäbiger nach Fig. 5 mit 8 m Spannweite, dessen Stütz- und Stützpunktquerschnitte bezüglich 0,30 und 0,18 dm<sup>2</sup> sind, durch drei in 4,5 m Abstand voneinander befindliche Lasten von 5 Ton.



man? So sind die Spannungen  $s_1, s_2, \dots$  zu bestimmen, welche eine in der Mitte  $C$  liegende Last  $1$  erzeugt und die Pyram.

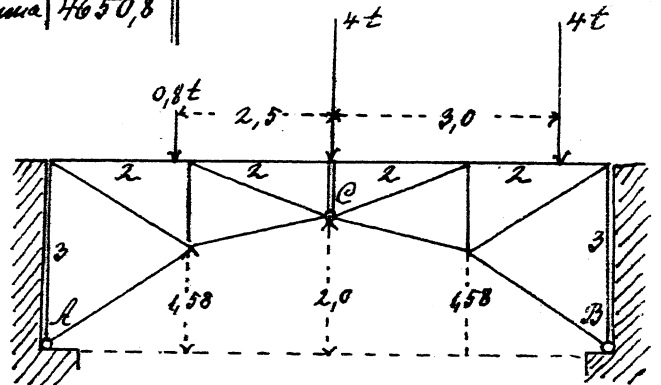
mengen  $S_1, S_2$ , welche durch gegebene wirkliche Lastensysteme erzeugt. Beide Lastensysteme erfolgen nach der bekannten Theorie der Pfostenbrücken mit polygonalen Pfosten. Die Resultate sind in folgender Tabelle zusammengefasst:

Träger	Höhe m	Querschnitt q dm	Leite, g dm	$\frac{\lambda}{l}$	Spann- mengen t	Spann- mengen t	$\frac{s.d.f}{l}$
Oberer Träger	1	0,30	20,0	66,7	-0,714	-12,86	612,4
	2	0,30	20,0	66,7	-1,000	-16,00	1067,1
Mittlerer Träger	1	0,30	12,2	40,7	+0,871	+15,69	556,5
	2	0,30	21,5	7,17	+0,979	+16,71	1173,0
	3	0,30	10,0	33,3	+1,333	+18,00	799,0
Unterer Träger	1	0,18	12,2	67,8	-0,239	-4,27	69,2
	2	0,18	18,0	100,0	+0,165	+2,94	48,5
	3	0,18	18,0	100,0	-0,601	-5,41	325,1
Summe							4650,8

Da die Pünne nur für denselben Träger berechnet wurde, so wird für den ganzen Träger  $\sum \frac{s.d.f}{l} = 2.4650,8 = 9302$ ; nehmen wir  $E = 200000 \text{ t pro q dm}$  an, so wird  $y = \frac{9302}{200000} = 0,047 \text{ dm} = 4,7 \text{ mm}$ .

Fig. 6.

2. Beispiel. Ein Bogenträger nach Fig. 6 mit den in der folgenden Tabelle angegebenen Querschnitten ist nach Fig. 6 durch drei Lasten von 0,8, 4, 4 Tonnern belastet.



welche horizontal, und horizontalverförmig verläuft der Pfosten C? Die Größen  $s$  sind für die horizontalverförmig, die Spann-  
mengen, welche sich in C wirkende horizontalverförmig, für die horizontal-  
verförmig & dagegen die Spann-  
mengen, welche sich in C wirkende horizontalverförmig erzeugt. Die Resultate der Ref.

Wichtig sind in folgender Tabelle zusammengefasst:

Zeil	Anw. m	Lini. g d	Öffn. f	$\frac{\lambda}{f}$	Korre. m	s.d.S f	Horizontale Läng $\eta$		Horizontale Läng $\xi$	
							s	s.d.S f	s	s.d.S f
Chargiert	1	20,0	0,15	133	+1,740	+231	+0,408	+94,2	+0,204	+47,1
	2	20,0	0,15	133	0	0	+0	0	0	0
	3	20,0	0,15	133	0	0	0	0	0	0
	4	20,0	0,15	133	+0,754	+100	+0,408	+40,8	-0,204	+20,4
Umbau	1	25,5	0,25	102	-6,758	-689	-1,275	+878,5	-0,638	+439,6
	2	20,4	0,25	82	-7,196	-590	-1,439	+849,0	-0,720	+424,8
	3	20,4	0,25	82	-2,188	-129	-1,439	+257,6	+0,720	-128,9
	4	25,5	0,25	102	-6,758	-689	-1,275	+878,5	+0,638	-439,6
Horizontale	0	30,0	0,20	150	-0,490	-74	+0,290	-21,5	-0,145	+10,7
	1	14,2	0,15	95	-1,470	-140	-0,204	+28,6	-0,102	+14,3
	2	10,0	0,10	100	-2,000	-200	0	0	0	0
	3	10,0	0,10	100	-2,000	-200	0	0	0	0
	4	14,2	0,15	95	-2,374	-226	-0,204	+46,1	+0,102	-20,1
5	30,0	0,20	150	-1,736	-160	+0,290	-75,4	-0,145	-37,7	
Läng	1	24,5	0,20	123	-2,136	-263	-0,500	+131,5	-0,250	+65,8
	2	22,4	0,10	224	+1,952	+437	+0,457	+199,7	+0,229	+100,0
	3	22,4	0,10	224	+0,854	+191	+0,457	+87,3	-0,229	-43,7
	4	24,5	0,20	123	-0,934	-115	-0,500	+57,5	+0,250	-28,8
Summa								+3452		+421

Daraus sind nun, wenn wir wieder  $\xi = 200000 \pm$  pro g d m folgen:

$$\eta = \frac{3452}{200000} = 0,01726 \text{ dm} = 1,7 \text{ mm},$$

$$\xi = \frac{421}{200000} = 0,002105 \text{ dm} = 0,2 \text{ mm}.$$

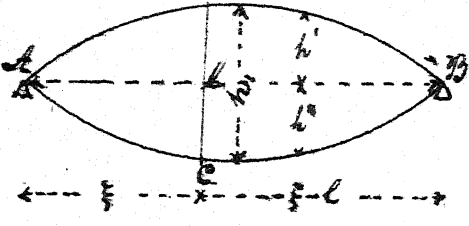
Bei Kurvenänderungen auf speciellen Trägerformen ergaben sich hier einfache Lösungen nur beim Parabel- und Parabolträger.

§5. Anwendung auf den Parabelträger. Hier wollen wir den Verlauf einer totalen gleichmäßigen Belastung untersuchen. Das Gitterwerk ist hier wegen seiner Symmetrie, also auch auf die Bückung einer Seite. Die relative Längenänderung der Gitter ist, wenn man den Querschnitt proportional der Maximalform, richtig gewählt hat, constant und genau  $= \frac{H}{E} \cdot \frac{p}{4}$ , wenn  $H$  die zu lössige Gewichtszunahme,  $q$  die Gitterkraft,  $p$  die zufällige Last, für welche die Durchbiegung bestimmt werden soll, zur Längenspannung bezichnet.

Annimmt es sich nun um die Bückung eines beliebigen Punktes  $C$  im Abstand  $\xi$  von der linken Stütze, so ist, wenn man sich die  $C$  die Last  $p$  wirkend denkt und die Bückung der Last, und Druckwinkel mit  $\sigma, \tau$  bezichnet, der links und rechts stehende Winkel  $\frac{l-\xi}{2}$  und  $\frac{\xi}{2}$ , also für einen links von  $C$  liegenden Punkt der Druckwinkel  $\sigma = \frac{(l-\xi) \cdot \alpha}{2h} \cdot \sec \sigma$ , für einen rechts von  $C$  liegenden Punkt  $\tau = \frac{\xi \cdot (l-\alpha)}{2h} \cdot \sec \tau$ . Setzen wir  $h = 4h_1 \cdot \frac{\alpha(l-\alpha)}{l^2}$ , so erhalten wir bezüglich

Fig. 6.

$$\sigma = \frac{l(l-\xi) \sec \sigma}{4h_1(l-\alpha)}, \quad \tau = \frac{l \cdot \xi \cdot \sec \tau}{4h_1 \alpha}$$



für den Druckwinkel ist  $\tau$  für  $\sigma$  zu setzen. Die Länge der Gitter muß die Länge  $dx$  der Ober ist  $dx \cdot \sec \sigma, dx \cdot \sec \tau$ , mithin wird  $\eta = \frac{H \cdot p \cdot l}{4q \cdot E \cdot h_1} \left[ (l-\xi) \int_0^{\xi} \frac{\sec \sigma + \sec \tau}{l-\alpha} dx + \xi \int_{\xi}^l \frac{\sec \sigma + \sec \tau}{\alpha} dx \right]$

die Größe  $\sec \sigma + \sec \tau$  liegt zwischen den äußeren Grenzen  $2, 0$  und  $2, 31$ . Wenn man  $\sec \sigma + \sec \tau$  constant  $= 2$  annimmt, so wird

$$\eta = \frac{H \cdot p \cdot l}{4 \cdot E \cdot q \cdot h_1} \left[ (l - \xi) \int_0^{\xi} \frac{dx}{l - x} + \xi \int_{\xi}^l \frac{dx}{x} \right], \text{ d. i.}$$

$$16.) \eta = \frac{H \cdot p \cdot l}{2 \cdot E \cdot q \cdot h_1} \cdot \left[ (l - \xi) \ln \frac{l}{l - \xi} + \xi \ln \frac{l}{\xi} \right]$$

Für die Bückung in der Mitte wird  $\eta = \frac{H \cdot p \cdot l^2}{2 \cdot E \cdot q \cdot h_1} \ln 2$ , d. i.

$$17.) \eta = 0,3465 \cdot \frac{H \cdot p \cdot l^2}{E \cdot q \cdot h_1}$$

Mit Rücksicht auf die Krümmung der Stäbe wird  $\eta$  etwas größer, etwa um 1,1 mal so groß. Wegen der mit gewöhnlichen Grundrissen möglichen Verflachung wird  $\eta$  wieder kleiner, und zwar 0,8 bis 0,9 mal so groß, so daß wir etwa

$$18.) \eta = 0,32 \cdot \frac{H \cdot p \cdot l^2}{E \cdot q \cdot h_1}$$

setzen können.

§ 6. Näherungsregeln für Parallelgitterträger. Hier wollen die aufgestellten gewöhnlichen Regeln noch zur Aufstellung von möglichst einfachen Näherungsregeln für die Bückung  $\eta$  der Mitte des Trägers verwendet werden.

a. Träger von constanten Festigkeit. Hier wollen zunächst nur, wie schon, daß die Querschnitte sämtlich den Torsionen bei totaler Belastung proportional seien; in diesem Falle sind die sämtlichen relativen Längsänderungen dem absoluten Werte nach einander gleich und zwar  $= \pm \frac{H}{E}$ ; wenn  $H$  die Zug- oder Druckkraft großartig einwirkt,  $E$  den Elastizitätskoeffizienten bezieht. Wirkt in der Mitte die Last  $P$ , so ist der Pfeilbruch  $= \frac{1}{2}$ , also die Torsion im Abstand  $x$  vom Pfeil  $= \frac{1}{2} \cdot \frac{x}{h}$ ; die Torsion wird nicht nur  $\alpha$  und  $\beta$  gegen die horizontale geneigten Gitterstäbe  $+ \frac{1}{2} \sec \alpha$ ,  $- \frac{1}{2} \sec \beta$ . Die Längsänderung der Stäbe bewirkt nach Formel (14) die Bückung:

$$\eta_1 = 2 \int_0^{\frac{1}{2}l} \left[ \frac{1}{2} \frac{x}{h} \frac{K}{\varepsilon} dx - \frac{1}{2} \frac{x}{h} \left( -\frac{K}{\varepsilon} \right) dx \right] = \frac{2K}{\varepsilon h} \int_0^{\frac{1}{2}l} x dx = \frac{K \cdot l^2}{4\varepsilon h}$$
 Die Längenerhöhung je Zentimeter unter  $\alpha$  und  $\beta$  gemäßigter Gitterstäbe bei nicht nach Formel 14) die Bückung  $\frac{1}{2} \sec \alpha \cdot \frac{K}{\varepsilon} \cdot h \sec \alpha - \frac{1}{2} \sec \beta \left( -\frac{K}{\varepsilon} \right) h \sec \beta = \frac{K h}{2\varepsilon} (\sec^2 \alpha + \sec^2 \beta)$ . Da die Bückung dieser Form von Gitterstäben  $= \frac{l}{h(\lg \alpha + \lg \beta)}$  ist, so ist die Gesamtheit von den Gitterstäben hervorgerufenen Bückung  $\eta_2 = \frac{K \cdot l}{2\varepsilon} \cdot \frac{\sec^2 \alpha + \sec^2 \beta}{\lg \alpha + \lg \beta}$ . Die Gesamterhöhung  $\eta$  ist ferner:

$$19.) \eta = \frac{K \cdot l}{4\varepsilon} \left( \frac{l}{h} + 2 \cdot \frac{\sec^2 \alpha + \sec^2 \beta}{\lg \alpha + \lg \beta} \right),$$

oder, wenn man den Maximalquerschnitt  $f$  eines Stützes  $= \frac{q l^2}{8 K h}$  und die Maximalquerschnitte  $f' = \frac{q \cdot l \cdot \sec \alpha}{2 K}$ ,  $f'' = \frac{q \cdot l \cdot \sec \beta}{2 K}$  der Gitterstäbe einführt, worin  $q$  die Belastung (Eigengewicht und zufällige Last) pro Längeneinheit ist, und die Querschnittsumme  $h(\lg \alpha + \lg \beta) = a$  setzt:

$$20.) \eta = \frac{q \cdot l^4}{32 \varepsilon h^2 f} + \frac{q \cdot l^2 \cdot h}{4 \varepsilon a} \left( \frac{\sec^2 \alpha}{f'} + \frac{\sec^2 \beta}{f''} \right).$$

Logisch ist man die quadratischen Volumina der Stütze und der Gitterstäbe mit  $V_1$  und  $V_2$ , so ergibt sich

$$V_1 = \frac{q l^3}{8 K h}, \quad V_2 = \frac{q l^2}{4 K} \cdot \frac{\sec \alpha + \sec \beta}{\lg \alpha + \lg \beta};$$

ferner gilt die Formel über in

$$21.) \eta = \frac{K^2}{2 \varepsilon q l} (3 V_1 + 4 V_2).$$

Da  $V_2 = 0,30 V_1$  bis  $0,56 V_1$  ist, so wird  $\eta$  durch den Gitterwerk im 40 bis 75% vergrößert.

b.) Träger mit constanten Querschnitten. Es sei jeder Stütz von constanten Querschnitt  $f = \frac{q \cdot l^2}{8 K h}$  und die Gitterstäbe die constanten Querschnitte  $f' = \frac{q \cdot l \cdot \sec \alpha}{2 K}$ ,  $f'' = \frac{q \cdot l \cdot \sec \beta}{2 K}$ , so ist die relative Längenerhöhung des Stützes  $= \frac{q x (l-x)}{2 \varepsilon h f} = \frac{4 K x (l-x)}{\varepsilon l^2}$ , daher wird für

$$\eta = 2 \int_0^{\frac{1}{2}l} \left[ 2 \cdot \frac{1}{2} \cdot \frac{x}{h} \frac{4 K x (l-x)}{\varepsilon l^2} dx \right] = \frac{8 K}{\varepsilon l^2 h} \int_0^{\frac{1}{2}l} x^2 (l-x) dx = \frac{5}{24} \frac{K \cdot l^2}{\varepsilon h}$$

die relative Längenerhöhung gemindert unter  $\alpha$  und  $\beta$  gemäßigten Gitterstäben

$\eta^2 = \frac{q(l-2x)}{2\epsilon f'} \sec \alpha = \frac{K(l-2x)}{\epsilon l}$ ,  $-\frac{q(l-2x)}{2\epsilon f'} \sec \beta = -\frac{K(l-2x)}{\epsilon l}$ . Die durch die  
 beiden Gitterstäbe hervorgerufene Bückung  $\eta = \frac{1}{2} \sec \alpha \cdot \frac{K(l-2x)}{\epsilon l} \cdot h \sec \alpha$   
 $-\frac{1}{2} \sec \beta \left(-\frac{K(l-2x)}{\epsilon l}\right) h \sec \beta = \frac{K(l-2x)h}{2\epsilon l} (\sec^2 \alpha + \sec^2 \beta)$ . Die Bückung, welche  
 die auf die Länge  $dx$  kommenden Gitterstäbe hervorbringen,

$\eta \frac{dx}{h(\lg \alpha + \lg \beta)}$  weil so groß, mithin ist die gesuchte neue durch die  
 hervorgebrachte Bückung  $\eta_2 = \frac{K \cdot (\sec^2 \alpha + \sec^2 \beta) \cdot l \int_0^{l/2} (l-2x) dx =$   
 $\frac{K \cdot l (\sec^2 \alpha + \sec^2 \beta)}{24 \epsilon (\lg \alpha + \lg \beta)}$ . Die Gitterbückung  $\eta$  ist demnach:

$$22.) \eta = \frac{K \cdot l}{4 \epsilon} \left( \frac{5l}{6h} + \frac{\sec^2 \alpha + \sec^2 \beta}{\lg \alpha + \lg \beta} \right),$$

oder, wenn wir die Äußerungskulturformel  $h(\lg \alpha + \lg \beta)$  mit  $a$  bezeichnen

$$23.) \eta = \frac{5q \cdot l^4}{192 \cdot \epsilon h^2 f'} + \frac{q l^2 h}{8 \epsilon a} \left( \frac{\sec^2 \alpha}{f'} + \frac{\sec^2 \beta}{f'} \right).$$

Die wirklichen Volumina  $V_1, V_2$  der Gitter und des Gitterraums sind für

$$V_1 = \frac{q l^3}{4 K h}, \quad V_2 = \frac{q l^2 \cdot \sec^2 \alpha + \sec^2 \beta}{2 K \lg \alpha + \lg \beta}.$$

Einsetzen geht die Formel 22.) über in

$$24.) \eta = \frac{K^2}{2 \epsilon q l} \left( \frac{5}{3} V_1 + V_2 \right).$$

Da  $V_2 = 0,40 V_1$  bis  $0,75 V_1$  ist, so wird  $\eta$  durch das Gitterwerk um  
 24 bis 45 Prozent vergrößert.

c. Praktische Formel. Keine der oben behandelten Formeln für  
 die praktische Verwendung. Nämlich liegen die praktischen  
 Formeln mitten inne. Die oben behandelten Formeln  
 können daher zur Aufstellung einer Lösungsformel  
 verwendet werden. Bezeichnen wir den Luftquerschnitt der Öffn.  
 $a$  mit  $f_0$ , so wird die durch die Gitter hervorgerufene Bückung =  
 $\frac{q l^4}{32 \epsilon h^2 f'}$ , wenn  $f_0 = 0$  ist, und  $= \frac{5q l^4}{192 \epsilon h^2 f'}$ , wenn  $f_0 = f$  ist; allgemein  
 kann man für diese Bückung  $= \frac{1}{32} \left(1 - \frac{f_0}{f}\right) \cdot \frac{q l^4}{\epsilon h^2 f'}$  setzen.  $f_0$   
 bezieht sich die neue Gitterweite entsprechende Bückung  
 durch Substitution allgemein zu

$$\frac{qL^2h}{88a} \left[ \frac{\sec^2\alpha}{f'} + \frac{\sec^2\beta}{f''} \right],$$

wann  $f'$  und  $f''$  die mittleren Querschnitte der Stützenstäbe bezeichnen.  
Man set also allgemein:

$$25.) \eta = \frac{1}{32} \left(1 - \frac{f_0}{6f}\right) \frac{qL^2}{88h^2} + \frac{qL^2h}{88a} \left[ \frac{\sec^2\alpha}{f'} + \frac{\sec^2\beta}{f''} \right].$$

Dies ist die allgemeinste Form, in welcher sich eine Näherungs-  
gleichung aufstellen läßt; sie setzt nur eine gleichmäßige Be-  
lastung, und es keine bestimmte statische Lastverteilung voraus. Das  
Trägertor vorw. so ist leicht zu übersehen, wie die Formel zu ma-  
dificiren wäre, wenn beide Stützen und beide Lagen von Stüt-  
zestützen mit verschiedenen Materialien besäßen. Haben beide  
Stützen mit verschiedenen Querschnitt, so ist für  $f$  das harmonische  
Mittel mit beiden Querschnitten einzusetzen.

Man kann auch die Formeln 22.) und 23.) zur Aufstellung  
von Näherungsformeln verwenden. Man kann nämlich  
auch diesen Formeln allgemein, wenn  $G$  die Gesamtlast  $qL$   
bedeutet

$$26.) \eta = \frac{K^2}{8G} (k_1 V_1 + k_2 V_2)$$

setzen, wobei  $k_1, k_2$  Coefficienten bedeuten, die von der speciel-  
len Construction der Brücke unabhängig sind und nur abh. von  
mit der Größe der Krümmung der Querschnitte variiren.

Durch Bestimmung dieser Coefficienten wird constatirt, daß  
kennzeichnet, daß dieselben ziemlich constant sind und daß  
 $k_1 = 0,9$  bis  $1,2$ ,  $k_2 = 0,8$  bis  $0,9$  ist, daß man also annimmt

$$26a) \eta = \frac{K^2}{8G} (V_1 + 0,85 V_2)$$

setzen kann. Hiermit folgt: die Brücke, welche durch die  
Formänderung der Stützen und der Stützenstände entsteht, ist

bei derselben Gyrumweite, nämlich beim Kolonnen oder beim Gefälle dieser Zeile, proportional und es ist auch die ganze Länge der Linie, nämlich beim Gesamtkolonnen oder Gesamtgefälle des Trägers proportional. Es ist zwar das Gefälle der Zeile und das Höhenverhältnis auch auf die Gesamtlänge der Linie, jedoch ist das selbe bei nicht zu großen Gyrumweiten, gering.

Zur wirklichen Berechnung von  $\eta$  ist die Formel 25.), die dieselbe, bequommere Resultate giebt, vorzuziehen.

Schließlich läßt sich noch aus der allgemeinen Formel 25.) eine Näherungsformel ableiten, wenn man die Ausdrücke für  $f, f', f''$  einsetzt. Es ist nämlich theoretisch  $f = \frac{qL^2}{8Hh}$ , wenn  $f' = \frac{qL \sec \alpha}{4H}$ ,  $f'' = \frac{qL \sec \beta}{4H}$ . Berücksichtigt man nun aber, daß in der praktischen Ausführung mit unperfekten Gründen die Ausdrücke größer gemacht werden, so erfüllt man die Regel

$$27.) \eta = \frac{H \cdot L}{4E} \left( x_1 \frac{L}{h} + 2x_2 C \right),$$

wobei  $x_1$  und  $x_2$  aus construirten Trägern abzuleitende Coefficienten sind und worin zur Abkürzung

$$C = \frac{\sec^2 \alpha + \sec^2 \beta}{\lg \alpha + \lg \beta} = \frac{2 + \lg^2 \alpha + \lg^2 \beta}{\lg \alpha + \lg \beta}$$

gesetzt ist. Die Coefficienten  $x_1, x_2$  sind mit der Construction sehr wenig variabel; es liegt  $x_1$  zwischen 0,8 und 0,9,  $x_2$  zwischen 0,6 und 0,7, so daß man wenn ohne Folgen kann

$$27.a) \eta = \frac{H \cdot L}{4E} \left( 0,85 \frac{L}{h} + 11,3 C \right)$$

der Coefficient  $C$  liegt zwischen 2,0 und 3,2. Es läßt sich für das System der gleichförmigen, variablen (Netzwerk) zu 2, für das der nichtförmigen, variablen (Feldwerk) zu 3 annehmen.

Aus der Formel 27.) ist zu sehen, daß bei derselben Gyrum-

mit der Bückung immer so kleiner wird, je näher der Träger ist. In der Befestigung auf dem Gitterwerk wird die Bückung zum Minimum, wenn  $C$  zum Minimum wird; da nun auch das Minimum  $\frac{1}{2}$  des Gitterwerkes dem C proportional ist, so wird die Bückung bei derselben Anordnung zum Minimum, die auch bei dem Minimum des Gitterwerkes zum Minimum wird, d. i. wenn beide Lagen von Gitterstäben unter Winkel  $45^\circ$  angeordnet werden.

Nimmt man durchschnittlich  $H = 0,70$ ,  $E = 2000$  Tonnen pro qcm,  $C = 2,6$ , so wird

$$28. \quad \eta = (0,074 \frac{l}{h} + 0,30) l \text{ mm,}$$

wenn man  $l$  in Metern einsetzt. Da  $\frac{l}{h}$  meist zwischen 0 und 11 liegt, so würde  $\eta = 0,39$  l bis 1,1 l Millimeter.

§ 7. Verhältniss der Durchbiegung bei verschiedenen Trägerformen. Wir denken uns an sämmtlichen in gleichen sonst gleichem Zustand befindlichen Knotenpunkten  $n$ , und Gitter und Träger eine Last  $G$  wirkend; ferner setzen wir in einem beliebigen Querschnitt  $A-B$  mit der Querschnittsfläche  $F$  und der Länge  $l$  die Spannung  $S$ , also die Längenausdehnung  $\frac{S \cdot l}{E \cdot F}$ . Wird in jedem Knotenpunkte die Last  $l$  wirkend, so wird die Spannung des Querschnitts  $A-B = \frac{G}{F}$ . Folglich ist nach dem in § 4 angegebenen Prinzip die Summe der Bückungen aller Knotenpunkte  $= \frac{G}{F} \cdot \frac{S \cdot l}{E \cdot F} = \frac{G \cdot S \cdot l}{E \cdot F^2}$ . Ist  $l$  die Spannarbeit,  $a$  der Horizontalschub der Knotenpunkte, um das mittelmässige Mittel aller Bückungen oder die mittlere Bückung, so ist also  $g_m = \frac{G \cdot S \cdot l}{E \cdot F^2} \cdot \frac{a}{l}$  oder,

wird  $g \cdot \frac{L}{2}$  die Gesamtlast  $G$  darstellt,

$$y_m = \frac{K^2 \cdot L}{8 \cdot g \cdot f}$$

Ist die Spannung des Trägers groß genug, so ist  $L = K \cdot f$ , also  $y_m = \frac{K^2 \cdot f \cdot L}{8 \cdot g}$ ; ferner ist aber  $f \cdot L$  das Volumen  $v$  des Trägers, mithin haben wir

$$y_m = \frac{K^2 \cdot v}{8 \cdot g}$$

denken wir uns nun, daß jeder Teil des Trägers bei der totalen Belastung mit  $G$  dieselbe Spannung  $K$  groß genug sein habe, so wird in Folge der Längenänderung sämtlicher Teile des Trägers die mittlere Vertiefung

$$2g. \quad y_m = \frac{K^2 \cdot v}{8 \cdot g}$$

nach dem gesammten Volumen des Trägers bezieht. Ist  $g$  der Gewichtsd. des Holzeinschnitts,  $G'$  der Gesamtgewicht des Trägers, so ist  $G' = v \cdot g$ , also

$$2g. a. \quad y_m = \frac{K^2 \cdot G'}{8 \cdot g \cdot v}$$

Spannung wäre also bei einem Träger von constanten Querschnitt bei gleichbleibender Gesamtlast die mittlere Vertiefung dem Volumen oder Gewicht des Trägers proportional. Ändert sich in  $G'$ , so ändert sich auch  $G$ , obwohl in geringeren Maße; bei gleichem  $v$  ist die bei gegebenem Querschnitt für verschiedene Trägerformen gleichbleibende Spannung mit dem Gewicht der gleichmäßigen Belastung und der Querschnittswerte mit  $G_0$ , so ist  $G = G_0 + G'$ , mithin

$$2g. b. \quad y_m = \frac{K^2 \cdot G'}{8 \cdot g \cdot (G_0 + G')}$$

so ändert sich also  $y_m$  in geringeren Maße, ändert sich  $G'$ . Jedoch ist der Unterschied bei kleinen Querschnitten nur gering; so ist,

Es sei  $\eta$  z. B.  $\eta$  bei Eisenbahnschienen mit Durchmesser von 20, 50, 100, 150 Millim. immer bezügl. 9,0, 8,0, 6,4, 5,0 Procant, wenn sich  $\eta$  immer 10 Procant ändert.

Obwohl es für vorwiegend platze Träger eine ideale ist, so geht doch aus der Nachprüfung hervor, daß sich durch die Annahme einer des Holzwand oder Gerüstes in Folge einer vorwiegend, der Form des Trägers und die mittlere Bückung vermindert.

Für die Maximalbückung  $\eta$ , welche in der Mitte eintritt, läßt sich eine so einfache Regel allerdings nicht aufstellen. Zudem ist  $\eta$  von  $\eta$  und  $\eta$  in einem wenig veränderlichen Verhältnis; so ist für einen Träger mit einem constanten Querschnitt  $\eta = 1,56 \eta$ , bei einem Träger mit constantem Querschnitt  $\eta = 1,40 \eta$ ; jedoch wird sich  $\eta$  vermindern, wenn sich das Trägergewicht vermindert.

Die hier gefundenen Regeln lassen sich auf zwei angewandt, jedoch Berücksichtigung der Kürzung für wirkliche Träger beachten, wenn man Correctioncoefficienten einbringt, so findet man die mittlere Bückung  $\eta$ , wenn man  $\frac{K^2 \eta^3}{8g}$  mit 0,58 bis 0,64, die Bückung  $\eta$  in der Mitte, wenn man  $\frac{K^2 \eta^3}{8g}$  mit 0,82 bis 0,98 einsetzt, wobei die Form des Trägers, ob Parabol, Parabel, Geradenparabel, Trapez, Ständerförmiger Träger, Logarithmus mit oder ohne Gelenk gleichgültig ist.

## Kapitel.

### Theorie der statisch unbestimmten Stabsysteme.

§ 3. Allgemeine Behandlung der statisch unbestimmten Stabsysteme. Hier mittelbar zielt eine allgemeine Methode zur Befreiung statisch unbestimmter Systeme, indem wir uns hierbei von der zuerst von Mohr angegebenen Methode ausgehen.

1. Formänderung eines statisch bestimmten Systems. Bringt man als äußere Kräfte an zwei beliebigen Knotenpunkten  $A$  und  $B$  zwei in der Richtung  $AB$  ein- oder entgegengegesetzten Tensionen  $P$  an, gleichgroßen Kräfte  $P$  an, so erzeugen dieselben Kräfte, wenn die in sämtlichen Teilen Tensionen die Tension  $P$  ist, ein statisch bestimmtes System  $CD$  bei  $S$ . Hier drückt man sich die Kraft  $CD$  basierend und statt dessen an den Knotenpunkten  $C$  und  $D$  die in der Richtung von  $D$  ein- oder entgegengegesetzten Tensionen wirkenden Kräfte  $S$  an. Drückt man sich alle nach vorherigen Absätzen als absolut positiv, so sind die Kräfte  $P$  und  $S$  ein- oder aus- oder bei einer Formänderung des Systems, eine un- oder spezifische Arbeit verrichten und zwar ist nach dem Prinzip der Arbeit, wenn man mit  $dp$  und  $ds$  die bei unendlich kleiner Formänderung auftretenden Längenänderungen der Abschnitte  $AB$  und  $CD$  bezeichnet,  $P \cdot dp + S \cdot ds = 0$  oder  $P \cdot dp = -S \cdot ds$ . Für unendliche Formänderungen ist unsere Beziehung null, kann man richtig, setzt man die Werte von  $dp$  und  $ds$  jetzt klein, in unendliche Längenänderungen  $\Delta p$  und  $\Delta s$ , so besteht die

gewiss nicht vollkommen, aber doch hinreichend genau die  
 Beziehung  $\Delta p = - \rho \Delta s$ . Hierbei kann  $\rho$  beliebig gewählt werden;  
 Sind außerdem einer der beiden Theile der Halbe bestimmt, wie groß man  
 auch Pressen möge, so bleibt doch das Verhältniß  $\frac{\Delta p}{\Delta s}$  constant; dasselbe  
 sei  $u$ , also man wird

$$30. \quad \Delta p = - u \cdot \Delta s$$

Diese Beziehung lehrt die Längenänderung  $\Delta p$  eines beliebigen Theils  
 von A B des Systems kennen, wenn die Längenänderung  $\Delta s$  eines  
 beliebigen Theils C D bekannt ist. Bezieht sich nicht nur die Länge eines  
 Theils, sondern ändern sich die Längen sämtlicher Halbe, so ist  $\Delta p$  für  
 die Längenänderung jedes einzelnen Theils zu bestimmen und die so er-  
 gehaltenen Werthe von  $\Delta p$  sind zu addiren, wie können also für jeden

$$31. \quad \Delta p = - \sum u \cdot \Delta s$$

### 2. Anwendung auf die Längenänderung der überzähligen Halbe.

Wenn ein festes unbestimmtes Halbsystem  $n$  Halbe und  $m$  Knoten,  
 gegeben ist, so wird das System durch Abglattung von  $n - 2m + 3$  in  
 Allgemein beliebiges Halbe festig bestimmt. Dies man mit  
 Hilfe einer Halbe die überzähligen, die Halbe des verbleibenden festig  
 bestimmten Systems die wesentlichen Halbe. Dies drücken und  
 man nur festig bestimmten Systeme stellt das einen beliebigen  
 überzähligen Theil A B mit der Länge  $s'$  an den Knoten  
 zwischen A und B in der Richtung von A B zwei im entgegen-  
 gesetzten Sinne wirkende Kräfte = 1 (als Zugspannung)  
 ausgeübt. Hierfür mögen in den wesentlichen Halben mit den  
 Längen  $s_1, s_2, s_3, \dots$  die Dehnungen  $u_1, u_2, u_3, \dots$  und die Längen-  
 änderungen  $\Delta s_1, \Delta s_2, \Delta s_3, \dots$  ausfallen. Also man ist die Längenänderung

ring  $\Delta s'$  der Herab AB nach Formel 31:  $\Delta s' = -u_1 \Delta s'_1 - u_2 \Delta s'_2 + \dots$ , oder

$$32. \Delta s' = -\sum u_i \Delta s'_i.$$

3. Bestimmung der Temperaturen. Die bezugsnehmenden  $P_1, P_2, P_3, \dots$ , die Temperaturen der verschiedenen Hölzer, welche durch die verschiedenen in der Höhe der Kräfte, auf der statisch bestimmten Systeme wirkend gedacht, hervorbringen, sind, welche, auf ein statisches Holz zu bestimmen sind; ferner  $S_1, S_2, \dots$  die wirklichen Temperaturen dieser Hölzer, als Hilfe der statisch unbekannt, den Systemen  $P_1, u_1, u_2, u_3, \dots, u_1'', u_2'', u_3'' \dots$  die Temperaturen dieser Hölzer, welche aufstehen, wenn man sich der überzähligen Hölzer der Kräfte auf die Kräfte 1. verbringt,  $S_1', S_1'', S_1''', \dots$  die wirklichen Temperaturen der überzähligen Hölzer. Abh. kann ist offenbar

$$33. \begin{cases} S_1 = P_1 + u_1' S_1' + u_1'' S_1'' + u_1''' S_1''' + \dots \\ S_2 = P_2 + u_2' S_1' + u_2'' S_1'' + u_2''' S_1''' + \dots \end{cases}$$

Die bezugsnehmenden ferner die Querschnittsflächen der verschiedenen Hölzer mit  $f_1, f_2, f_3, \dots$ , die Querschnittsflächen der überzähligen Hölzer mit  $f_1', f_1'', f_1''', \dots$ , die entsprechenden Expansionskoeffizienten mit  $\epsilon_1, \epsilon_2, \epsilon_3, \dots, \epsilon_1', \epsilon_1'', \epsilon_1''', \dots$  und setzen zur Abkürzung  $\frac{u_1}{\epsilon_1 f_1} = k_1, \dots, \frac{u_1'}{\epsilon_1' f_1'} = k_1',$  also nach der Gleichung 33

$$k_1' S_1' = -u_1' k_1 S_1 - u_2' k_2 S_2 - u_3' k_3 S_3 - \dots$$

$$k_1'' S_1'' = -u_1'' k_1 S_1 - u_2'' k_2 S_2 - u_3'' k_3 S_3 - \dots$$

Multipliziert man für  $S_1, S_2, \dots$  die Ausdrücke 33., so ergibt sich

$$k_1' S_1' = u_1' k_1 (P_1 + u_1' S_1' + u_1'' S_1'' + \dots) - u_2' k_2 (P_2 + u_2' S_1' + u_2'' S_1'' + \dots)$$

$$k_1'' S_1'' = u_1'' k_1 (P_1 + u_1' S_1' + u_1'' S_1'' + \dots) - u_2'' k_2 (P_2 + u_2' S_1' + u_2'' S_1'' + \dots)$$

oder, wenn man nach den Größen  $S_1', S_1'' \dots$  ordnet:

$$34. \begin{cases} S_1' (k_1' + k_1 u_1' u_1' + k_2 u_2' u_2' + \dots) + S_1'' (k_1' u_1' u_1'' + k_2 u_2' u_2'' + \dots) + k_1' u_1' P_1 + k_2 u_2' P_2 + \dots = 0 \\ S_1'' (k_1 u_1' u_1'' + k_2 u_2' u_2'' + \dots) + S_1' (k_1 u_1'' u_1' + k_2 u_2'' u_2' + \dots) + k_1 u_1'' P_1 + k_2 u_2'' P_2 + \dots = 0 \end{cases}$$

Sind sind  $n - 2m + 3$  Gleichungen, mit den  $n - 2m + 3$  Druckkonstanten  $P_1, P_2, P_3, \dots$  nach Bestimmung derselben sind die Spannungen  $S_1, S_2, S_3, \dots$  durch die Gleichungen 33. gegeben.

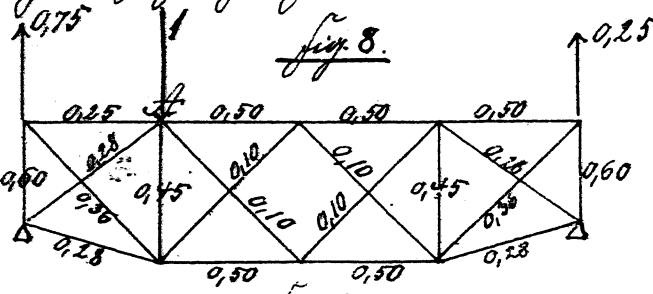
Statt der Elasticitätscoefficienten und Querschnittsflächen, oder statt der Querschnitte kann man auch andere, diesen proportionale Querschnitte einführen, da nur das gegenseitige Verhältnis dieser Querschnitte in Frage kommt, ferner, dass es immer möglich werden, geeigneter, z. B. kleiner oder größer Querschnitte einzuführen.

Der Fall eines unvollständigen, unvollständigen Stabes wird hier nicht in die, für die hier ebenfalls besprochen. Hier ist nur ein überzähliger Stab vorzuzusetzen; ist die Spannung derselben  $P$ , so gehen die Gleichungen 34. über in die Gleichung

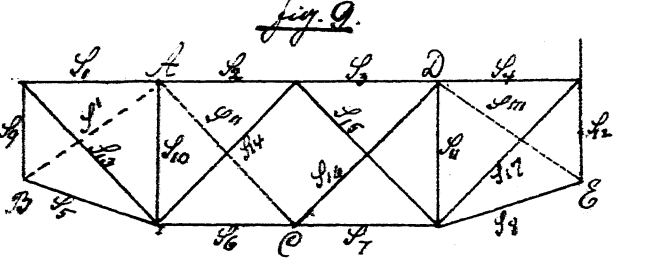
$$35. P(k_1 + k_2 u_1^2 + k_3 u_2^2 + k_4 u_3^2 + \dots) + k_1 u_1 P_1 + k_2 u_2 P_2 + \dots = 0,$$

und nach Formel 33. wird man  $S_1 = P_1 + u_1 P$ ,  $S_2 = P_2 + u_2 P + \dots$ . Auch hier wird man als überzähligen Stab den einen Endanker einführen. Dies wollen wir hier nicht weiter auf den Fall eingehen, wohl aber die Anwendung von einem allgemeinen Satz hier zeigen.

Beispiel. Der Träger habe die in Fig. 8 gezeigte Form. Der Max. Moment sei für alle Stiele dasselbe; die Querschnittsflächen (in qdm) sind in Fig.



8 angegeben. Die Punkte A mit  $k_1$  seien Last 1. Da der Träger 10 Stützpunkte und 20 Stiele hat, so sind  $2 \cdot 10 - 20 + 3 = 3$  überzählige Stiele vorzusetzen; als solche seien die in Fig. 9 eingezeichnet. Die angegebenen Höhen sind gemessen.



Die Bestimmung der Krümmungen ist in fig. 9 in der einfachsten Weise für  $k_1, k_2 \dots$  (s. in) für das gleiche Krümmungskoeffizienten  $k$  der  $n$  größten Querschnittsflächen, sind in folgender Tabelle eingetragen. Die Krümmungen  $P_1, P_2 \dots$ , welche sich bei Bestimmung der überzähligen Krümmungen durch die Bestimmung oder Konstruktion bestimmen lassen, sind ebenfalls in folgender Tabelle aufgeführt. Nimmt man in der Funktion  $A$  und  $B$  zwei, in der Krümmung von  $A$   $B$  in entgegen gesetzten Krümmungswerten Kräfte  $1$  an, so ergiebt sich als Krümmungen  $u_1, u_2, u_3, \dots$  der verschiedenen Kräfte durch Bestimmung oder Konstruktion bezüg- lich  $-0,894; 0; 0; 0; -1; 0; 0; 0; -0,894; 0,447; 0; 0; +1,265; 0; 0; 0; 0$ . Handelt es sich bei demselben von Kräfte  $= 1$  in der Krümmung von  $A$  und  $B$  die Kräfte  $u_1, u_2, \dots, u_1, u_2, \dots$  diese Kräfte sind ebenfalls in der folgen- den Tabelle aufgeführt:

Nr. der Kräfte	Stärke	$k$	$P$	$u'$	$u''$	$u'''$
1	0,25	4,00	-0,750	-0,894	0	0
2	0,50	2,00	-0,750	0	-0,707	0
3	0,50	2,00	-0,250	0	0	0
4	0,25	4,00	-0,250	0	0	-0,894
5	0,28	3,57	0	-1,000	0	0
6	0,50	2,00	+0,500	0	-0,707	0
7	0,50	2,00	+0,500	0	+0,707	0
8	0,28	3,57	0	0	0	-1,000
9	0,60	1,67	-0,750	-0,894	0	0
10	0,45	2,22	-1,000	-0,447	-0,707	0
11	0,45	2,22	0	0	+0,707	-0,447
12	0,60	1,67	-0,250	0	0	-0,894
13	0,36	2,70	+1,061	+1,265	0	0
14	0,10	10,00	+0,354	0	+1,000	0
15	0,10	10,00	-0,354	0	-1,000	0
16	0,10	10,00	0	0	-1,000	0
17	0,36	2,70	+0,354	0	0	+1,265

Die Kräfte sind nach  $k' = 3,57, k'' = 10,00, k''' = 3,57$ . die Kräfte der Gleichungen 34 sind folgende:  

$$P^1(3,57 + 4 \cdot 0,894^2 + 3,57 \cdot 1^2 + 1,67 \cdot 0,894^2 + 2,22 \cdot 0,447^2 + 2,7 \cdot 1,265^2) + P^2(2,22 \cdot 0,447 \cdot 0,707) + P^3(0) + 4 \cdot 0,894 \cdot 0,750 + 1,67 \cdot 0,894 \cdot 0,750 + 2,22 \cdot 0,447 \cdot 1,000 + 2,7 \cdot 1,265 \cdot 1,061 = 0$$
 Bildet man die gleiche Gleichung so erhält man:

$$16,435 \cdot P + 0,702 P' + 8,418 = 0.$$

$$0,702 P' + 45,220 P'' - 0,702 P''' + 1,762 = 0.$$

$$-0,702 P'' + 16,435 P''' + 2,476 = 0.$$

Die Auflösung dieser Gleichungen ergibt

$$P = -0,511, \quad P' = -0,034, \quad P''' = -0,152.$$

Nach den Gleichungen 33. sind nun z. B.

$$L_1 = -0,750 + 0,394 \cdot 0,511, \quad L_{10} = -1,000 + 0,447 \cdot 0,511 + 0,707 \cdot 0,034 \text{ u. s. w.}$$

Die in dieser Weise berechneten Symmetrien sind in folgender Tabelle zusammengefaßt:

Leicht- müßig	genau	ungefähr	Leicht- müßig	genau	un- genügend	Leicht- müßig	genau	un- genügend
$P'$	-0,511	-0,419	$L_5$	+0,511	+0,419	$L_{12}$	-0,114	-0,125
$P''$	-0,034	-0,177	$L_6$	+0,524	+0,625	$L_{13}$	+0,415	+0,530
$P'''$	-0,152	-0,140	$L_7$	+0,476	+0,375	$L_{14}$	+0,320	+0,177
$L_1$	-0,293	-0,375	$L_8$	+0,152	+0,140	$L_{15}$	-0,320	-0,177
$L_2$	-0,726	-0,625	$L_9$	-0,293	-0,375	$L_{16}$	+0,034	+0,177
$L_3$	-0,250	-0,375	$L_{10}$	-0,748	-0,688	$L_{17}$	+0,152	+0,177
$L_4$	-0,114	-0,125	$L_{11}$	+0,044	-0,063			

In dieser Tabelle sind unter der Rubrik „ungefähr“ und die jüngeren Zahlen mitgenommen, welche sich als Symmetrien durch die Zerlegung in zwei statisch bestimmte Systeme ergeben, wobei jedes Gliedpunkt und jede Verticale in beiden Systemen, jede Diagonale nur in einem System vorkommt.

§ 9. Das Viereck mit beiden Diagonalen. In dem statisch unbestimmten Bau-Constructivum haben häufig Vierecke mit beiden Diagonalen

konstr. Es ist nicht möglich, eine Lösung zwischen den Typen, nenniger der jetzt Geilte dieser Konstruktion anzugeben. Hier bezeichnen die Symmetrien der oberen und unteren Platte mit  $S_1, S_2$ , der linken und rechten Platte mit  $T_1, T_2$ , der beiden Platten symmetrisch mit  $P_1, P_2$ . Die Spiegelsymmetrie bezüglich mit  $\varphi_1, \varphi_2, \psi_1, \psi_2, \lambda_1, \lambda_2$ ; die Drehungen bezüglich mit  $L_1, L_2, M_1, M_2, \epsilon_1, \epsilon_2$ , die Gleitkoeffizienten seien gleich. Sankt wir uns statt der Platte  $PD$  in  $P$  und  $D$  die Kraft  $1$  in Richtung von  $PD$  und  $2$  in Richtung von  $DD$  angebracht, so entsprechen in beiden, bogen Geilten Symmetrien, welche sich leicht bestimmen lassen, von leichtesten mit Geilte der graphischen Polygonalverfahren (Fig. 10 a.) diese Symmetrien seien bezüglich  $s_1, s_2, t_1, t_2, p_1, p_2$ . Da die Leveragebedingungen der Platte  $PD$  bezüglich  $\frac{L_1 s_1}{\epsilon \varphi_1}, \frac{L_2 s_2}{\epsilon \varphi_2}, \frac{T_1 M_1}{\epsilon \psi_1}, \frac{T_2 M_2}{\epsilon \psi_2}, \frac{P_1 l_1}{\epsilon \lambda_1}, \frac{P_2 l_2}{\epsilon \lambda_2}$  sind, so ist auch die Prinzipien der Arbeit:

Fig. 10.

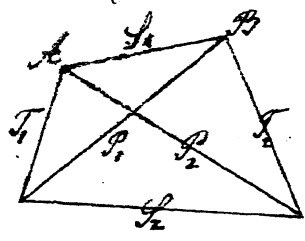
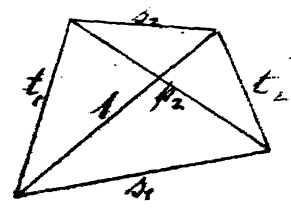


Fig. 10 a.



$$1. \left( -\frac{P_1 l_1}{\epsilon \lambda_1} \right) = \epsilon_1 \frac{L_1 s_1}{\epsilon \varphi_1} + \epsilon_2 \frac{L_2 s_2}{\epsilon \varphi_2} + t_1 \frac{T_1 M_1}{\epsilon \psi_1} + t_2 \frac{T_2 M_2}{\epsilon \psi_2} + p_1 \frac{P_1 l_1}{\epsilon \lambda_1} \quad \text{oder}$$

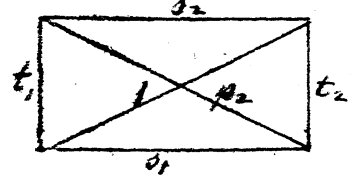
$$26. \frac{s_1 L_1 l_1}{\varphi_1} + \frac{s_2 L_2 l_2}{\varphi_2} + \frac{t_1 T_1 M_1}{\psi_1} + \frac{t_2 T_2 M_2}{\psi_2} + \frac{p_1 l_1}{\lambda_1} + \frac{p_2 l_2}{\lambda_2} = 0.$$

Das ist die gesuchte Beziehung.

Fig. 11



Fig. 11 a.



Hier wollen speziell noch ein Resultat vorsetzen. Die Diagonalen mögen mit den Platten nach den Symmetrien  $T_1, T_2$  der Platten  $l_1, l_2$  bilden. Außerdem ergibt sich  $s_1, s_2 = -\sin \alpha$ ,  $t_1 = t_2 = -\cos \alpha$ ,  $p_1 = 1$ , da ferner  $l_1 = l_2 = l$ ,  $M_1 = M_2 = l \cdot \cos \alpha$  ist, so ergibt sich

$$37. \left( \frac{f_1}{\varphi_1} + \frac{f_2}{\varphi_2} \right) \sin \alpha - \left( \frac{f_1}{\varphi_1} + \frac{f_2}{\varphi_2} \right) \cos \alpha = \frac{P_1}{f_1} + \frac{P_2}{f_2}.$$

Sind die Gleitkoeffizienten gegeben, so sind die Gleitkoeffizienten noch mit den betreffenden Gleitkoeffizienten zu multiplizieren.

Hinsichtlich der speziellen Anwendung auf die allgemeine Lösung, das unvollständige Gleichgewicht und das kombinierte Gleichgewicht eine künftige Aufzeichnung und nicht sofort vorarbeiten wir auf die Geometrie der Lasten. II: Last: Zug. neue Punkte werden gezogen.